



การควบคุมอุปกรณ์ไฟฟ้าโดยใช้เสียง
ELECTRICAL EQUIPMENT CONTROLLING
BY SPEECH RECOGNITION

โดย
นายวรา คงคาวิฑูร
นายวิรัช สีนะวงศ์อนันต์

วัน เดือน ปี..... 22.ค.ค. 2541
เลขทะเบียน..... 039102
เลขเรียกหนังสือ..... 1.003.9.0.296ก

ปริญญานิพนธ์นี้เป็นส่วนหนึ่งของการศึกษาตามหลักสูตรปริญญาวิศวกรรมศาสตรบัณฑิต
สาขาวิศวกรรมโทรคมนาคม
สถาบันเทคโนโลยีพระจอมเกล้าเจ้าคุณทหารลาดกระบัง
ปีการศึกษา 2540

การควบคุมอุปกรณ์ไฟฟ้าโดยใช้เสียง
ELECTRICAL EQUIPMENT CONTROLLING
BY SPEECH RECOGNITION



โดย

นายวรา คงคาวิฑูร 37014379

นายวิรัช ลิณะวงศ์อนันต์ 37014404

อาจารย์ที่ปรึกษา

ผศ.ดร.ไกรสิน ส่วงวัฒนา

ปริญญานิพนธ์นี้เป็นส่วนหนึ่งของการศึกษาตามหลักสูตรปริญญาวิศวกรรมศาสตรบัณฑิต

สาขาวิศวกรรมโทรคมนาคม

สถาบันเทคโนโลยีพระจอมเกล้าเจ้าคุณทหารลาดกระบัง

ปีการศึกษา 2540

เอกสารนี้เป็นเอกสารที่สงวนไว้สำหรับการใช้งานเพื่อการศึกษาเท่านั้น ไม่อนุญาตให้นำไปใช้ประโยชน์ด้านการค้า
ไม่ว่ากรณีใดๆ ทั้งสิ้น อีกทั้งห้ามมิให้ดัดแปลงเนื้อหาและต้องอ้างอิงถึงเจ้าของเอกสารทุกครั้งที่มีการนำไปใช้

ปริญญาโทปีการศึกษา 2540

ภาควิชาวิศวกรรมโทรคมนาคม

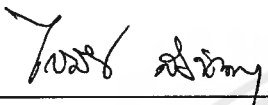
คณะวิศวกรรมศาสตร์ สถาบันเทคโนโลยีพระจอมเกล้าเจ้าคุณทหารลาดกระบัง

เรื่อง การควบคุมอุปกรณ์ไฟฟ้าโดยใช้เสียง

ELECTRICAL EQUIPMENT CONTROLLING BY SPEECH RECOGNITION

ผู้จัดทำ

1. นายวรา กงกาวิฑูร 37014379
2. นายวิรัช ถิ่นวงศ์อนันต์ 37014404



(ผศ.ดร.ไกรสิน ไกรสินสุวรรณ)

อาจารย์ที่ปรึกษา



การควบคุมอุปกรณ์ไฟฟ้าโดยใช้เสียง

Electrical Equipment Controlling

By Speech Recognition

โดย นายวรา ทงกาวิฑูร 37014379

นายวิรัช ลีนะวงศ์อนันต์ 37014404

อาจารย์ที่ปรึกษา ผศ.ดร.ไกรสิน ส่งวัฒนา

บทคัดย่อ

ปริญญานิพนธ์เรื่องนี้ มีจุดประสงค์ ที่จะทำการศึกษา และทำการเขียนโปรแกรมเพื่อสร้างโปรแกรมประยุกต์ที่สามารถทำให้สามารถใช้เสียงมนุษย์ควบคุมอุปกรณ์ไฟฟ้าได้ โปรแกรมนี้จะมีหน้าที่การทำงานคร่าวๆ คือ สามารถทำการสร้างเสียงโมเดลเสียง (ใช้ Hidden Markov Model:HMM) จากไฟล์เสียงต้นแบบ, สามารถบันทึกเสียงแล้วนำเสียงที่ได้ไปตัดแบ่งเป็นคำ ๆ ได้ ,สามารถนำเสียงที่ตัดแบ่งเป็นคำ ๆ แล้วนั้นไปเปรียบเทียบกับโมเดลเสียงที่มีอยู่เพื่อตรวจสอบได้ว่าตรงกับโมเดลใด และสุดท้ายนำผลที่ได้ส่งออกไปเป็นอินพุทของวงจรขั้วรีเลย์เพื่อควบคุมอุปกรณ์ไฟฟ้าได้

ABSTRACT

This project's objective is to learn and create the application program which can receive commands from human in the form of human voice. Then it can translate that command and respond to the real world through data buses and relay circuits. This project can satisfy these following functions. First, it can construct the model from sample sounds (use Hidden Markov Model:HMM). Second, it can capture voice from a sound card in the computer and then segment that voice to words. Next, it can recognize each word by comparing sounds from the previous step with the model, and finally use that recognized model to decide what data must be sent to the relay circuit that is controlling electrical equipments.

สารบัญ

| | หน้า |
|---|------|
| บทที่ 1 บทนำ | 1 |
| บทที่ 2 ทฤษฎี | 3 |
| 2.1 การประมวลผลเชิงทูลโคโยขึ้นกับเวลา | 3 |
| 2.2 การหาพลังงานของสัญญาณเฉลี่ย | 4 |
| 2.3 การหาอัตราการตัดศูนย์เฉลี่ย | 7 |
| 2.4 การแยกเชิงทูลออกจากเชิงเจ็บบโคโยใช้ค่าพลังงานและค่าอัตราการตัดศูนย์เฉลี่ย | 9 |
| 2.5 การคำนวณหาค่าออโตคอรี่เลชัน | 12 |
| 2.6 การคาดคะเนคาบของพิทช์โคโยใช้ฟังก์ชันออโตคอรี่เลชัน | 14 |
| 2.7 การอินเตอร์เฟสพื้นฐาน | 18 |
| 2.8 8255 พอร์ตอินพุท/เอาต์พุทของระบบ | 19 |
| 2.9 การโปรแกรม 8255 | 21 |
| 2.10 โหมดการทำงานของ 8255 | 22 |
| บทที่ 3 การคำนวณ และการทำงานของโปรแกรมตัดเสียงทูล | 29 |
| 3.1 โปรแกรมตั้งงานด้วยเสียง | 29 |
| 3.2 โปรแกรมหาค่าพลังงานเพื่อใช้ในการกำหนดขอบเขตคำ | 30 |
| 3.3 โปรแกรมคำนวณหาค่าพิทช์ | 33 |
| 3.4 โปรแกรมหาอัตราเฉลี่ยการตัดศูนย์ | 33 |
| 3.5 โปรแกรมมีเรียนรู้เสียง หรือสร้างโมเดลเสียง | 36 |
| 3.6 โปรแกรมวิเคราะห์เสียง | 36 |
| 3.7 การสร้างพอร์ตเพื่ออินเตอร์เฟสโคโยใช้การ์ด | 38 |
| 3.8 วงจรขั้วบรีเลย์ | 40 |

| | หน้า |
|--|------|
| บทที่ 4 การทดลองและผลการทดลอง | 41 |
| 4.1 การทดลองและผลการทดลอง | 41 |
| บทที่ 5 สรุปผลการทดลองและข้อเสนอแนะ | |
| 5.1 สรุปผลการทดลองและข้อเสนอแนะ | |

ภาคผนวก

กิตติกรรมประกาศ

บรรณานุกรม



เอกสารนี้เป็นเอกสารที่สงวนไว้สำหรับการใช้งานเพื่อการศึกษาเท่านั้น ไม่อนุญาตให้นำไปใช้ประโยชน์ด้านการค้า
ไม่ว่ากรณีใดๆ ทั้งสิ้น อีกทั้งห้ามมิให้ดัดแปลงเนื้อหาและต้องอ้างอิงถึงเจ้าของเอกสารทุกครั้งที่มีการนำไปใช้

สารบัญรูป

| | หน้า |
|--|------|
| บทที่ 1 บทนำ | |
| บทที่ 2 ทฤษฎี | |
| รูปที่ 2.1 แสดงรูปสัญญาณเสียงที่มีอัตราการสุ่มเป็น 8 kHz | 4 |
| รูปที่ 2.2 แสดงบล็อคลโคเดแกรม (a) ของพลังงานเฉลี่ยในช่วงเวลาสั้น ๆ (b) ขนาดในช่วงเวลาสั้น ๆ | 6 |
| รูปที่ 2.3 แสดงการแปลงฟูเรียร์ของ (a) วิน โคว์สี่เหลี่ยม (b) วิน โคว์แบบแฮมมิง | 6 |
| รูปที่ 2.4 แสดงค่าขนาดกำลังสองเฉลี่ยในช่วงเวลาสั้น ๆ สำหรับวิน โคว์แบบ สี่เหลี่ยมเมื่อเปลี่ยนค่า N | 7 |
| รูปที่ 2.5 แสดงบล็อคลโคเดแกรมในการหาค่าอัตราการตัดศูนย์เฉลี่ยในช่วงเวลาสั้น | 8 |
| รูปที่ 2.6 แสดงการแบ่งแยกของค่าอัตราการตัดศูนย์เฉลี่ยของเสียงก้องและ ไม่ก้อง | 9 |
| รูปที่ 2.7 แสดงรูปคลื่นของจุดเริ่มต้นเสียงคำว่า /eight/ | 10 |
| รูปที่ 2.8 แสดงรูปคลื่นของจุดเริ่มต้นของเสียงคำว่า /six/ | 10 |
| รูปที่ 2.9 แสดงรูปคลื่นของจุดเริ่มต้นเสียงคำว่า /four/ | 11 |
| รูปที่ 2.10 แสดงค่าของฟังก์ชันออโตคอริเลชันสำหรับ (a) และ (b) เป็นเสียงก้อง (c) เป็นเสียงไม่ก้อง ทั้ง 3 แบบจะใช้วิน โคว์แบบสี่เหลี่ยมมีค่า $N = 401$ | 13 |
| รูปที่ 2.11 แสดงค่าของฟังก์ชันออโตคอริเลชันสำหรับ (a) และ (b) เป็นเสียงก้อง (c) เป็นเสียงไม่ก้อง ทั้ง 3 แบบจะใช้วิน โคว์แบบแฮมมิงมีค่า $N = 401$ | 14 |
| รูปที่ 2.12 แสดงฟังก์ชันออโตคอริเลชันสำหรับเสียงก้องโดยที่ (a) $N = 401$ (b) $N = 251$ และ (c) $N = 125$ ใช้วิน โคว์แบบสี่เหลี่ยมหมด | 15 |
| รูปที่ 2.13 แสดงฟังก์ชันที่ใช้ในการคลิบตรงกลาง | 15 |
| รูปที่ 2.14 รูปคลื่นที่ใช้ในการคลิบทั้งอินพุท และเอาต์พุท | 16 |
| รูปที่ 2.15 แสดงรูปภาพของฟังก์ชันที่ใช้ในการคลิบแบบ 3 ระดับ | 17 |
| รูปที่ 2.16 แสดงเอาต์พุทจากการหาพิทช์โคซใช้ฟังก์ชันออโตคอริเลชัน (a) ไม่มีการคลิบ (b) การคลิบแบบตรงกลาง (c) การคลิบแบบ 3 ระดับ (d) จากเอาต์พุทภาพ c ไปทำให้เรียบ | 18 |
| รูปที่ 2.17 แสดงแผนผังและการจัดขาของ 8255A-5 | 20 |
| รูปที่ 2.18 แสดงรูปแบบการกำหนดค่าของคอนโทรลไบต์ | 22 |
| รูปที่ 2.19 แสดงโหมดการทำงานทั้ง 3 ฮอ์ด และการเชื่อมต่อระบบบัส | 23 |
| รูปที่ 2.20 แสดงบิตไซ้เกิดในโหมด 0 ของ 8255 | 24 |

| | หน้า |
|--|------|
| รูปที่ 2.21 แสดงการใช้งานในโหมด 1 ของชิป 8255 | 25 |
| รูปที่ 2.22 แสดงบัลไซเกิดของการแฮนด์เชกกึ่งขณะเป็นอินพุทพอร์ต | 25 |
| รูปที่ 2.23 แสดงบัลไซเกิดของการแฮนด์เชกกึ่งขณะเป็นเอาต์พุทพอร์ต | 26 |
| รูปที่ 2.24 แสดงการจัดให้พอร์ต A และพอร์ต B เป็นอินพุท/เอาต์พุทพอร์ตในโหมด 1 | 27 |
| รูปที่ 2.25 แสดงบัลไซเกิดของการแฮนด์เชกกึ่งในโหมด 2 | 28 |
| | |
| บทที่ 3 การคำนวณ และการทำงานของ โปรแกรมคัลเล็ชเชน | |
| รูปที่ 3.1 แสดงแผนผังการทำงานของ โปรแกรมตั้งงานด้วยเสียง | 31 |
| รูปที่ 3.2 แผนผังแสดงขั้นตอนการทำงานของ โปรแกรมหาค่าพลังงานเฉลี่ย | 32 |
| รูปที่ 3.3 แผนผังแสดงขั้นตอนการทำงานของ โปรแกรมคำนวณหาพิทช์ | 34 |
| รูปที่ 3.4 แผนผังแสดงขั้นตอนการทำงานของ โปรแกรมอัตราเฉลี่ยการตัดศูนย์ | 35 |
| รูปที่ 3.5 แผนผังแสดงขั้นตอนของ โปรแกรมเรียนรู้เสียง หรือสร้าง โมเดลเสียง | 37 |
| รูปที่ 3.6 แผนผังแสดงขั้นตอนการทำงานของ โปรแกรมวิเคราะห์เสียง | 38 |
| รูปที่ 3.7 แสดงวงจรการ์ดที่ใช้เพื่ออินเตอร์เฟส | 39 |
| รูปที่ 3.8 แสดงวงจรภาคขับรีเลย์ขับรีเลย์จำนวน 14 ช่อง | 40 |
| | |
| บทที่ 4 การทดลองและผลการทดลอง | |
| รูปที่ 4.1 แสดงรูปคลื่นเสียงพูด 0-9 | 41 |
| รูปที่ 4.2 แสดงรูปพลังงานเฉลี่ยของเสียงพูด 0-9 | 42 |
| รูปที่ 4.3 แสดงค่าความถี่พิทช์ของเสียงพูด 0-9 | 42 |
| รูปที่ 4.4 แสดงค่าอัตราเฉลี่ยการตัดศูนย์ของเสียงพูด 0-9 | 43 |
| รูปที่ 4.5 แสดงรูปคลื่นเสียงพูดของคำทั่วไป | 46 |
| รูปที่ 4.6 แสดงรูปพลังงานเฉลี่ยของเสียงพูดของคำทั่วไป | 47 |
| รูปที่ 4.7 แสดงค่าความถี่พิทช์ของเสียงพูดของคำทั่วไป | 47 |
| รูปที่ 4.8 แสดงค่าอัตราเฉลี่ยการตัดศูนย์ของเสียงพูดของคำทั่วไป | 48 |
| | |
| บทที่ 5 สรุปผลการทดลองและข้อเสนอแนะ | |

สารบัญตาราง

| | หน้า |
|--|------|
| บทที่ 2 ทฤษฎี | |
| ตารางที่ 2.1 แสดงการจัดตำแหน่งพอร์คของระบบ | 19 |
| ตารางที่ 2.2 หน้าที่และขาสัญญาณต่าง ๆ ของ 8255 | 21 |
| ตารางที่ 2.3 แสดงหน้าที่สัญญาณของพอร์ค C ในโหมด 1 | 37 |
| บทที่ 3 การคำนวณ และการทำงานของโปรแกรมตัดเสียงพูด | |
| ตารางที่ 3.1 แสดงหมายเลขพอร์คที่ใช้ 74LS138 ในการถอดรหัส | 47 |
| บทที่ 4 การทดลอง และผลการทดลอง | |
| ตารางที่ 4.1 แสดงประสิทธิภาพของเสียงคั่นแบบในการวิเคราะห์เสียง | 43 |
| ตารางที่ 4.2 แสดงประสิทธิภาพในการตัดตัวเลข 0-9 | 44 |
| ตารางที่ 4.3 แสดงประสิทธิภาพของเสียงพูดทั่วไปในการวิเคราะห์เสียง | 48 |
| ตารางที่ 4.4 แสดงประสิทธิภาพในการตัดเสียงพูดทั่วไป | 49 |

บทที่ 1

บทนำ

เนื่องจากความก้าวหน้าทางเทคโนโลยีในปัจจุบันรวมทั้ง ความต้องการความสะดวกสบายของมนุษย์ จึงเป็นผลให้เกิดการพัฒนาการทางด้านคอมพิวเตอร์อย่างรวดเร็ว ทั้งในด้านฮาร์ดแวร์ และซอฟต์แวร์ ทางด้านฮาร์ดแวร์มีการพัฒนาให้หน่วยประมวลผลมีประสิทธิภาพมากขึ้น ราคาถูกลงและหน่วยความจำก็มีขนาดใหญ่ขึ้น ความเร็วในการถ่ายโอนสูง จึงเป็นผลให้คอมพิวเตอร์เข้ามามีส่วนรวมในชีวิตมนุษย์มากขึ้นอย่างหลีกเลี่ยงไม่ได้

ในสมัยเริ่มแรกมนุษย์สามารถติดต่อสื่อสาร หรือสั่งการคอมพิวเตอร์ให้ทำงานโดย ใช้รหัสอักษรหรือเรียกว่าเทกซ์โหมด (Text mode) แล้วต่อมาก็ได้พัฒนาขึ้นมาให้สามารถใช้งานง่ายขึ้น โดยผ่านทางรูปภาพหรือกราฟฟิคเรียกว่า กราฟฟิคโหมด (Graphic mode) แต่วิวัฒนาการก็ยังมิได้หยุดยั้งเพียงเท่านั้นจากที่กล่าวมาในข้างต้นนี้ว่า มีการพัฒนาทั้งฮาร์ดแวร์ และซอฟต์แวร์ของคอมพิวเตอร์ขึ้นอย่างมาก ทำให้การคำนวณที่ซับซ้อนซึ่งไม่อาจทำได้รวดเร็วในอดีตนั้นสามารถทำให้สำเร็จผลอย่างมีประสิทธิภาพ ด้วยการคำนวณที่รวดเร็วของเครื่องคอมพิวเตอร์ในปัจจุบัน

การติดต่อระหว่างคอมพิวเตอร์ และมนุษย์ซึ่งเราเคยแต่เพียงเห็นในนิยายวิทยาศาสตร์จึงสามารถจะทำให้สำเร็จได้ เป็นการใช้เสียงมนุษย์สั่งการให้คอมพิวเตอร์ทำงาน ซึ่งการที่คอมพิวเตอร์จะสามารถทำงานตามที่เราสั่งได้อย่างถูกต้องนั้น คอมพิวเตอร์จะต้องเข้าใจว่าเราพูดอะไร การที่เราจะทำให้คอมพิวเตอร์รู้จักคำพูดของเราได้นั้นสามารถทำได้โดยการใช้โปรแกรมที่ชื่อว่า โปรแกรมรู้จำเสียงพูดของมนุษย์ (Natural Speech Recognition) ซึ่งโปรแกรมนี้อาจจะเป็นตัวที่ทำหน้าที่รับเสียงพูดของมนุษย์เข้ามา แล้วทำการแยกแยะคำพูดออกเป็นคำ ๆ แล้วจึงทำการวิเคราะห์คำแต่ละคำนั้นว่าเป็นคำว่าจะอะไร และจะต้องทำอะไรเมื่อได้รับคำสั่งนั้น

ปริญญานิพนธ์เรื่องนี้เป็นส่วนของการแยกแยะคำพูดออกเป็นคำ ๆ ก่อนที่จะทำการระบบการวิเคราะห์หรือ รู้จักคำนั้น

เหตุที่ทำปริญญานิพนธ์เรื่องนี้เนื่องจากว่าพบว่าส่วนใหญ่แล้ว ผู้ที่ทำปริญญานิพนธ์ในรุ่นก่อนๆ นั้น มุ่งเน้นเฉพาะการออกแบบส่วนที่ทำหน้าที่ในการรู้จำคำพูดแต่เพียงอย่างเดียว ทำให้ตัวโปรแกรมที่ได้นั้นไม่สามารถนำมาใช้ได้จริงในทางปฏิบัติ

เนื่องจากว่าส่วนของการรู้จำเสียงนั้น จะต้องการอินพุตที่เป็นคำ โคลด ๆ และมีขอบเขตของคำที่แน่นอนซึ่งในทางปฏิบัตินั้นแต่ก่อนจะใช้การบันทึกเสียงโดยใช้คอมพิวเตอร์ก่อน แล้วจึงใช้การสังเคราะห์รูปคลื่น (Wave form) แล้วใช้วิธีการของเรามาในการตัดสินใจว่าจุดใดเป็นจุดเริ่มต้นของคำ และจุดใดเป็นจุดสิ้นสุดของคำ แล้วจึงตัดคำนั้นด้วยโปรแกรมแก้ไขรูปคลื่น (Waveform editor) ซึ่งเป็นโปรแกรมสำเร็จรูป ซึ่งการทำเช่นนี้เท่ากับว่าไม่มีประโยชน์ในการใช้งานจริง และยังไม่ได้ประสิทธิภาพที่เท่าเทียมกันในแต่ละครั้งด้วย

ดังนั้นปริญญานิพนธ์กลุ่มของข้าพเจ้านี้จะทำในส่วนที่รับเสียงพูดจากมนุษย์ และส่งต่อไปกับ ส่วนรู้จำเสียงพูดในลักษณะที่เป็นคำ โคลด สามารถประมวลผลได้ทันที โดยจะแบ่งออกเป็น 2 ส่วน

ส่วนแรกเป็นส่วนที่จะทำการเขียนโปรแกรมเพื่อควบคุมการ์ดเสียง (Sound Card) ของเครื่องคอมพิวเตอร์ให้สามารถทำงานในลักษณะที่ไม่ต้องทำการบันทึกเสียงด้วยโปรแกรมสำเร็จรูปอื่น แต่จะทำการเอกซอร์นนี้เป็นเอกซอร์นที่สงวนไว้สำหรับการใช้งานเพื่อการศึกษาเท่านั้น ไม่นอญูอาดให้นำไปใช้ประโยชน์ด้านการค้าไม่ว่ากรณีใดๆ ทั้งสิ้น อีกทั้งห้ามมิให้ดัดแปลงเนื้อหาและต้องอ้างอิงถึงเจ้าของเอกซอร์นทุกครั้งที่มีการนำไปใช้

รับเสียง และส่งข้อมูลเสียงนั้นเข้าสู่โปรแกรมตลอดเวลา เพื่อที่จะสามารถรับคำสั่งทางเสียง และนำข้อมูลนั้นไปประมวลผลจนถึงการที่คอมพิวเตอร์นำผลที่ได้ ไปควบคุมอุปกรณ์ไฟฟ้าที่ค่ออยู่ภายนอกได้

ส่วนที่สองจะเป็นส่วนที่นำข้อมูลเสียงนั้นที่ได้มาทำงานการคำนวณ เพื่อที่จะคัดแบ่งคำ โดยอินพุทของส่วนนี้จะเป็นเสียงที่ประกอบด้วยคำโคคหลายคำ โดยแต่ละคำจะต้องมีเสียงเงียบ (silence) กั้นระหว่างแต่ละคำเล็กน้อย และการคำนวณจะใช้ 3 วิธีร่วมกันคือ การใช้ค่าพลังงานของเสียง ค่าอัตราการตัดศูนย์เฉลี่ย และค่าความถี่พิทช์ร่วมกัน เมื่อคำนวณค่าทั้ง 3 นี้ได้ก็จะนำไปใช้ในการพิจารณาในการตัดคำต่อไป



บทที่ 2

ทฤษฎี

หลักการประมวลผลในเชิงเวลานั้นคือ การวิเคราะห์สัญญาณของเสียงพูด โดยตรงจากรูปคลื่นสัญญาณ (wave form) ซึ่งแตกต่างจากการประมวลผลเชิงความถี่ (Frequency-Domain) ตัวอย่างของการประมวลผลของสัญญาณเสียงพูดเชิงเวลา เช่น การหาค่าอัตราการตัดศูนย์เฉลี่ย (Zero-crossing Rate) ,การหาค่าพลังงาน (Energy) และค่าอโตคอรีเลชัน (Autocorrelation) โดยการประมวลผลหาค่าเหล่านี้เป็นไปโดยง่ายมีขั้นตอนที่ไม่ซับซ้อน แต่ให้องค์ประกอบสำคัญของสัญญาณเสียง

2.1 การประมวลผลเสียงพูดโดยขึ้นกับเวลา

จากรูปที่ 2.1 ซึ่งเป็นสัญญาณเสียงพูดที่มีอัตราการสุ่มตัวอย่างของสัญญาณเป็น 8000 ค่าใน 1 วินาที จะเห็นได้ชัดว่าคุณสมบัติของสัญญาณเสียงพูดจะมีลักษณะที่เปลี่ยนแปลงไปตามเวลา ตัวอย่างเช่นการเปลี่ยนแปลงสัญญาณเสียงพูดระหว่างเสียงพูดที่เป็นเสียงก้องหรือเสียง โฆษะ(voice) และเสียงไม่ก้องหรือเสียงอ โฆษะ(unvoice) โดยที่เสียงจะมีการเปลี่ยนแปลงที่เห็นได้ชัดจากขนาด(magnitude) ของสัญญาณ และยังมี การเปลี่ยนแปลงของความถี่มูลฐานของเสียง (fundamental frequency) ภายในช่วงที่เป็น โฆษะด้วย โดยการที่แสดงรูปแบบสัญญาณเป็นรูปคลื่นนี้สามารถทำให้ง่ายต่อการสังเกตถึงองค์ประกอบและคุณลักษณะของเสียงนั้น เช่น ความเข้มของเสียง(Intensity) ,ชนิดของเสียง(เสียงก้องหรือ เสียงไม่ก้อง) หรือ excitation mode, ความถี่มูลฐาน(pitch หรือ fundamental frequency) และอาจรวมถึงสัมประสิทธิ์ในอวัยวะกำเนิดเสียง เช่น ความถี่กำทอน (resonant หรือ formant frequency)

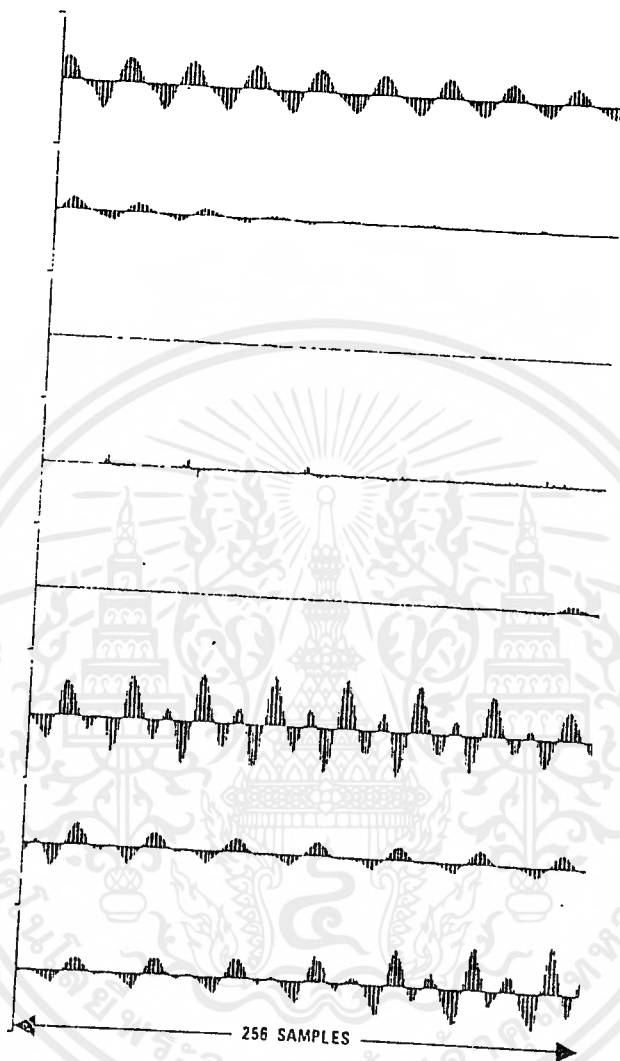
สมมติฐานที่ใช้ในการประมวลผลสัญญาณเสียงส่วนมากก็ คือการที่ถือเอาว่าคุณลักษณะของเสียงนั้น มีการเปลี่ยนแปลงช้ามากเมื่อเทียบกับเวลา และสมมติฐานนี้ทำให้เกิดการประมวลผลที่เรียกว่าการประมวลผลแบบช่วงเวลาสั้น ๆ(short-time) โดยที่ส่วนเล็ก ๆ แต่ละส่วนของเสียงพูด นั้นที่ถูกแยกออกมาและจะถูกประมวลผล โดยแต่ละส่วนของเสียงพูดนี้ถูกเรียกว่า การวิเคราะห์เฟรม(analysis frames) ซึ่งเฟรมแต่ละเฟรมจะมีส่วนที่ซ้อนทับกัน และผลลัพธ์ที่ได้ของแต่ละส่วนนั้นอาจเป็นตัวเลขตัวเลข หรืออาจเป็นกลุ่มของตัวเลขก็ได้ ดังนั้นกระบวนการนี้ก็จะทำให้เกิดลำดับของค่าใหม่ในเชิงของเวลา ซึ่งแสดงถึงลักษณะของสัญญาณเสียง

กระบวนการวิเคราะห์เสียงแบบช่วงเวลาสั้น ๆ นั้นเกือบทั้งหมดสามารถแสดงในรูปของสมการทางคณิตศาสตร์ที่มีรูปแบบ คือ

$$Q_n = \sum_{m=-\infty}^{\infty} T[X(m)W(n-w)]$$

สมการนี้สัญญาณเสียงจะถูกกรองเอาเฉพาะย่านความถี่ที่ต้องการ และจะถูกกระทำโดยฟังก์ชัน $T[]$ ซึ่งอาจเป็นเชิงเส้นหรือไม่ขึ้นอยู่กับสัมประสิทธิ์ที่จะทำการคำนวณ และหลังจากนั้นลำดับที่ได้จะถูกคูณด้วย

ถ้าค้ำวินโดว์ ในตำแหน่งที่สัมพันธ์กับเวลาของตัวอย่างสัญญาณที่ n และผลคูณก็จะถูกรวมกัน โดยทั่วไปแล้ว ผลลัพธ์จะเกิดจากค้ำที่จำกัด



รูปที่ 2.1 แสดงรูปสัญญาณเสียงที่มีอัตราคร่ารุ่มเป็น 8 kHz

2.2 ค่าพลังงานของสัญญาณเฉลี่ยในช่วงเวลาสั้น ๆ (Short-time Average Energy)

จากรูปที่ 2.1 เราสามารถสังเกตได้ว่าค่าพลังงานของสัญญาณ (Amplitude) นั้นจะมีการเปลี่ยนแปลงไปตามเวลา โดยเฉพาะพลังงานของสัญญาณของเสียง ไม่ก็อง มักจะมีค่าต่ำกว่าพลังงานของสัญญาณของเสียง ก้องมากซึ่งการใช้ค่าพลังงานของสัญญาณเฉลี่ยในช่วงสั้น ๆ สามารถแสดงให้เห็นถึงความแตกต่างนี้ได้อย่างชัดเจน โดยมีรูปแบบสมการของการใช้ในการคำนวณ คือ

เอกสารนี้เป็นเอกสารที่สงวนไว้สำหรับการใช้งานเพื่อการศึกษาเท่านั้น ไม่อนุญาตให้นำไปใช้ประโยชน์ด้านการค้าไม่ว่ากรณีใดๆ ทั้งสิ้น อีกทั้งห้ามมิให้ดัดแปลงเนื้อหาและต้องอ้างอิงถึงเจ้าของเอกสารทุกครั้งที่มีการนำไปใช้

$$E_n = \sum_{m=-\infty}^{\infty} [X(m)W(n-m)]^2$$

หรือสามารถเขียนได้เป็น

$$E_n = \sum_{m=-\infty}^{\infty} X^2(m)h(n-m)$$

โดยที่

$$h(n) = W^2(m)$$

สมการนี้สามารถแสดงเป็นบล็อกโคจรแอมป์ได้ดังรูปที่ 2.2 สัญญาณ $X^2(m)$ จะถูกกรองโดยตัวกรองแบบเชิงเส้น $h(n)$ ซึ่ง $h(n)$ ก็คือวินโดว์ (window) ลองมาคิดว่าวินโดว์ที่แตกต่างกันจะมีผลอย่างไรกับค่าพลังงานผลลัพธ์ที่ได้ โดยถ้า $h(n)$ ให้ค่าขนาดของสัญญาณคงที่ในช่วงเวลาที่ยาวนานแล้วค่า E_n จะมีการเปลี่ยนแปลงน้อยมาก เนื่องจากเราต้องการให้ค่าขนาดกำลังสองในช่วงเวลาสั้น ๆ แสดงให้เห็นถึงการเปลี่ยนแปลงของขนาดเสียงในสัญญาณเสียง ดังนั้นจึงต้องใช้วินโดว์ ที่มีช่วงเวลาด้านสั้นเกินไปก็จะทำให้ไม่ได้ค่าที่มีความเรียบพอเพียง โดยตัวฟังก์ชันวินโดว์ มีรูปแบบเป็นดังนี้

$$\text{วินโดว์แบบสี่เหลี่ยมผืนผ้า } h(n) = 1 \quad \text{เมื่อ } 0 \leq n \leq N-1$$

$$h(n) = 0 \quad \text{อื่น ๆ}$$

$$\text{วินโดว์แบบแฮมมิง } h(n) = 0.54 - 0.46 \cos\left(\frac{2n\pi}{(N-1)}\right) \quad \text{เมื่อ } 0 \leq n \leq N-1$$

$$h(n) = 0 \quad \text{อื่น ๆ}$$

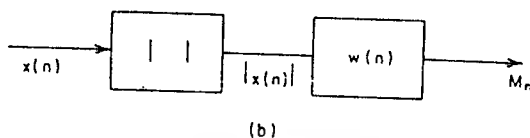
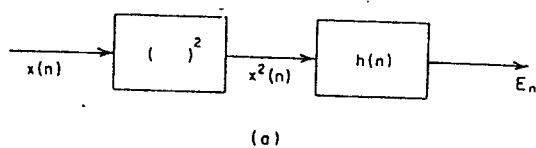
จากสมการจะเห็นได้ว่า วินโดว์แบบสี่เหลี่ยม นั้นจะมีการถ่วงน้ำหนัก(weight) ค่าเท่ากันตลอดทุกสัญญาณ(Sample) ในช่วง $(n - N + 1)$ ถึง n ส่วนผลตอบสนองทางความถี่ของวินโดว์แบบสี่เหลี่ยมนี้จะได้ตามสมการดังนี้

$$H(e^{j\Omega T}) = \frac{\sin(\Omega NT/2)}{\sin(\Omega T/2)} e^{-j\Omega T(N-1)/2}$$

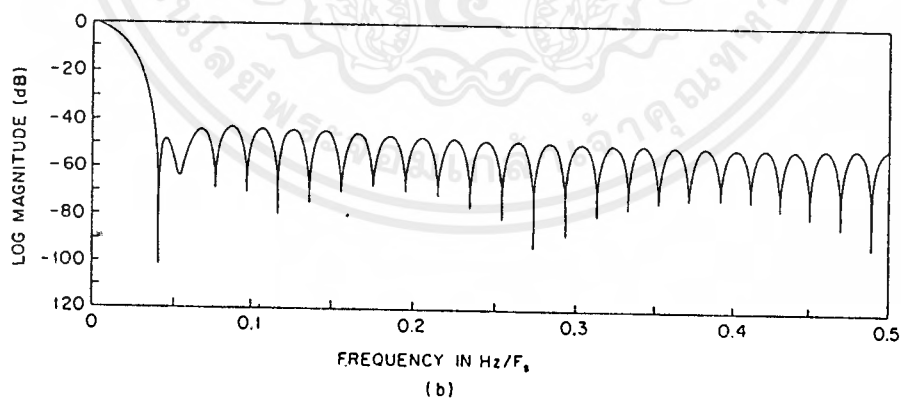
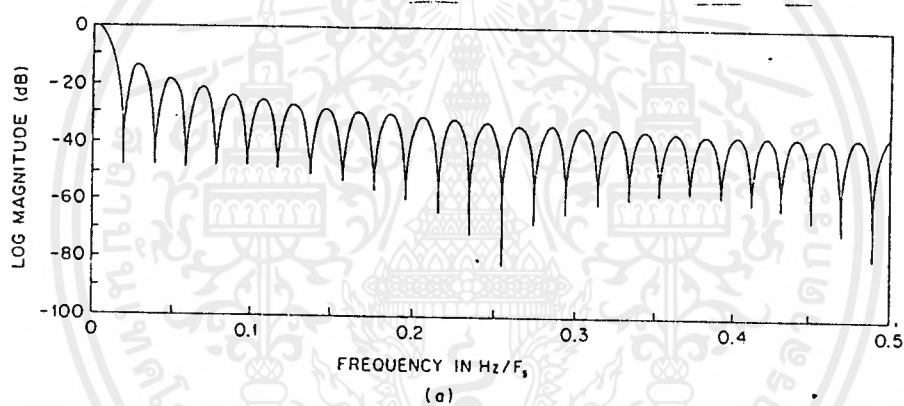
ส่วนแฮมมิงวินโดว์ นั้นจะใช้ประโยชน์ได้ดีสำหรับการวิเคราะห์เชิงความถี่ เพราะให้ค่า ลดทอนภายนอกย่านมากกว่าดังรูปที่ 2.3

จากที่กล่าวมาแล้วว่าถ้าค่า N ในวินโดว์มีค่าน้อยเกินไปก็จะมีการเปลี่ยนแปลงของค่า E_n มากเกินไป แต่ถ้าค่า N มากเกินไปก็จะทำให้สูญเสียคุณสมบัติของเสียงไป แต่เป็นการยากที่จะกำหนดค่า N เพียงค่าเดียวให้เหมาะสมกับเสียงทั้งหมด เนื่องจากคาบเวลาของเสียงที่เรียกว่าพิทช์(pitch) จะแตกต่างกันเช่น เด็กหรือ ผู้หญิงอาจมีค่าเพียง 20 ตัวอย่าง ที่อัตราการสุ่มตัวอย่าง 10kHz แต่ผู้ชายอาจสูงถึง 250 ตัวอย่าง แต่ค่า N ที่ใช้กันนั้นอยู่ในช่วงประมาณ 100-200 ตัวอย่างที่อัตราการสุ่ม 10kHz (10-20msec)

เอกสารนี้เป็นเอกสารที่สงวนไว้สำหรับการใช้งานเพื่อการศึกษาเท่านั้น ไม่อนุญาตให้นำไปใช้ประโยชน์ด้านการค้า ไม่ว่ากรณีใดๆ ทั้งสิ้น อีกทั้งห้ามมิให้ดัดแปลงเนื้อหาและต้องอ้างอิงถึงเจ้าของเอกสารทุกครั้งที่มีการนำไปใช้



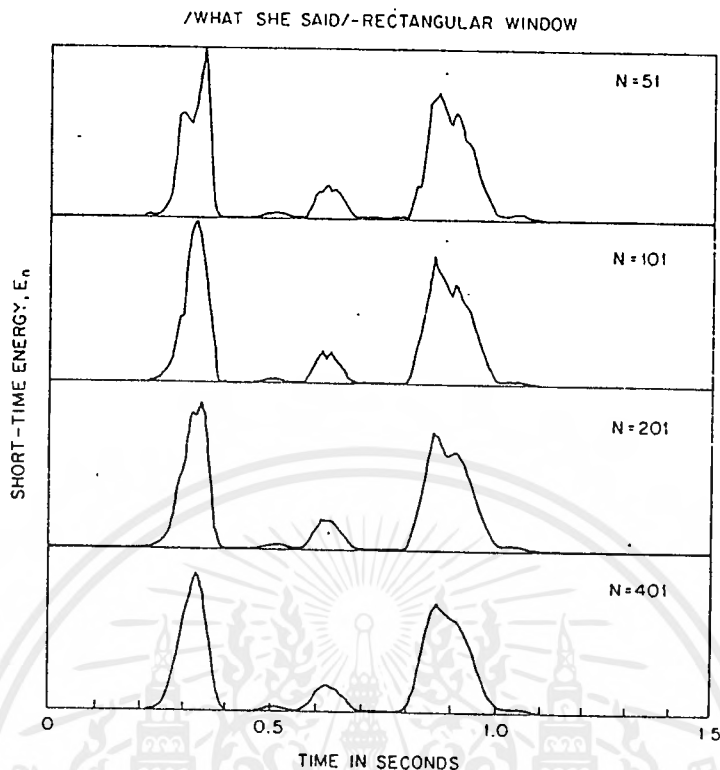
รูปที่ 2.2 แสดงบล็อกไดอะแกรม (a) พลังงานในช่วงเวลาสั้น
(b) ขนาดในช่วงเวลาสั้น ๆ



รูปที่ 2.3 แสดงการแปลงฟูเรียร์ของ (a) วิน โคว์สี่เหลี่ยม (b)วิน โคว์แบบแฮมมิง

จากรูปที่ 2.4 จะแสดงให้เห็นผลจากการเปลี่ยนแปลงค่า N ในวิน โคว์ ซึ่งจะสังเกตเห็นได้ชัดเจนว่าเมื่อค่า N เพิ่มขึ้นจะทำให้ค่าพลังงานในช่วงเวลาสั้น ๆ มีผลออกมาที่มีความราบเรียบมากยิ่งขึ้น

เอกสารนี้เป็นเอกสารที่สงวนไว้สำหรับการใช้งานเพื่อการศึกษาเท่านั้น ไม่อนุญาตให้นำไปใช้ประโยชน์ด้านการค้า ไม่ว่ากรณีใดๆ ทั้งสิ้น อีกทั้งห้ามมิให้ดัดแปลงเนื้อหาและต้องอ้างอิงถึงเจ้าของเอกสารทุกครั้งที่มีการนำไปใช้



รูปที่ 2.4 แสดงค่าพลังงานช่วงเวลาสั้น ๆ สำหรับวินโดวแบบสี่เหลี่ยมเมื่อเปลี่ยนค่า N

สิ่งสำคัญที่ได้จากค่า E_n นั่นคือ การที่เราสามารถแยกแยะส่วนของเสียงก้อง และเสียงไม่ก้อง ออกจากกันได้โดยส่วนของเสียงที่ไม่ก้อง นั้นจะมีค่า E_n ที่ต่ำกว่าเสียงก้องอย่างเห็นได้ชัด ซึ่งจะทำให้สามารถทำการกำหนดจุดต่ออย่างคร่าว ๆ ได้ว่าตำแหน่งไหนเป็นจุดที่เสียงได้ทำการเปลี่ยนจากเสียงก้องเป็นเสียงไม่ก้องหรือในทางกลับกันและสำหรับสัญญาณที่มีค่า S/N สูง ๆ นั้นค่า E_n จะทำให้เราสามารถแยกเสียงพูดออกจากเสียงเงียบ(silence) ได้ด้วย

2.3 การหาอัตราการตัดศูนย์เฉลี่ย (Short-time Average Zero-crossing Rate)

สำหรับสัญญาณที่ไม่ต่อเนื่องในแกนเวลา(discrete-time) นั้น ค่าตัดศูนย์ คือ การเปลี่ยนของเครื่องหมายทางพีชคณิตของค่าสัญญาณ และ อัตราการเปลี่ยนเครื่องหมายหรืออัตราการตัดศูนย์นี้สามารถใช้อธิบายคุณสมบัติทางความถี่ของสัญญาณได้ โดยเฉพาะกับช่วงความถี่ที่แคบมาก ๆ ดังเช่น สัญญาณชาซันที่มีความถี่ F_0 ที่ถูกแซมปิ้งด้วยความถี่ F_s จะมี F_s/F_0 ตัวอย่าง ต่อหนึ่งคาบของสัญญาณชาซัน โดยแต่ละรอบจะมีค่าอัตราการตัดศูนย์เป็น 2 ครั้งนั้นสำหรับค่าเฉลี่ยในช่วงเวลาชานานนั้นจะได้เป็น

$$Z = \frac{2F_0}{F_s} \quad \text{Crossing/Sample}$$

ดังนั้นจะเห็นได้ว่าอัตราการตัดศูนย์เฉลี่ย นั้นมีประโยชน์มากในการคาดคะเนความถี่ของสัญญาณ
ชาซันนี้

จากการที่เสียงพูดมีย่านความถี่ที่กว้างพอสมควรจึงเป็นการยากที่จะตีความจากอัตราการตัดศูนย์เฉลี่ย
แค่อย่างไรก็ตามการคาดคะเนอย่างหยาบ ๆ ของคุณลักษณะทางความถี่ของเสียงสามารถทำได้ โดยใช้วิธีการ
คำนวณหาค่าอัตราการตัดศูนย์เฉลี่ยในช่วงเวลาสั้น ๆ (Short-time average Zero-Crossing Rate) โดยสมการการ
คำนวณหาค่าอัตราการตัดศูนย์เฉลี่ย เป็นดังนี้

$$Z_n = \sum_{m=-\infty}^{\infty} |Sgn[X(m)] - Sgn[X(m-1)]| W(n-m)$$

โดยที่

$$Sgn[X(n)] = 1 \quad \text{เมื่อ} \quad X(n) > 0$$

$$Sgn[X(n)] = -1 \quad \text{เมื่อ} \quad X(n) < 0$$

และ

$$W(n) = \frac{1}{2N} \quad \text{เมื่อ} \quad 0 < n < N-1$$

$$W(n) = 0 \quad \text{อื่น ๆ}$$

การหาค่าอัตราการตัดศูนย์เฉลี่ยนั้นสามารถแสดงเป็นบล็อกไดอะแกรมได้ตามรูปที่ 5

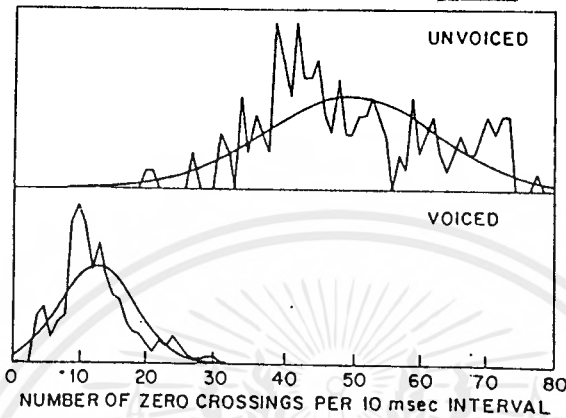


รูปที่ 2.5 แสดงบล็อกไดอะแกรมในการหาค่าอัตราการตัดศูนย์เฉลี่ยในช่วงเวลาสั้น

ในการนำค่าอัตราการตัดศูนย์เฉลี่ย ไปประยุกต์ใช้กับสัญญาณเสียงนั้นจากที่ว่าถ้าอัตราการตัดศูนย์
เฉลี่ยสูงแสดงว่าสัญญาณเสียงนั้นมีความถี่สูง แต่ถ้าได้ค่าอัตราการตัดศูนย์เฉลี่ยต่ำก็แสดงว่าสัญญาณเสียงนั้นม
ีความถี่ต่ำ โดยเสียงที่เป็นเสียงไม่ก้องจะมีความถี่สูงกว่าเสียงที่เป็นเสียงก้อง จึงสามารถกล่าวได้ว่าถ้าอัตรา
การตัดศูนย์เฉลี่ยมีค่าสูงจะเป็นเสียงไม่ก้อง แต่ถ้าค่าก็จะเป็นเสียงก้อง จากรูปที่ 2.6 จะเป็นการหาค่าอัตรา
การตัดศูนย์เฉลี่ยของทั้งสัญญาณเสียงก้องและ ไม่ก้องในช่วงเวลา 10 msec โดยการใช้ฟังก์ชันของเกาส์เซียน
(Gaussian) โดยที่ค่าอัตราการตัดศูนย์เฉลี่ยของเสียงไม่ก้องนั้นจะมีค่า 49 ครั้งส่วนเสียงก้องนั้นจะมีค่าประมาณ
14 ครั้งในช่วงเวลา 10 msec อย่างไรก็ตามยังเป็นการยากที่ตัดสินลงไปว่าค่าอัตราการตัดศูนย์เฉลี่ยค่าใดเป็นค่าต่ำ
หรือ ค่าใดเป็นค่าสูง ดังนั้นในการแบ่งแยกว่าเป็นเสียงก้อง หรือเสียงไม่ก้อง จึงไม่เหมาะสมที่จะใช้ค่าอัตรา
การตัดศูนย์เฉลี่ยเพียงอย่างเดียวในการตัดสิน

ในการคำนวณค่าอัตราการตัดศูนย์เฉลี่ย นั้นเป็นการเปรียบเทียบเปรียบเทียบเครื่องหมายของสัญญาณเท่า
นั้น จุดที่ควรจะให้ควมสนใจคือ กระบวนการของการแซมปลิง เนื่องจากมันส่งผลกระทบต่อค่าอัตราการตัด
ศูนย์เฉลี่ยเป็นอย่างมาก จากการกำหนดค่า offset (ค่าที่อ้างอิงเป็นแกนศูนย์) หรือ 50 Hz Hum ที่เกิดสัญญาณ
เอกสารนี้เป็นเอกสารที่สงวนไว้สำหรับการใช้งานเพื่อการศึกษาเท่านั้น ไม่อนุญาตให้นำไปใช้ประโยชน์ด้านการค้า
ไม่ว่ากรณีใดๆทั้งสิ้น อีกทั้งห้ามมิให้ดัดแปลงเนื้อหาและต้องอ้างอิงถึงเจ้าของเอกสารทุกครั้งที่มีการนำไปใช้

power และสัญญาณรบกวน(noise) ที่อาจเกิดจากระบบ ดังนั้นจึงต้องให้ความสำคัญกับกระบวนการที่เป็น สัญญาณอนาล็อก เพื่อลดปัญหาต่าง ๆ เหล่านี้ อาจมีการใช้ฟิลเตอร์ที่ให้ความถี่ผ่านเป็นช่วง แทนที่จะใช้ ฟิลเตอร์แบบความถี่ต่ำผ่าน เพื่อกำจัดส่วนที่เป็นสัญญาณ 50 Hz และอีกจุดหนึ่งคือ ช่วงเวลาในการแซมปลิง ใน การที่จะให้ ได้ค่าอัตราการตัดศูนย์เฉลี่ยที่มีความแม่นยำสูง ก็จะต้องใช้อัตราการแซมปลิงที่สูงด้วย



รูปที่ 2.6 แสดงการแบ่งแยกของค่าอัตราการตัดศูนย์เฉลี่ยของเสียงก้องและไม่ก้อง

2.4 การแยกเสียงพูดออกจากเสียงเงียบ(silence) โดยใช้ค่าพลังงานและค่าอัตราการตัดศูนย์เฉลี่ย

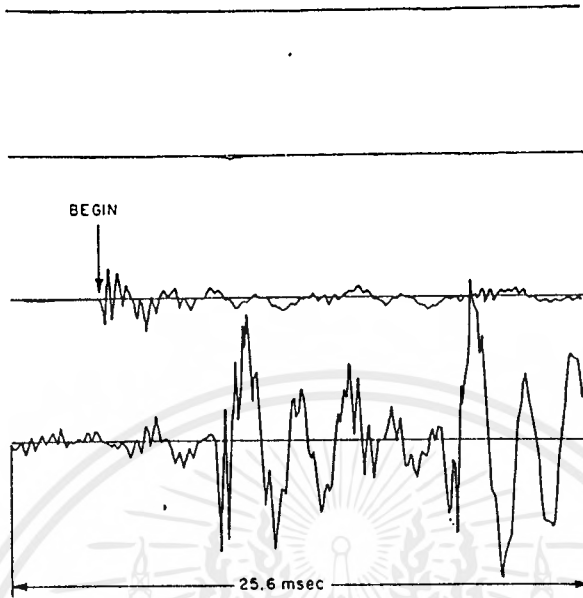
ในระบบการประมวลผลสัญญาณเสียงพูดนั้นถึงสำคัญสิ่งหนึ่งคือ การแยกแยะ และการหาขอบเขต ทั้งจุดเริ่มต้นและจุดสิ้นสุดของเสียง ออกจากสัญญาณรบกวน(Background Noise) โดยเฉพาะในกระบวนการรู้ จำเสียงพูดชนิดคำโดด (isolated word) จำเป็นอย่างยิ่งที่จะต้องกำหนดจุดเริ่มต้นและ จุดสิ้นสุดของคำให้ได้ อย่างมีประสิทธิภาพ

การใช้ค่าพลังงานและค่าอัตราการตัดศูนย์เฉลี่ย จากในรูปที่ 2.7 เป็นตัวอย่างแรก จะเห็นได้ว่า รูปคลื่น นี้สามารถแยกแยะเสียงออกจากสิ่งแวดล้อมได้ง่าย โดยใช้ค่าพลังงาน ส่วนอีกตัวอย่างหนึ่งในรูปที่ 2.8 เป็นเสียง ที่ค่าพลังงานของเสียงใกล้เคียงกับสัญญาณรบกวนมากไม่สามารถแยกแยะออกได้ แต่เมื่อมาคู่ที่ค่าอัตราการตัด ศูนย์เฉลี่ย จะมีความแตกต่างกับสัญญาณรบกวนพอสมควร

จากรูปที่ 2.9 เป็นตัวอย่างที่ซ้ำมากที่จะทำการกำหนดจุดเริ่มต้นและสิ้นสุดของเสียง ซึ่งจุดเริ่มต้นของ เสียง ที่มีลักษณะพ่นลมออกมา(frictive) ซึ่งจะทำให้ค่าพลังงานมีค่าต่ำมาก ซึ่งลักษณะของเสียงที่ซ้ำต่อการ กำหนดขอบเขต มีดังนี้

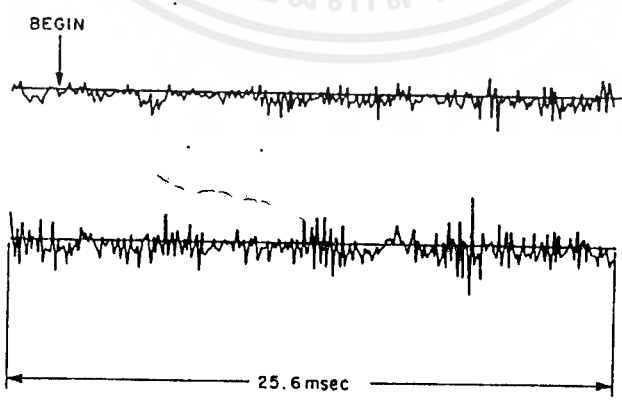
1. ลักษณะของเสียงที่พ่นลมออกมา ณ จุดเริ่มต้นหรือสิ้นสุด (Weak frictive)
2. ลักษณะของเสียงที่เป็นการระเบิดออกมา(Weak plosive bursts)
3. ลักษณะของเสียงที่เป็นเสียงนาสิก(Nasals)

TAPE - EIGHT



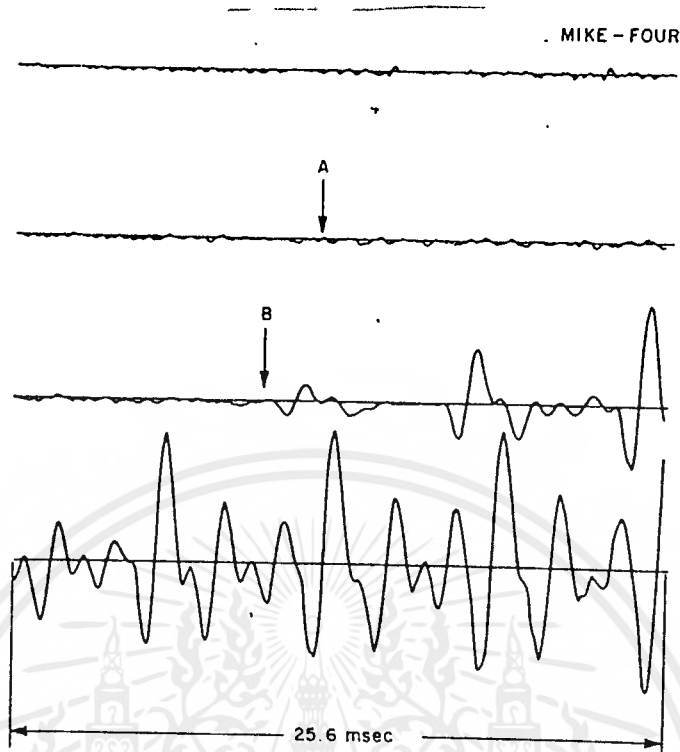
รูปที่ 2.7 แสดงรูปคลื่นของจุดเริ่มต้นเสียงคำว่า /eight/

MIKE - SIX



รูปที่ 2.8 แสดงรูปคลื่นของจุดเริ่มต้นของเสียงคำว่า /six/

เอกสารนี้เป็นเอกสารที่สงวนไว้สำหรับการใช้งานเพื่อการศึกษาเท่านั้น ไม่อนุญาตให้นำไปใช้ประโยชน์ด้านการค้า
ไม่ว่ากรณีใดๆ ทั้งสิ้น อีกทั้งห้ามมิให้ดัดแปลงเนื้อหาและต้องอ้างอิงถึงเจ้าของเอกสารทุกครั้งที่มีการนำไปใช้



รูปที่ 2.9 แสดงรูปคลื่นของจุดเริ่มต้นเสียงคำว่า /four/

ในการที่จะกำหนดจุดเริ่มต้น และจุดสิ้นสุดของเสียงเหล่านี้ เราสามารถใช้กระบวนการของการหาค่าพลังงาน และอัตราการตัดศูนย์เฉลี่ย ร่วมกันได้ ตัวอย่างในระบบรู้จำเสียงพูดแบบคำโดด การบันทึกเสียงจะบันทึกส่วนที่เป็นเสียงพูดและส่วนที่ผู้พูดไม่ได้พูดไว้ด้วย แล้วใช้ระบบหาจุดเริ่มต้น และสิ้นสุดของคำเพื่อที่จะทำให้อ่านเข้ากระบวนการรู้จำเสียง โดยส่งเฉพาะส่วนที่เป็นเสียงพูดเข้าไปประมวลผลต่อไป

การทำงานของระบบนี้จะใช้การหาค่าอัตราการตัดศูนย์เฉลี่ยที่มีขนาดเฟรมเท่ากับ 10 msec และการหาค่าพลังงาน และอัตราการตัดศูนย์เฉลี่ยร่วมกัน โดยใช้วินโดว์ขนาด 10 msec ซึ่งทั้ง 2 กระบวนการจะทำตลอดช่วงของสัญญาณด้วยอัตรา 100 ครั้งต่อวินาที โดยการสมมติให้ช่วงเวลา 100 msec แรกไม่มีเสียงพูด หมายความว่า ค่าอัตราการตัดศูนย์ และค่าพลังงานในช่วงนี้จะเป็นค่าของสัญญาณรบกวน และทำการคำนวณค่าพลังงาน และอัตราการตัดศูนย์เฉลี่ยที่ใช้เป็นเกณฑ์ในการตัดสินใจค่าระดับของพลังงาน

ค่าระดับที่ใช้ส่วนมากจะให้ค่าโดยประมาณซึ่งในความจริงแล้วจุดเริ่มต้น และจุดสิ้นสุดนั้นจะอยู่ภายนอกจากค่าระดับนี้จึงมีการทำซ้ำโดยดูจากจุดที่กำหนดโดยค่าระดับในครั้งแรกและลดลงจนถึงค่า ระดับอีกค่าหนึ่งจึงถือว่าเป็นจุดเริ่มต้นและจุดสิ้นสุดของคำ

ขอบเขตที่ได้จากการใช้ค่าระดับค่าแรกนั้นเป็นที่น่าเชื่อถือว่าภายในขอบเขตนี้จะไม่มีการเริ่มต้นหรือสิ้นสุดของคำอยู่

กระบวนการถัดไปคือ การย้อนกลับจากจุดเริ่มต้นที่ได้จากค่าระดับค่าแรกแล้วทำการเปรียบเทียบค่าอัตราการตัดศูนย์เฉลี่ยกับค่าระดับการตัดศูนย์เฉลี่ยของมันซึ่งได้จากสัญญาณรบกวน โดยถ้าอัตราการตัดศูนย์เฉลี่ยต่ำกว่าค่าระดับการตัดศูนย์เฉลี่ยที่กำหนดไว้สำหรับการทำงานเพื่อการศึกษาเท่านั้น ไม่นับว่าเข้าข่ายขอบเขตการตัดศูนย์เฉลี่ย แต่ถ้าค่าอัตราการตัดศูนย์เฉลี่ยสูงกว่าค่าระดับการตัดศูนย์เฉลี่ยที่กำหนดไว้สำหรับการทำงานเพื่อการศึกษาเท่านั้น ไม่นับว่าเข้าข่ายขอบเขตการตัดศูนย์เฉลี่ย แต่ถ้าค่าอัตราการตัดศูนย์เฉลี่ยสูงกว่าค่าระดับการตัดศูนย์เฉลี่ยที่กำหนดไว้สำหรับการทำงานเพื่อการศึกษาเท่านั้น ไม่นับว่าเข้าข่ายขอบเขตการตัดศูนย์เฉลี่ย แต่ถ้าค่าอัตราการตัดศูนย์เฉลี่ยสูงกว่าค่าระดับการตัดศูนย์เฉลี่ยที่กำหนดไว้สำหรับการทำงานเพื่อการศึกษาเท่านั้น ไม่นับว่าเข้าข่ายขอบเขตการตัดศูนย์เฉลี่ย

ศูนย์เฉลี่ยมีค่ามากกว่าค่าระดับเกิน 3 ครั้ง แล้วจะถือว่าจุดเริ่มต้นเป็นจุดที่ค่าอัตราการตัดศูนย์เฉลี่ยเกินค่าระดับเป็นครั้งแรก

2.5 การคำนวณหาค่าออโตคอร์ริเลชัน(Auto Correlation function)

สมการทั่วไปของฟังก์ชันนี้คือ

$$\varphi(k) = \sum_{m=-\infty}^{\infty} X(m)X(m+k)$$

ในบางกรณีฟังก์ชันออโตคอร์ริเลชัน สามารถอธิบายคุณลักษณะของเสียงได้อย่างดี ดังตัวอย่างเช่น สัญญาณที่เป็นคาบ มีความถี่คือ f จะสามารถแสดงได้ว่า

$$\varphi(k) = \varphi(k+f)$$

คุณลักษณะสำคัญของฟังก์ชันออโตคอร์ริเลชัน คือ

1. เป็นฟังก์ชันคู่ $\varphi(k) = \varphi(-k)$
2. ฟังก์ชันจะให้ค่าสูงสุดที่ $k = 0; |\varphi(k)| \leq \varphi(0)$ สำหรับทุกค่า k
3. ค่า $\varphi(0)$ นั้นมีค่าเท่ากับกำลังงานของสัญญาณจุดนั้น

จากสมการและคุณลักษณะข้างต้น เราเห็นได้ว่าสำหรับสัญญาณที่มีคาบนั้น ฟังก์ชันนี้จะให้ค่าสูงสุดที่ตำแหน่ง $0, \pm P, \pm 2P, \dots$ ดังนั้นเราจึงสามารถคาดคะเนคาบเวลาของสัญญาณโดยหาจากตำแหน่งของจุดสูงสุดแรกของฟังก์ชัน ประโยชน์ข้อนี้เป็นที่น่าสนใจในการนำมาใช้หาคาบสัญญาณใด ๆ รวมถึงเสียงพูดด้วย

ฟังก์ชันออโตคอร์ริเลชันในช่วงเวลาสั้น ๆ (Short-time Autocorrelation function) เป็นการนำวิธีการของช่วงเวลาสั้น ๆ ที่กล่าวมาก่อนหน้านี้ มาใช้กับฟังก์ชันออโตคอร์ริเลชัน โดยจะได้สมการเป็น

$$R_n(k) = \sum_{m=-\infty}^{\infty} X(m)W(n-m)X(m+k)W(n-k-m)$$

เนื่องจากฟังก์ชันออโตคอร์ริเลชันเป็นฟังก์ชันคู่ $R_n(k) = R_n(-k)$ สามารถเขียนสมการใหม่ได้เป็น

$$R_n(k) = \sum_{m=-\infty}^{\infty} [X(n+m)W'(m)][X(n+m+k)W'(k+m)]$$

โดยที่ $W'(n) = W(-n)$

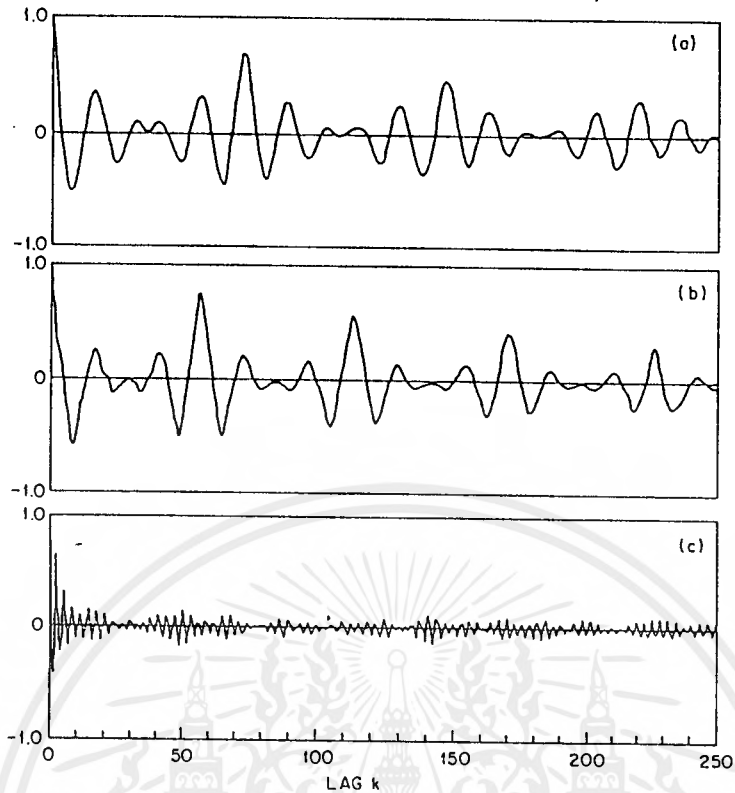
จากสมการจะเห็นได้ว่าจุดเริ่มต้นของลำดับของสัญญาณจะถูกเลื่อนไป n ค่า แล้วถูกคูณด้วยวินโดว์ (W') เพื่อที่จะเลือกช่วงเวลาของเสียงพูดและถ้าวินโดว์ฟังก์ชัน มีค่าจำกัดจะสามารถเขียนได้เป็น

$$R_n(k) = \sum_{m=0}^{N-1-k} [X(n+m)W'(m)][X(n+m+k)W'(m+k)]$$

การคำนวณค่าออโตคอร์ริเลชัน อันดับที่ k โดยใช้สมการข้างต้นต้องมีการคูณกัน N ครั้งของ $X(n+m)W'(m)$ และมีการคูณกัน และบวกกัน $N-k$ ครั้งของ Lagged Product โดยการคำนวณ Lag มาก ๆ นั้นมีความจำเป็นต่อการคาดคะเนคาบสัญญาณ แต่ก็สามารถลดการคำนวณลงได้บ้างโดยใช้วิธีพิเศษอื่นๆ

ดังรูปตัวอย่างเป็นสัญญาณที่ผ่านฟังก์ชันออโตคอร์ริเลชัน โดยมีค่า $N = 401$ โดยมีค่า Lag อยู่ระหว่าง $0 \leq k \leq 250$ และสัญญาณนั้นมีอัตราเสียงแซมปลิงที่ 10 kHz

เอกสารนี้เป็นเอกสารที่สงวนไว้สำหรับการใช้งานเพื่อการศึกษาเท่านั้น ไม่อนุญาตให้นำไปใช้ประโยชน์ด้านการค้า ไม่ว่ากรณีใดๆทั้งสิ้น อีกทั้งห้ามมิให้ตัดแปลงเนื้อหาและต้องอ้างอิงถึงเจ้าของเอกสารทุกครั้งที่มีการนำไปใช้



รูปที่ 2.10 แสดงค่าของฟังก์ชันออโตคอร์เรลชันสำหรับ (a) และ (b) เป็นเสียงก้อง (c) เป็นเสียงไม่ก้องทั้ง 3 แบบจะใช้วินโดวส์สี่เหลี่ยมและมีค่า $N = 401$

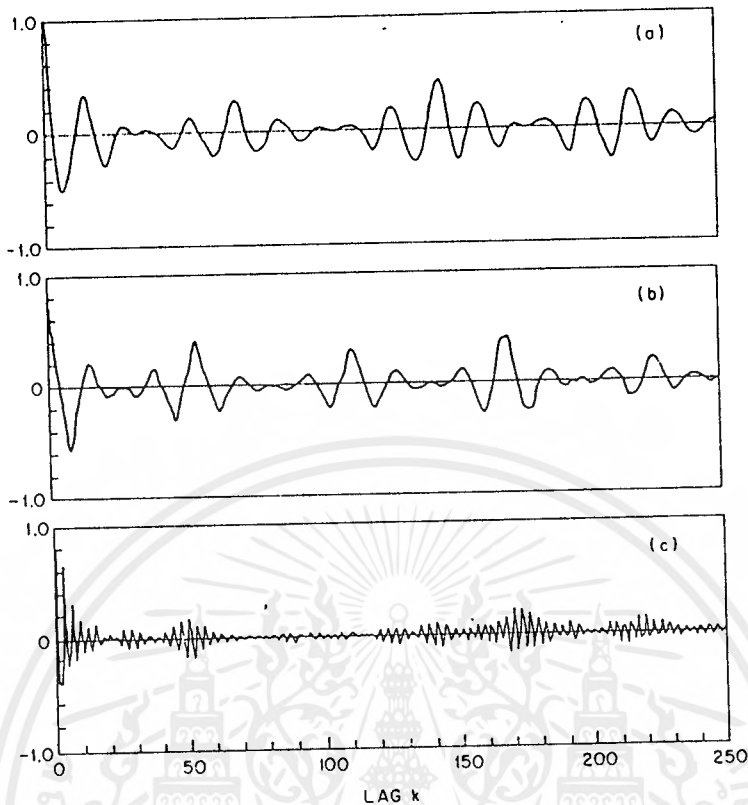
จากรูปที่ 2.10 (a) และรูปที่ 2.10 (b) เป็นค่าฟังก์ชันออโตคอร์เรลชันจะเป็นเสียงก้อง ส่วนอันสุดท้ายรูป 2.10 (c) เป็นของเสียงไม่ก้อง จากรูปจะได้ค่าสูงสุดของรูปแรกมีระยะห่างกัน 72 ค่า ดังนั้นจะมีความถี่มาตรฐานประมาณ 140 Hz โดยค่าที่ได้ี้ จะมีค่าต่างจากค่าความถี่มาตรฐานจริง ๆ เล็กน้อย เนื่องจากคาบเวลาของสัญญาณมีการเปลี่ยนแปลงภายในค่า 401 Sample และรูปคลื่นก็มีการเปลี่ยนแปลง และถ้าค่า Lag มีค่ามากขึ้นก็จะทำให้ค่าสูงสุด (peak) ลดลงด้วย ส่วนรูปที่สองมีระยะห่างของแต่ละ peak คือ 58 ดังนั้นจะมีคาบเวลา คือ 5.8 msec

ส่วนค่าฟังก์ชันออโตคอร์เรลชัน ของส่วนเสียงไม่ก้อง นั้นจะมีรูปคลื่นลักษณะเป็นความถี่สูงคล้ายกับสัญญาณรบกวน

รูปที่ 2.11 แสดงถึงการใช้วินโดวส์แบบแฮมมิงแทนวินโดวส์สี่เหลี่ยม เราจะเห็นได้ว่าการใช้วินโดวส์สี่เหลี่ยม นั้นสามารถแยกแยะจุดสูงสุดได้ดีกว่า

จากตัวอย่างที่ใช้ค่า $N=401$ ปัญหาสำคัญคือ จะเลือกขนาดของ N ได้อย่างไรจึงได้ประสิทธิภาพที่ดีที่สุด ถ้าคิดจากการเปลี่ยนแปลงของเสียงนั้นก็ควรจะใช้ N มีค่าน้อยที่สุดเพื่อจะได้คุณลักษณะของเสียงอย่างครบถ้วน แต่สิ่งที่จำเป็นก็คือ ภายในวินโดวส์ นั้นต้องประกอบอย่างน้อย 2 คาบสัญญาณ และในการคำนวณนั้น ถ้าค่า k เพิ่มขึ้นมากเท่าไร ก็จะทำให้ข้อมูลที่ใช้นั้นลดลงเรื่อยๆ ซึ่งจะทำให้จุดสูงสุด ของค่าฟังก์ชันออโตคอร์เรล

เอกสารนี้เป็นเอกสารที่สงวนไว้สำหรับการใช้งานเพื่อการศึกษาเท่านั้น ไม่อนุญาตให้นำไปใช้ประโยชน์ด้านการค้า ไม่ว่าจะวิธีใดๆ ทั้งสิ้น อีกทั้งห้ามมิให้ดัดแปลงเนื้อหาและต้องอ้างอิงถึงเจ้าของเอกสารทุกครั้งที่มีการนำไปใช้



รูปที่ 2.11 แสดงฟังก์ชันออโตคอริเลชันสำหรับ (a) และ (b) เป็นเสียงก้อง (c) เป็นเสียงไม่ก้อง ซึ่งทั้งสามใช้วินโดว์แฮมมิงและค่า $N = 401$

ชั้นลดทอน ตัวอย่างดังรูปที่ 2.12 จะแสดงให้เห็นถึงค่าฟังก์ชันออโตคอริเลชัน เมื่อขนาดของวินโดว์ เปลี่ยนแปลงไป และส่วนของเส้นประแสดงถึงฟังก์ชัน

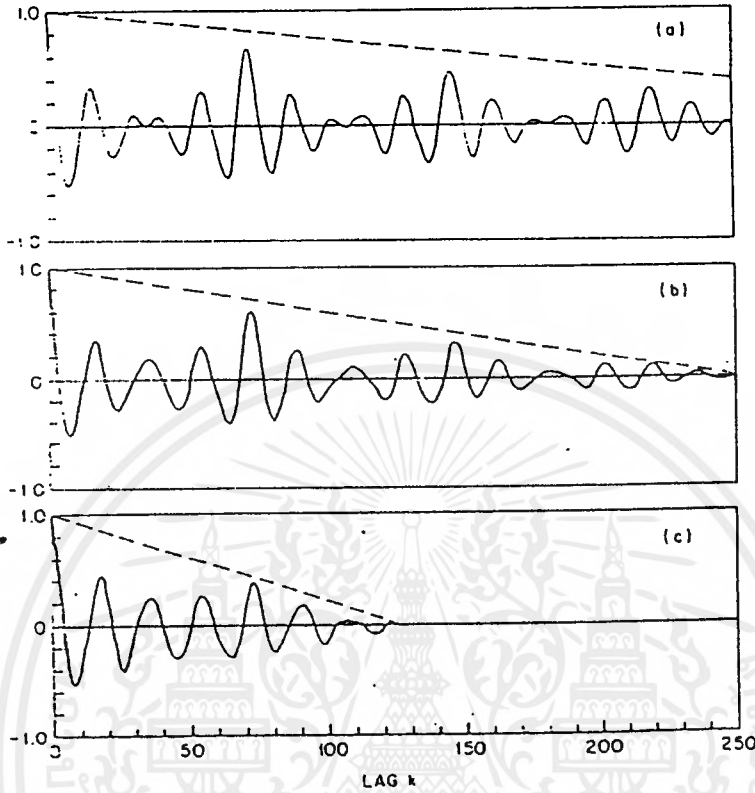
$$R(k) = 1 - \frac{|k|}{N}, |k| < N$$

จากรูปจะเห็นว่าการใช้ช่วงของวินโดว์ $N=125$ นั้นจะได้คาบของสัญญาณไม่ครบ 2 คาบจึงเป็นการไม่ลีนึก การที่จะหลีกเลี่ยงเหตุการณ์เช่นนี้ อาจทำได้โดยการกำหนด N ให้มีค่ามาก ๆ พอเพียงสำหรับคาบเวลาพิทช์ที่มีค่ายาว ๆ แต่ก็จะเป็นการ ไม่ลีนึกต่อสัญญาณที่มีคาบพิทช์สั้น ๆ จะเกิดการเฉลี่ยกันของค่าพิทช์มากเกินไป

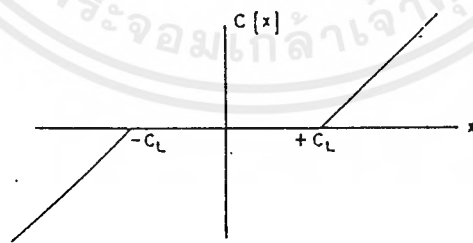
2.6 การคาดคะเนคาบของพิทช์ (Pitch period) โดยใช้ฟังก์ชันออโตคอริเลชัน

การใช้เทคนิคที่เรียกว่า การคลิบตรงกลาง (Center Clipping) เป็นการแปลงแบบไม่เป็นเชิงเส้น มีรูปแบบของฟังก์ชันเป็น $y(n) = C[X(n)]$ โดย $C[\]$ มีลักษณะเป็นดังรูปที่ 13 และผลจากการกระทำ การคลิบตรงกลาง แสดงในรูปที่ 2.14

* เอกสารนี้เป็นเอกสารที่สงวนไว้สำหรับการใช้งานเพื่อการศึกษาเท่านั้น ไม่อนุญาตให้นำไปใช้ประโยชน์ด้านการค้า ไม่ว่ากรณีใดๆทั้งสิ้น อีกทั้งห้ามมิให้ดัดแปลงเนื้อหาและต้องอ้างอิงถึงเจ้าของเอกสารทุกครั้งที่มีการนำไปใช้



รูปที่ 2.12 แสดงฟังก์ชันออโตคอร์เรลชันสำหรับเสียงก้อง โดยที่ (a) $N = 401$ (b) $N = 251$ และ (c) $N = 125$ ซึ่งใช้วินโดว์แบบสี่เหลี่ยมหมด

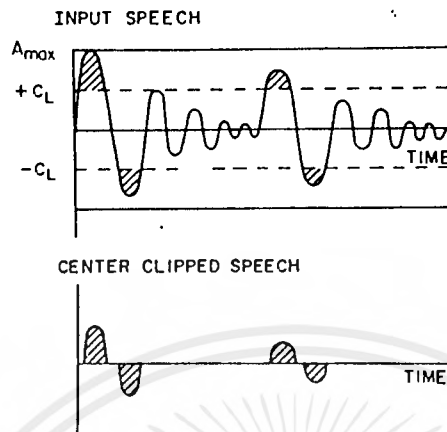


รูปที่ 2.13 แสดงฟังก์ชันที่ใช้ในการคลิบตรงกลาง

จากรูปที่ 2.14 ส่วนของเสียงที่ถูกใช้ในการคำนวณถูกแสดงในรูปบนส่วนรูปล่างแสดงถึงจุดสูงสุด (peak) ที่มีค่าขนาด คือ A_{max} นั้นถูกคลิบ โดยระดับที่ใช้ในการคลิบ (C_L) โดยค่านี้ถูกกำหนดจากอัตราส่วนจากค่าสูงสุด (Sondhi ใช้ 30%) เออร์ทัพของ การคลิบตรงกลาง นี้จะเท่ากับอินพุตลบกับ ระดับที่ใช้ในการคลิบ

เอกสารนี้เป็นเอกสารที่สงวนไว้สำหรับการใช้งานเพื่อการศึกษาเท่านั้น ไม่อนุญาตให้拿去ใช้ประโยชน์ด้านการค้า ไม่ว่ากรณีใดๆ ทั้งสิ้น อีกทั้งห้ามมิให้ดัดแปลงเนื้อหาและต้องอ้างอิงถึงเจ้าของเอกสารทุกครั้งที่มีการนำไปใช้

(Clipping level) ก็ต่อเมื่อมันมีค่ามากกว่าระดับที่ใช้ในการคลิบ ส่วนที่มีค่าต่ำกว่าระดับที่ใช้ในการคลิบ นั้นเอาที่หุทของมันจะมีค่าเป็นศูนย์ โดยเอาที่หุทของรูปบนจะแสดงอยู่ในรูปล่าง



รูปที่ 2.14 รูปคลื่นที่ใช้ในการคลิบทั้งอินพุทและเอาที่หุท

ในการกำหนดค่าระดับที่ใช้ในการคลิบนั้นถ้าเรากำหนดค่าสูง ๆ ก็จะทำให้เป็นการง่ายในการคำนวณค่าฟังก์ชันออโตคอรี่เลชัน แต่ถ้าตั้งค่าไว้สูงเกินไป นั้นจะทำให้ค่าบางส่วนอยู่ต่ำกว่าระดับคลิบหมดทำให้สูญเสียข้อมูลไป แต่การที่จะตั้งค่าระดับคลิบให้ต่ำก็จะมีจุดยอด จำนวนมากที่ผ่านการคลิบมาได้ทำให้เพิ่มความซับซ้อนในการหาค่าฟังก์ชันออโตคอรี่เลชัน

Sondhi ได้กำหนด ระดับที่ใช้ในการคลิบไว้ที่ 30% ของค่าสูงสุด ส่วนวิธีที่ใช้ค่าเปอร์เซนต์สูงถึง 60-80% นั้นใช้สำหรับหาค่าจุดสูงสุดที่ต่ำสุดจากอันดับที่สามจากเริ่มต้น และจากสุดท้ายของวินโดว์ ปัญหาที่เกิดจากจุดสูงสุด ที่มีต้องการนั้นสามารถลดลงได้มากโดยการ ใช้การคลิบตรงกลางเพื่อที่จะคำนวณค่าฟังก์ชันออโตคอรี่เลชัน

อย่างไรก็ตามถึงแม้จะมีการใช้การคลิบร่วมด้วยในการคำนวณค่าฟังก์ชันออโตคอรี่เลชัน ก็ยังคงมีการคำนวณเป็นจำนวนมากอยู่ดี วิธีที่จะสามารถลดการคำนวณลง และไม่ส่งผลกระทบต่อการทำงานค่า พิทซ์ คือ การกำหนดเอาที่หุทของกระบวนการคลิบ ใหม่ให้ง่ายขึ้น คือ ถ้า $X(n) > C_L$ แล้วจะได้เอาที่หุทเป็น +1 และถ้า $X(n) < -C_L$ แล้วเอาที่หุทจะเป็น -1 นอกนั้นเอาที่หุทจะเป็น 0 เรียกวิธีแบบนี้ว่า การคลิบ 3 ระดับ (3-level Center Clipping) ดังรูปที่ 2.15 แสดงเอาที่หุทของสัญญาณในรูป

การคำนวณค่าฟังก์ชันออโตคอรี่เลชัน หลังจากการทำกรคลิบแบบ 3 ระดับนั้นจะง่ายขึ้นดังสมการ ถ้าให้เอาที่หุทของการคลิบแบบ 3 ระดับเป็น $y(n)$ จะได้ว่า

$$R_n(k) = \sum_{m=0}^{N-k-1} y(n+m)y(n+m+k)$$

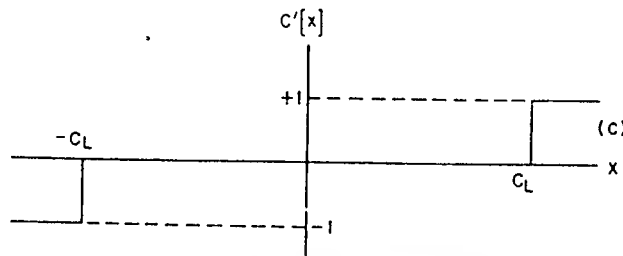
ซึ่งจะมีเพียง 3 กรณีที่เกิดขึ้นในผลคูณระหว่าง 2 ทจน์เท่านั้นคือ

$$y(n+m)y(n+m+k) = 0 \text{ ถ้า } y(n+m) \text{ หรือ } y(n+m+k) = 0$$

เอกสารนี้เป็นเอกสารที่สงวนไว้สำหรับการใช้งานเพื่อการศึกษาเท่านั้น ไม่อนุญาตให้นำไปใช้ประโยชน์ด้านการค้า
ไม่ว่ากรณีใดๆ ทั้งสิ้น อีกทั้งห้ามมิให้ดัดแปลงเนื้อหาและต้องอ้างอิงถึงเจ้าของเอกสารทุกครั้งที่มีการนำไปใช้

$$y(n+m)y(n+m+k) = 1 \text{ ถ้า } y(n+m) = y(n+m+k)$$

$$y(n+m)y(n+m+k) = -1 \text{ ถ้า } y(n+m) \neq y(n+m+k) \neq 0$$

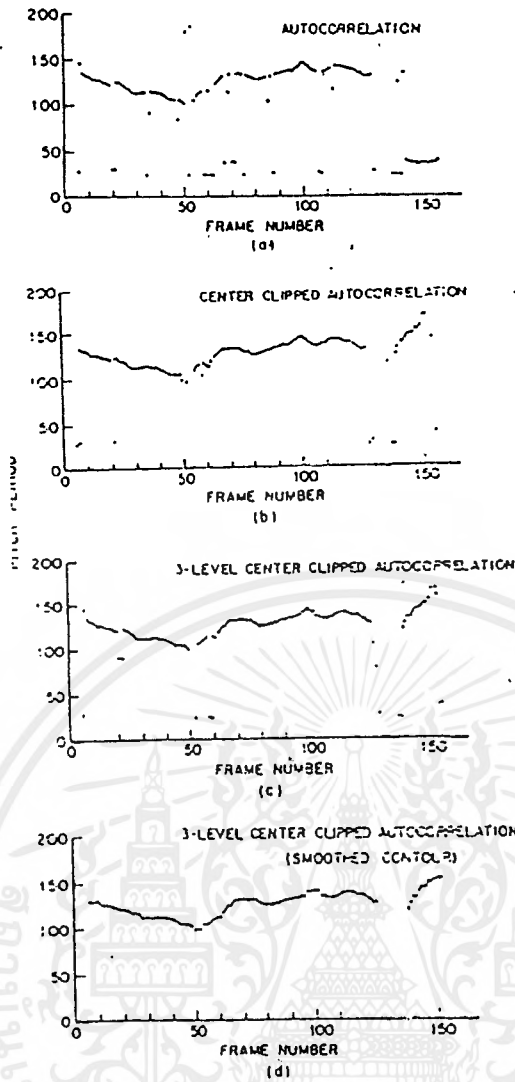


รูปที่ 2.15 แสดงฟังก์ชันที่ใช้ในการคลิกแบบ 3 ระดับ

ขั้นตอนในการคำนวณเพื่อที่จะหาค่าคาบเวลาของพิทช์จากสมการการคำนวณหาค่าฟังก์ชันออโตคอรีเลชันในช่วงเวลาสั้น ๆ มีดังนี้

1. สัญญาณเสียงจะนำไปผ่านตัวกรอง ซึ่งตัวกรองที่ใช้นั้นเป็นแบบความถี่ต่ำผ่านซึ่งมีความถี่คัทออฟ (cut-off) ที่ 900 Hz และนำไปทำการสุ่มตัวอย่างที่ความถี่ 10 kHz
2. กำหนดให้ขนาดของส่วนของเสียง (ขนาดwindow) เป็น 30 msec (300 ตัวอย่าง) และมีช่วงห่างแต่ละส่วนของเสียง 10 msec ดังนั้นแต่ละส่วนจะซ้อนกันอยู่ 20 msec
3. ทำการคำนวณค่าพลังงานเฉลี่ยใน 100 ตัวอย่างแรกของส่วนของเสียงแล้วนำค่าจุดสูงสุด ไปเปรียบเทียบกับค่าระดับที่กำหนดไว้โดยการวัดจากจุดสูงสุดของสัญญาณสัญญาณรบกวน ที่มีความยาว 50 msec ถ้าจุดสูงสุดของ 100 ตัวอย่างแรกมีค่าสูงกว่าก็จะถือว่าเป็นเสียงพูด แต่ถ้าไม่ก็จะไม่ถือว่าเป็นส่วนนั้นเป็นเสียงพูด
4. ระดับการคลิกจะถูกกำหนดจากค่าเปอร์เซ็นต์ของค่าต่ำสุดของ peak สูงสุดระหว่าง 100 ตัวอย่างแรก และ 100 ตัวอย่างหลังของส่วนของเสียง (ใช้ 68%)
5. ใช้ระดับการคลิกนี้ไปใช้กับการคลิกแบบ 3 ระดับและนำไปคำนวณค่าฟังก์ชันออโตคอรีเลชัน
6. หาค่าสูงสุดของจุดสูงสุดของฟังก์ชันออโตคอรีเลชัน และเปรียบเทียบกับค่าระดับ (30% ของ $R_u(0)$) ถ้าต่ำกว่าค่าระดับจะถือว่าเป็นเสียงไม่ก้อง และถ้ามากกว่าจะถือว่าเป็นจุดสูงสุดที่ใหญ่ที่สุด

ในขั้นตอนที่ 4 และ 5 นั้นอาจจะใช้การคลิกแบบธรรมดา หรือการคลิกแบบ 3 ระดับ หรืออาจไม่ใช้การคลิกเลยก็ได้ ผลที่ได้จากการหาค่าพิทช์แสดงดังในรูปที่ 2.16 โดยรูปแรกเป็นการคำนวณฟังก์ชันออโตคอรีเลชัน โดยไม่ใช้การคลิกแบบใด ๆ เลย จะสามารถสังเกตเห็น Lag เช่น ได้ว่ามีการกระจายของความผิดพลาดมาก เนื่องจากความจริงที่ว่าจุดยอด ที่มีค่าสั้น ๆ นั้นจะมีขนาดใหญ่กว่าจุดสูงสุดที่คาบเวลาพิทช์ ในรูปถัดไปมีการใช้การคลิกตรงกลางและ การคลิกแบบ 3 ระดับ จะเห็นได้ว่าสามารถกำจัดความผิดพลาดออกไปได้มาก



รูปที่ 2.16 แสดงเอาต์พุตจากการหาพิทซ์โดยใช้ฟังก์ชันออโตคอร์เรลชัน (a) ไม่มีการคลิบ (b) การคลิบแบบตรงกลาง (c) การคลิบแบบ 3 ระดับ (d) จากเอาต์พุตภาพ c ไปทำให้เรียบ

2.7 การอินเตอร์เฟซพื้นฐาน

เครื่องคอมพิวเตอร์ทุกรุ่นจะมีหมายเลขพอร์ตสำหรับใช้งานต่าง ๆ ดังตารางที่ 2.2 จะเห็นว่ามีบางพอร์ตที่ไม่ได้ถูกใช้งาน (สงวนไว้) เช่น 360-36F, 3C0-3CF เราสามารถที่จะนำหมายเลขพอร์ตเหล่านี้ไปประยุกต์ใช้งานได้ หรือจะใช้งานหมายเลขพอร์ตที่ถูกกำหนดเอาไว้แล้ว แต่เครื่องไมโครคอมพิวเตอร์ของเรา

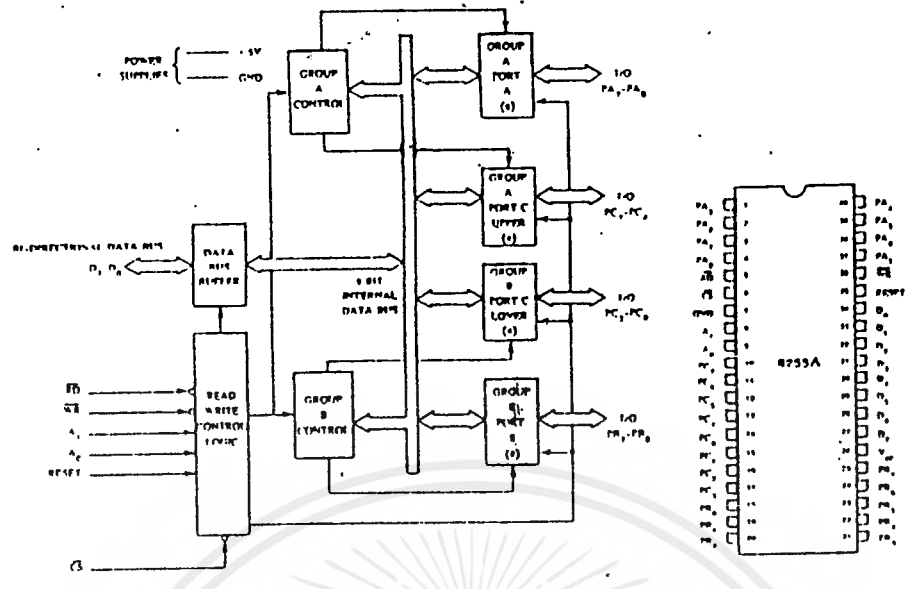
ไม่ได้ต่ออุปกรณ์ใช้งานกับพอร์คนั้น เช่น พอร์ต 27F (เครื่องพิมพ์ขนานพอร์ด 2) เพราะโดยทั่วไปจะนิยมต่อเครื่องพิมพ์ที่พอร์ดหมายเลข 3BC หรือ 3D



2.8 8255 พอร์ตอินพุท/เอาต์พุทของระบบ (Programmable Peripheral Interface)

ตารางที่ 2.1 แสดงการจัดตำแหน่งพอร์ดของระบบ

| หมายเลขพอร์ด | การใช้งาน |
|--------------|---|
| 000-01F | ตัวควบคุมดีเอ็มเอ 1, 8237A-5 |
| 020-03F | ตัวควบคุมอินเทอร์รับต์ 1, 8259 (มาสเตอร์) |
| 040-05F | ตัวควบคุมไทมเมอร์เคาน์เตอร์ 8254-2 |
| 060-06F | ตัวควบคุมพอร์ดขนานและคีย์บอร์ด 8042 |
| 070-07F | Real Time Clock, NMI ของระบบ |
| 080-09F | ดีเอ็มเอเพอร์จิสเตอร์ 74LS612 |
| 0A0-0BF | ตัวควบคุมอิมเคอร์รับต์ 2, 8259 (สเลฟ) |
| 0C0-0DF | ตัวควบคุมดีเอ็มเอ 2, 8237A-5 |
| 0F0 | เคิลิขร์ไมโครโปรเซสเซอร์ |
| 0F1 | รีเซตไมโครโปรเซสเซอร์ |
| 0F8-0FF | ไมโครโปรเซสเซอร์ 80287 |
| 1F0-1FB | ฮาร์ดดิสก์ |
| 200-207 | เกมอินพุท/เอาต์พุท |
| 278-27F | เครื่องพิมพ์ขนาน พอร์ด 2 |
| 2F8-2FF | เครื่องพิมพ์อนุกรม พอร์ด 2 |
| 300-31F | การ์ดโปรโตไทป์ (prototype) |
| 360-36F | สแกนไว้ |
| 378-37F | เครื่องพิมพ์ขนาน พอร์ด 1 |
| 380-38F | SDLC ไบต์ซิงค์โครไนซ์ 1 |
| 3A0-3AF | ไบต์ซิงโครไนซ์ 1 |
| 3B0-3BF | อะแดปเตอร์โมโนโครม และเครื่องพิมพ์ |
| 3C0-3CF | สแกนไว้ |
| 3D0-3DF | อะแดปเตอร์สี/กราฟฟิก |
| 3F0-3F7 | ตัวควบคุมคัสก์โครที |
| 3F8-3FF | พอร์ดอนุกรม 1 |



รูปที่ 2.17 แสดงแผนผังและการจัดขาของ 8255A-5

8255 เป็นชิปขับพอร์ตที่ทำหน้าที่เป็นพอร์ตขยาย สามารถรับส่งข้อมูลแบบขนานได้รวดเร็ว โดยมีพอร์ตให้ใช้งาน 3 พอร์ตด้วยกันคือ พอร์ต A, พอร์ต B และพอร์ต C นอกจากนั้นยังมีพอร์ตควบคุมอีก 1 พอร์ต ในพอร์ต A และพอร์ต B จะมีขนาด 8 บิต ส่วนพอร์ต C จะถูกแบ่งออกเป็น 4 บิตบนและล่าง โดยที่ 4 บิตบน (PC4 - PC7) จะถูกควบคุมด้วยพอร์ต A ส่วน 4 บิตล่าง (PC0 - PC3) จะถูกควบคุมโดยพอร์ต B

การใช้งานพอร์ตสามารถทำได้โดยการเขียน โปรแกรมควบคุมพอร์ตนั้น ๆ สามารถจะใช้ภาษาเบสิก ภาษาซี ภาษาปาสคาล และแอสเซมบลี ก่อนอื่นจะต้องทราบหมายเลขพอร์ตที่จะใช้งาน แล้วศึกษารายละเอียดของตัวอุปกรณ์ที่ทำงานอยู่ในพอร์ตนั้น ว่ามีการทำงานอย่างไร จากนั้นจึงเขียนโปรแกรมควบคุมการทำงานของพอร์ตนั้น บนเครื่องไมโครคอมพิวเตอร์จะมีพอร์ตที่ทำหน้าที่ควบคุมการรับคีย์บอร์ดสแกนโค้ดเป็นพอร์ตขนาน แล้วยังผลิตเสียงได้ด้วย คือพอร์ตหมายเลข 060-06F พอร์ตนี้จะใช้ชิป 8255 ในการทำงาน

ตารางที่ 2.2 หน้าที่และขาสัญญาณต่าง ๆ ของ 8255

| ขาสัญญาณ | หน้าที่ |
|------------------------------|--|
| PA, PB, PC (Port A, B, C) | เป็นขาสัญญาณของพอร์ตทั้ง 3 ของ 8255 คือ พอร์ต A, พอร์ต B และพอร์ต C การเลือกใช้งาน 1 ใน 3 พอร์ต จะใช้แอสเซส A0, A1 เลือกอีกทีหนึ่ง |
| CS (Chip Select) | สัญญาณเลือกชิป 8255 ก่อนจะทำการ โปรแกรม ต้องให้สัญญาณนี้แอสเททคือ เป็น 0 ด้วย |
| RD (Read) | เป็นสัญญาณอินพุท เพื่อให้อ่านข้อมูลภายในพอร์ทของ 8255 สัญญาณนี้จะต้องแอสเททพร้อม CS |
| WR (Write) | เป็นสัญญาณอินพุท เพื่อให้อ่านข้อมูลภายในพอร์ทของ 8255 สัญญาณนี้จะต้องแอสเททพร้อม CS |
| D0-D7 (Data Bus) | เป็นขาสัญญาณแบบไบโคเรกเมนเนล คือ 2 ทิศทาง สามารถใช้รับ/ส่งข้อมูลจากชิปได้ |
| A0-A1 (Address) | เป็นสัญญาณอินพุทใช้งานร่วมกับสัญญาณ RD และ WR เพื่อเลือกและควบคุม 1 ใน 3 พอร์ต หรือคอนโทรลเวอร์จิสเตอร์ |
| Reset | เป็นสัญญาณอินพุทใช้รีเซตแก่ 8255 เพื่อทำการเคลียร์สถานะต่าง ๆ ของ 8255 และทำให้พอร์ททั้ง 3 เป็นอินพุททั้งหมด |

2.9 การโปรแกรม 8255

การใช้งาน 8255 จะต้องทำการ โปรแกรมเสียก่อน โดยการส่งค่าคอนโทรลไบต์ให้แก่พอร์ทควบคุมจะเป็นคำสั่งขนาด 8 บิต หรือ 1 ไบต์ ซึ่งแต่ละบิตจะมีความหมาย และใช้งานต่างกัน คอนโทรลไบต์นี้จะเป็นคำสั่งกำหนดโหมดการทำงานของ 8255 และการกำหนดให้พอร์ททั้ง 3 (A,B,C) เป็นอินพุท หรือเอาต์พุท ดังแสดงในรูปที่ 2.18

บิต D0 = ข้อมูลในบิตนี้ กำหนดให้พอร์ท C ล่าง (PC0 - PC3) เป็นอินพุทหรือเอาต์พุท ถ้าบิตนี้เป็น 1 จะเป็นอินพุท แต่ถ้าเป็น 0 จะเป็นเอาต์พุท

บิต D1 = ข้อมูลในบิตนี้ กำหนดให้พอร์ท B เป็นอินพุทหรือเอาต์พุท ถ้าบิตนี้เป็น 1 จะเป็นอินพุท แต่ถ้าเป็น 0 จะเป็นเอาต์พุท

บิต D2 = ข้อมูลในบิตนี้ กำหนดการเลือกโหมดของกลุ่ม B ถ้าบิตนี้เป็น 1 จะทำงานในโหมด 1 ถ้าบิตนี้เป็น 0 จะทำงานในโหมด 0

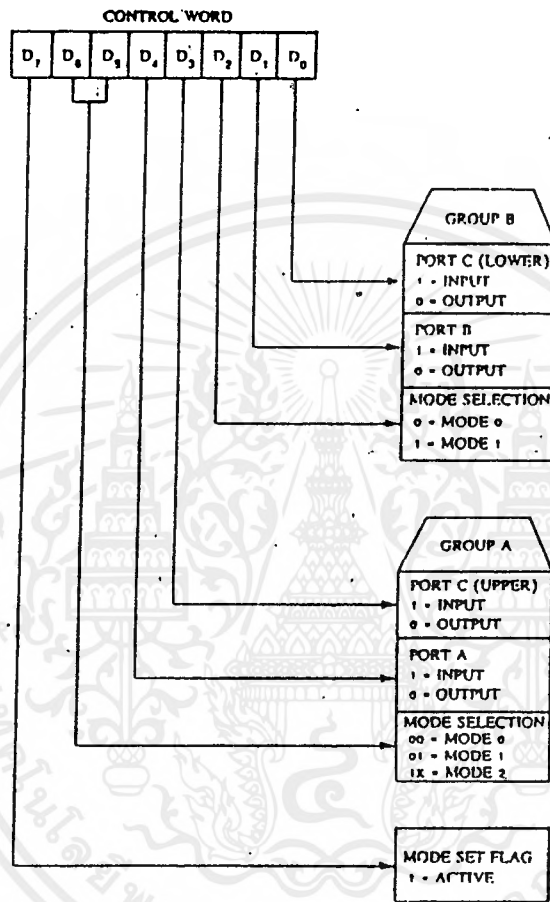
บิต D3 = ข้อมูลในบิตนี้ กำหนดให้พอร์ท C บน (PC4 - PC7) เป็นอินพุทหรือเอาต์พุท ถ้าบิตนี้เป็น 1 จะเป็นอินพุท แต่ถ้าเป็น 0 จะเป็นเอาต์พุท

เอกสารนี้เป็นเอกสารที่สงวนไว้สำหรับการใช้งานเพื่อการศึกษาเท่านั้น ไม่อนุญาตให้นำไปใช้ประโยชน์ด้านการค้า ไม่ว่าจะกรณีใดๆ ทั้งสิ้น อีกทั้งห้ามมิให้ดัดแปลงเนื้อหาและต้องอ้างอิงถึงเจ้าของเอกสารทุกครั้งที่มีการนำไปใช้

บิต D4 = ข้อมูลในบิตนี้กำหนดให้พอร์ต A เป็นอินพุตหรือเอาต์พุต ถ้าบิตนี้เป็น 1 จะเป็นอินพุต แต่ถ้าเป็น 0 จะเป็นเอาต์พุต

บิต D5,D6 = ข้อมูลทั้ง 2 บิตนี้เป็นตัวเลือกโหมดการทำงานของกลุ่ม A ถ้ามีค่าเป็น 00 จะทำงานโหมด 0 หรือถ้ามีค่าเป็น 01 จะทำงานโหมด 1 แต่ถ้ามีค่าเป็น 1X (10 และ 11) จะทำงานในโหมด 2

บิต D7 = ข้อมูลในบิตนี้เกี่ยวกับการเซตเฟล็กใน 8255



รูปที่ 2.18 แสดงรูปแบบการกำหนดค่าของคอนโทรลไบต์

2.10 โหมดการทำงานของ 8255

8255 มีโหมดการทำงานอยู่ 3 โหมดด้วยกัน คือ

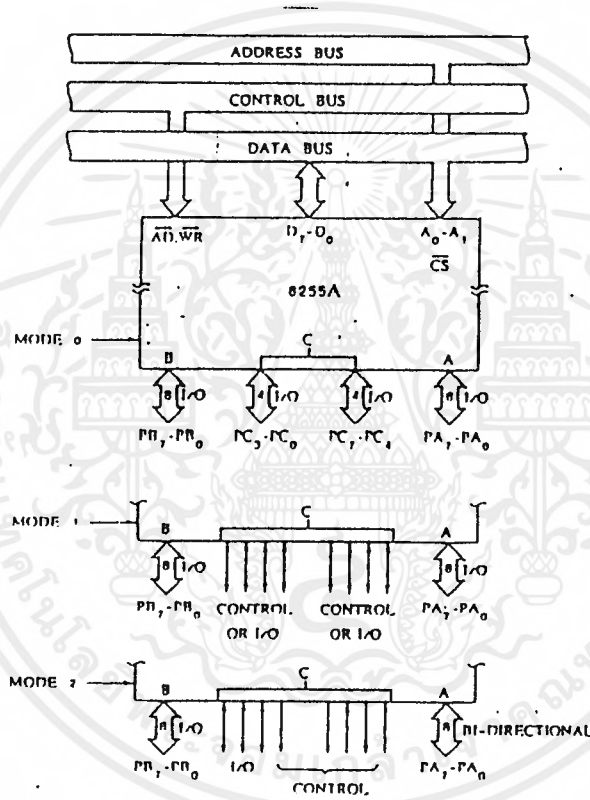
1. โหมด 0 (อินพุต/เอาต์พุตพื้นฐาน)
2. โหมด 1 (อินพุต/เอาต์พุตสโครป)
3. โหมด 2 (บัสแบบสองทิศทาง)

โหมด 0 (โหมดอินพุท/เอาต์พุทพื้นฐาน)

ในโหมด 0 นี้จะกำหนดให้พอร์ต A, B และ C เป็นอินพุท/เอาต์พุทก็ได้ ไม่มีสัญญาณแฮนด์เชกกิ้ง (Handshaking) เอาต์พุทที่ออกจากพอร์ต A, B และ C จะแลตช์ (Latched) ค่าไว้ด้วย สามารถจัดรูปแบบของอินพุท/เอาต์พุทได้ 16 แบบด้วยกันดังรูปที่ 2.19

โหมด 1 (โหมดอินพุท/เอาต์พุทไตรบ)

การทำงานในโหมด 1 มีการตรวจสอบสัญญาณแฮนด์เชกกิ้ง คือเป็นการทำงานระหว่างอุปกรณ์ภายนอกซีพียู และชิป 8255 โดยให้พอร์ต 8255 เป็นตัวกลางในการทำงาน สามารถใช้งานได้ 2 พอร์ต คือพอร์ต A และพอร์ต B เป็นได้ทั้งอินพุทและเอาต์พุท โดยใช้พอร์ต C บน (PC4 - PC7) ทำการตรวจสอบสัญญาณแฮนด์เชกกิ้งของพอร์ต A และใช้พอร์ต C ล่าง (PC0 - PC3) คอยตรวจสอบสัญญาณแฮนด์เชกกิ้งของพอร์ต B



รูปที่ 2.19 แสดงโหมดการทำงานทั้ง 3 พอร์ต และการเชื่อมต่อระบบบัส

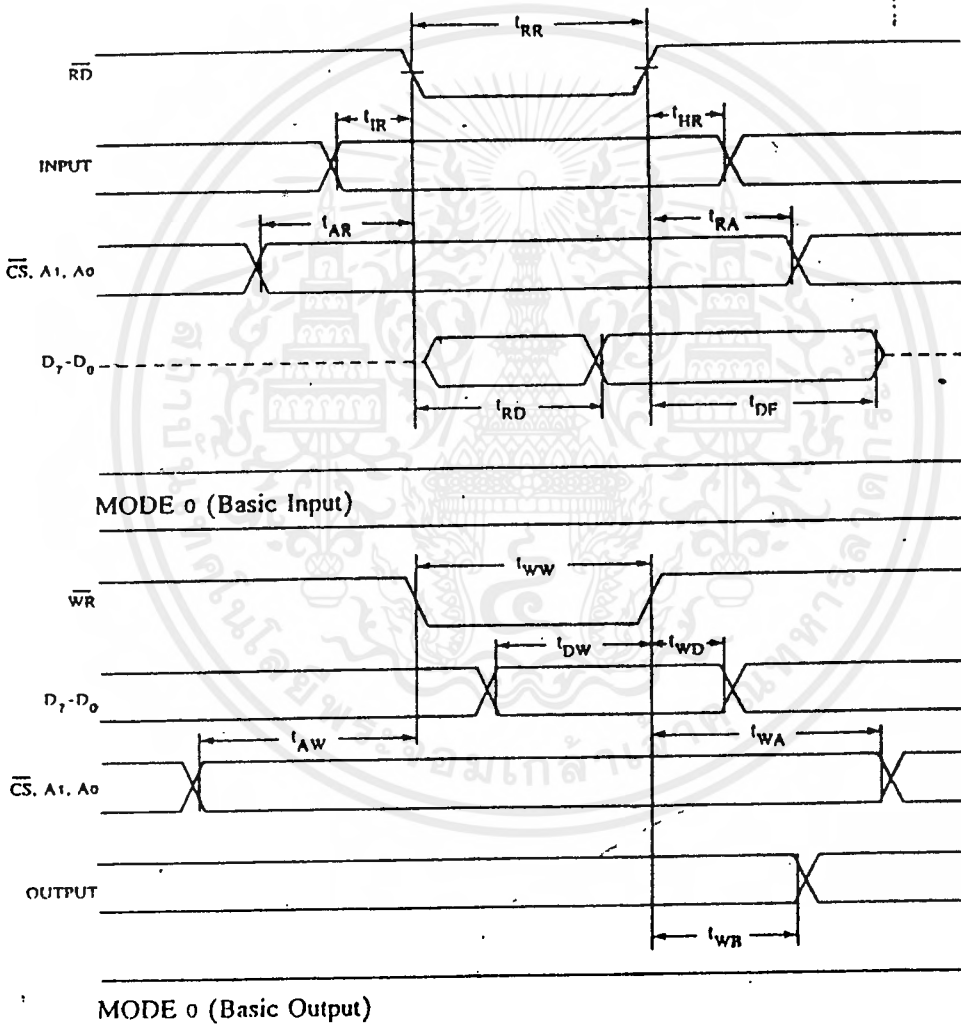
การใช้งาน 8255 ในโหมด 1 นี้ จะมีประโยชน์ในกรณีที่อุปกรณ์ภายนอกไม่สามารถจะทำงานได้เร็วทันการทำงานของซีพียู และเพื่อให้การรับส่งของข้อมูลเป็นไปอย่างถูกต้อง จากรูปที่ 2.21 จะเห็นว่า 8255 ส่งสัญญาณอินเตอร์รัปต์ (INTR) ไปให้ซีพียู เพื่อให้ซีพียูทำการอ่าน หรือเขียนข้อมูลกับอุปกรณ์ภายนอก

เมื่ออุปกรณ์ภายนอกต้องการจะส่งข้อมูลให้ซีพียูส่งสัญญาณ STB (Strobe Input) มาให้ชิป 8255 (รูปที่ 2.22) พร้อมทั้งส่งข้อมูลเข้าไปเก็บไว้ในพอร์ต จากนั้นชิป 8255 จะส่งสัญญาณ IBF (Input Buffer Full) ไปยังอุปกรณ์ภายนอกเพื่อไม่ให้ส่งข้อมูลเข้าไปอีก และ 8255 ก็จะส่งสัญญาณ INTR_B ไปให้ซีพียู จากนั้นซีพียูจะส่ง

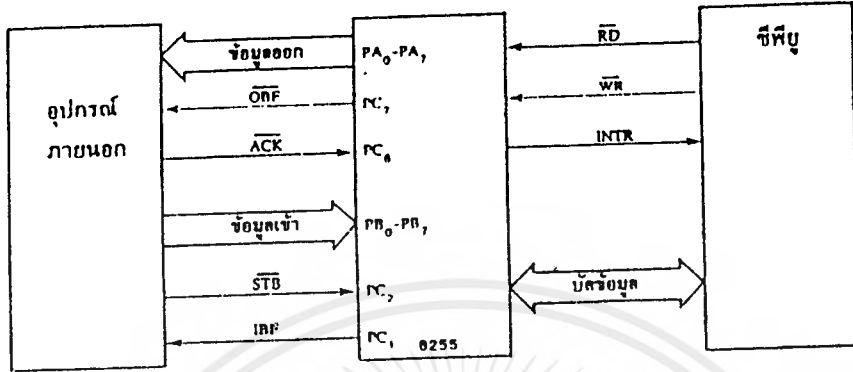
เอกสารนี้เป็นเอกสารที่สงวนไว้สำหรับการใช้งานเพื่อการศึกษาเท่านั้น ไม่อนุญาตให้นำไปใช้ประโยชน์ด้านการค้า ไม่ว่าจะกรณีใดๆ ทั้งสิ้น อีกทั้งห้ามมิให้ดัดแปลงเนื้อหาและต้องอ้างอิงถึงเจ้าของเอกสารทุกครั้งที่มีการนำไปใช้

สัญญาณ RD เพื่อทำการอ่านข้อมูลจากพอร์ต B เมื่ออ่านเสร็จแล้วสัญญาณ INTR_B จะไม่ทำงาน และสัญญาณ IBF จะไม่ทำงานด้วย เป็นการบอกให้อุปกรณ์ภายนอกส่งข้อมูลชุดใหม่มาได้

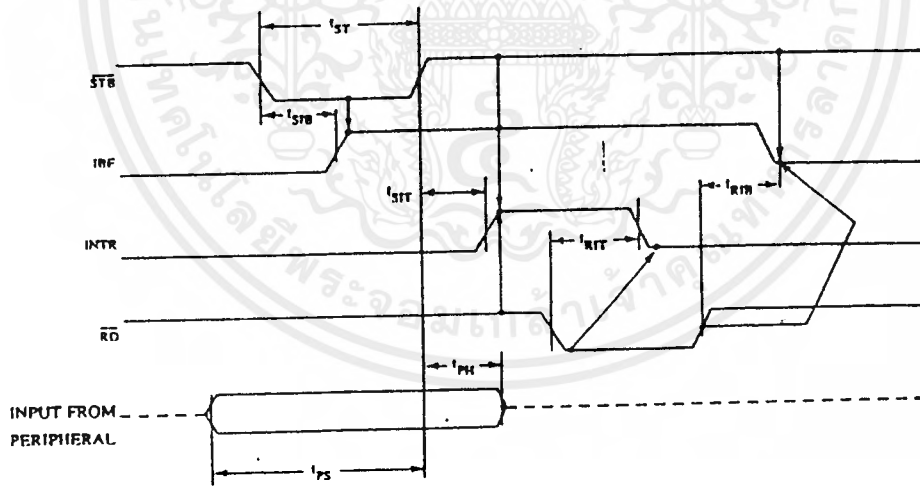
ถ้าซีพียูต้องการจะส่งข้อมูลออกไปให้อุปกรณ์ภายนอกสามารถทำได้โดยส่งสัญญาณ WR ออกมา (รูปที่ 2.23) พร้อมทั้งข้อมูล 8255 จะรับข้อมูลจากซีพียูไว้ในพอร์ต แล้วส่งสัญญาณ OBF (Output Buffer Full) ให้อุปกรณ์ภายนอกรับข้อมูลไปได้ เมื่ออุปกรณ์ภายนอกรับข้อมูลไปแล้วจะส่งสัญญาณ ACK (Acknowledge) ไปให้ 8255 ว่ารับข้อมูลเรียบร้อยแล้ว ทำให้สัญญาณ INTR_A ทำงาน เพื่อให้ซีพียูส่งข้อมูลชุดใหม่ออกไป



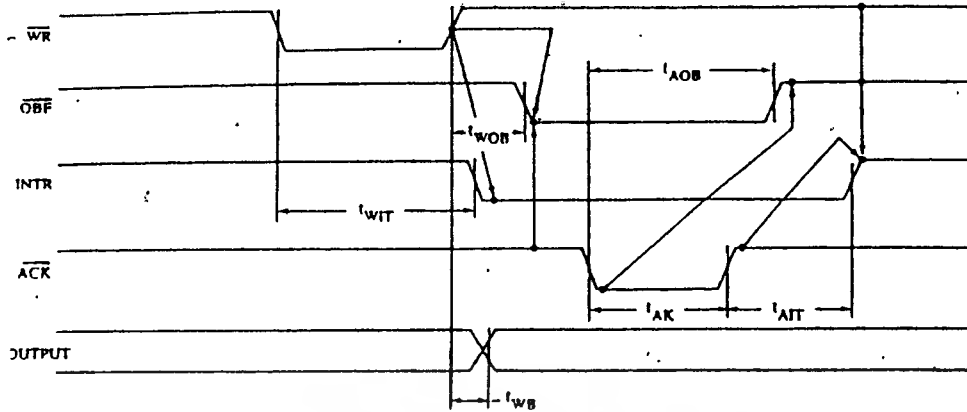
รูปที่ 2.20 แสดงบัสไซเคิลในโหมด 0 ของ 8255



รูปที่ 2.21 แสดงการใช้งานในโหมด 1 ของชิป 8255



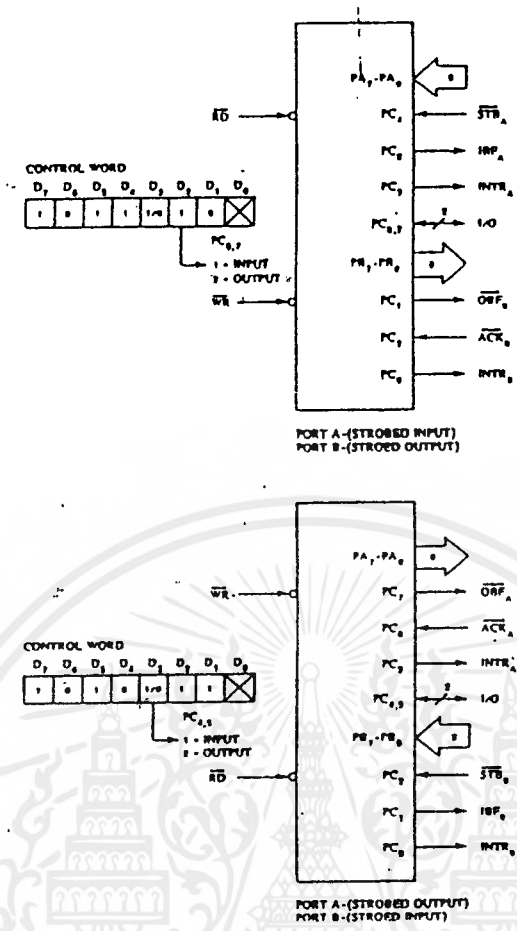
รูปที่ 2.22 แสดงบัลซไคเคลงของการรูปที่แฮนค้เรกกัซณะเป็นอินพุทพอร์ค



รูปที่ 2.23 แสดงบิตไซเคล็ดของการแฮนด์เชกถึงขณะเป็นเอาต์พุทพอร์ต

ตารางที่ 2.3 แสดงหน้าที่สัญญาณของพอร์ต C ในโหมด 1

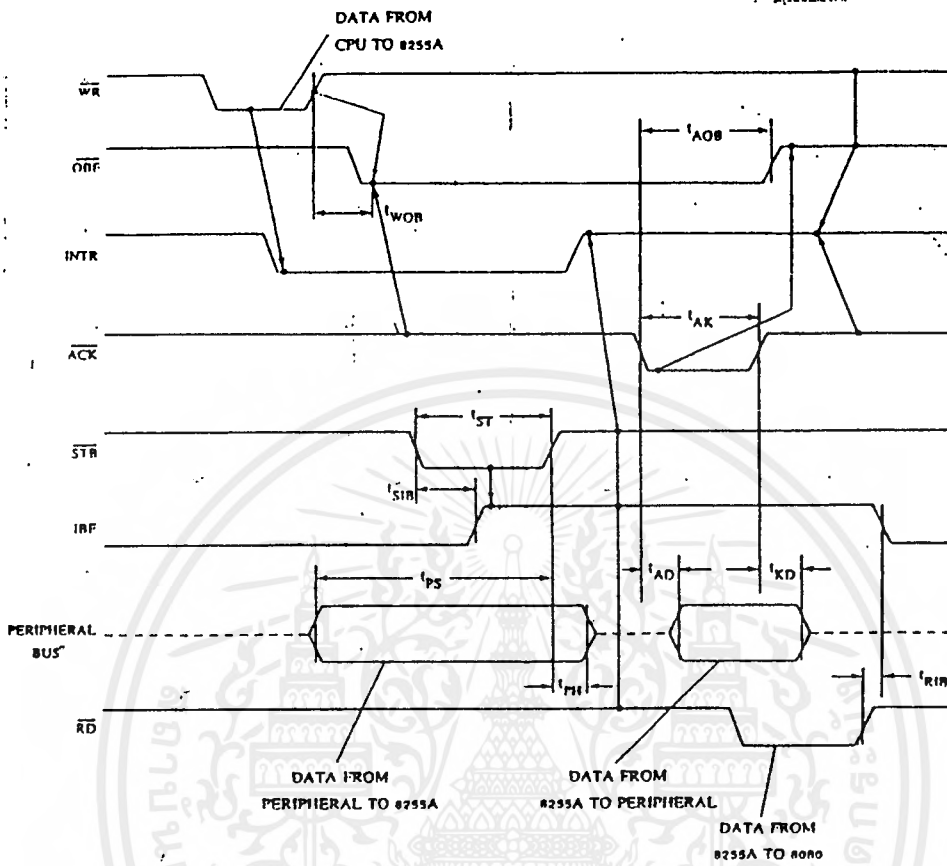
| ขา | อินพุท | เอาต์พุท |
|-----|--------|----------|
| Pc0 | INTRB | INTRB |
| Pc1 | IBFB | OBFB |
| Pc2 | STBB | ACKB |
| Pc3 | INTRA | INTRA |
| Pc4 | STBA | I/O |
| Pc5 | IBFA | I/O |
| Pc6 | I/O | ACKA |
| Pc7 | I/O | OBFA |



รูปที่ 2.24 แสดงการจัดให้พอร์ต A และพอร์ต B เป็นอินพุท/เอาต์พุทพอร์ตในโหมด 1

โหมด 2 (บัสแบบสองทิศทาง)

โหมดสองนี้ยังคงใช้สัญญาณการตรวจสอบแฮนด์เชกกิ้งอยู่ เป็นบัสแบบสองทิศทาง จัดได้เฉพาะพอร์ต A โดยให้พอร์ต A เป็นทั้งอินพุทและเอาต์พุท พอร์ตจะใช้งานเกี่ยวกับการสื่อสารระหว่างอุปกรณ์ 2 ตัวที่สลับกันรับ/ส่งข้อมูล และใช้พอร์ต C ขนาด 5 บิต ในการตรวจสอบสัญญาณ สัญญาณที่เข้า/ออกจากพอร์ต A จะแลตซ์ค่าไว้ด้วย การทำงานจะคล้าย ๆ กับโหมด 1 ของชิป 8255



รูปที่ 2.25 แสดงบัสไซ้เกิดของการแฮนด์เชกกิ้งในโหมด 2

บทที่ 3

การคำนวณ และการทำงานของโปรแกรมตัดเสียงพูด

3.1 โปรแกรมทำงานด้วยเสียง

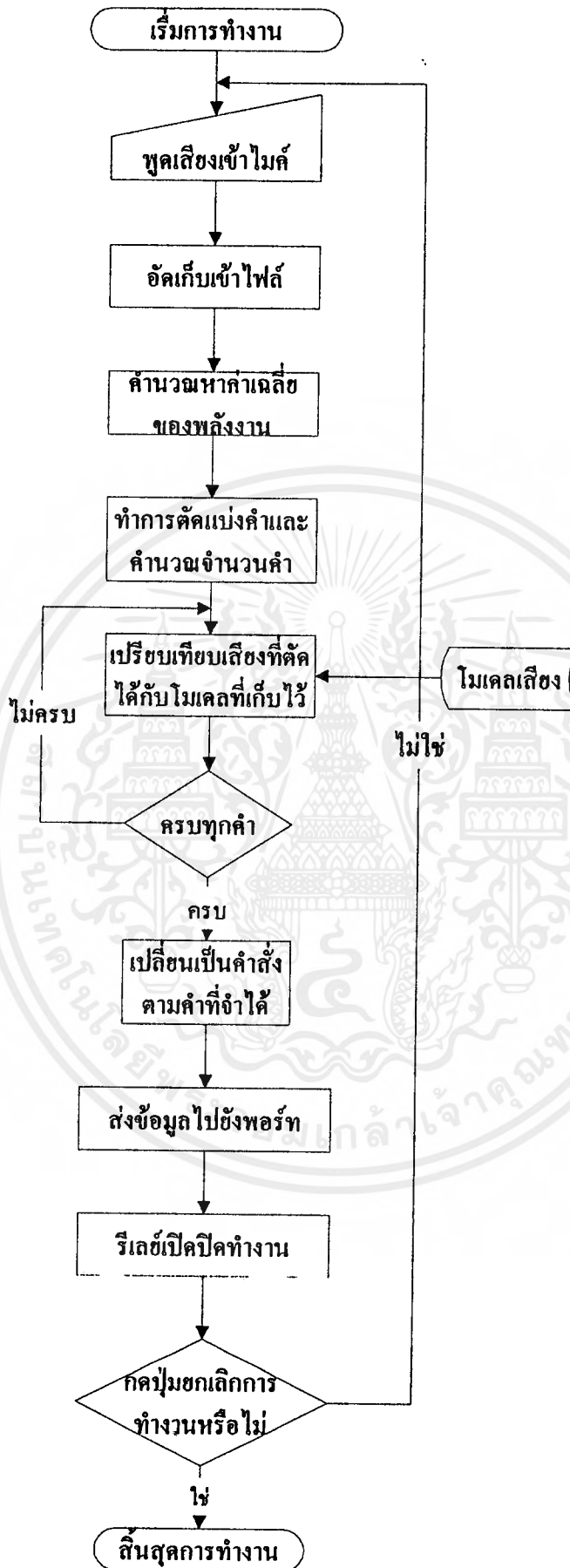
โปรแกรมนี้อาจจะเป็นโปรแกรมที่ใช้งานจริง ในการพูดสัญญาณเสียงผ่านไมโครโฟน ที่ต่ออยู่กับคอมพิวเตอร์ เพื่อที่จะสั่งงานให้ออกพอร์ทต่าง ๆ ซึ่งแสดงแผนผังขั้นตอนการทำงานเอาไว้ตามรูปที่ 3.1 โดยที่ จะสามารถอธิบายขั้นตอนการทำงานของแต่ละขั้นได้ดังนี้

1. เมื่อโปรแกรมนี้อยู่ในสถานะที่ถูกเรียกขึ้นมาใช้งานแล้ว ก็จะต้องทำการพูดเสียงผ่านไมโครโฟนที่ ต่ออยู่กับคอมพิวเตอร์
2. เสียงพูดที่พูดผ่าน ไมโคร โฟนนั่น ก็จะถูกบันทึกเก็บเอาไว้เพื่อที่จะสามารถนำสัญญาณเสียงพูดที่ พูดนั้นสามารถไปทำกระบวนการต่าง ๆ ต่อไปได้
3. เสียงพูดที่ถูกบันทึกเก็บเอาไว้วันั้น จะถูกนำไปหาค่าพลังงาน ในช่วงเวลาสั้น ๆ (short time average Energy)
4. เมื่อได้ค่าพลังงานของสัญญาณเสียงที่พูดเข้าไปแล้ว ก็จะนำค่าพลังงานที่หามาได้ นำไปหาขอบเขต ของค่า เพื่อใช้ในการตัดแบ่งคำออกมา
5. เมื่อสามารถหาขอบเขตของคำได้แล้ว ก็จะนำคำพูดที่บันทึกไว้ไปผ่านกระบวนการ ในการหาโค้ด บู้คอินเล็ก เพื่อที่จะนำไปเปรียบเทียบกับโมเดลเสียงที่ถูกสร้างเอาไว้ล่วงหน้า ว่าตรงกับโมเดลเสียง ของเสียงไหน
6. ทำการเปรียบเทียบเสียงสัญญาณที่บันทึกไว้ จนหมดทุกคำที่แบ่ง
7. สัญญาณเสียงเมื่อผ่านกระบวนการเปรียบเทียบโมเดลเสียงแล้ว ก็จะถูกแปลงเป็นคำสั่ง ตามผลการ เปรียบเทียบของสัญญาณเสียงกับ โมเดลเสียง
8. คำสั่งที่ได้ จะถูกส่งผ่านไปยังการ์ด ออกมายังพอร์ท เพื่อใช้ในการควบคุมให้รีเลย์ทำงานเปิดปิด
9. ถ้าไม่กดปุ่มยกเลิกการทำงาน ก็จะกลับไปเริ่มขั้นตอนรอรับสัญญาณเสียงพูด
10. เมื่อกดปุ่มยกเลิกการทำงานก็เป็นอันว่าจบโปรแกรม

3.2 โปรแกรมหาค่าพลังงานเพื่อใช้ในการกำหนดขอบเขตค่า

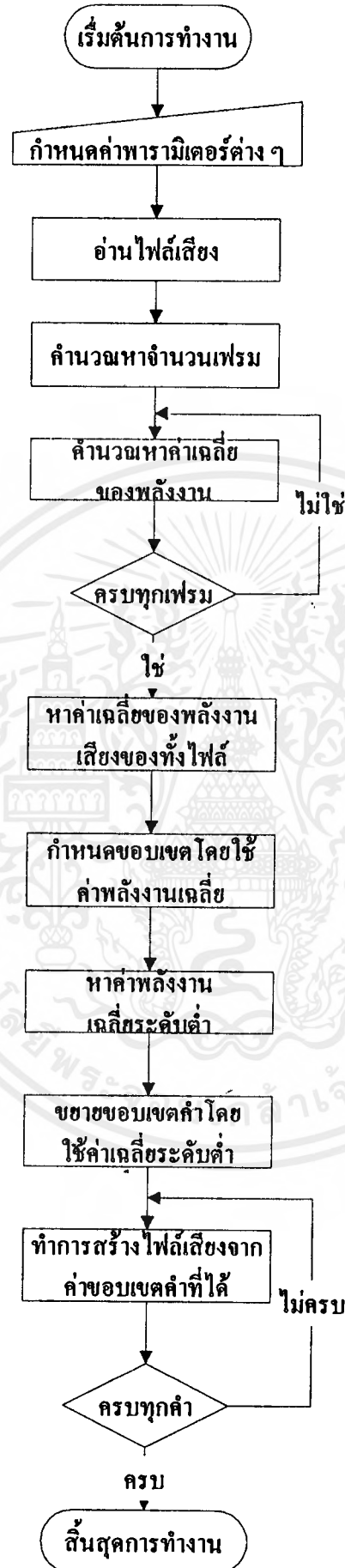
โปรแกรมนี้จะใช้เพื่อหาค่าพลังงาน เพื่อใช้ในการกำหนดขอบเขตค่า โดยมีขั้นตอนซึ่งแสดงตามแผนผังขั้นตอนตามรูปที่ 3.2 โดยมีขั้นตอนดังนี้

1. กำหนดค่าพารามิเตอร์ต่าง ๆ เช่น ขนาดเฟรม ขนาดความกว้างที่ใช้ในการเลื่อนเฟรม โดยค่าพารามิเตอร์จะถูกนำไปใช้ในการหาค่าพลังงานของสัญญาณเสียงที่ป้อนเข้าไป
2. อ่านเพิ่มข้อมูลสัญญาณเสียง
3. คำนวณหาจำนวนเฟรม ว่าในสัญญาณเสียงที่ป้อนเข้ามา ว่ามีทั้งหมดกี่เฟรม
4. คำนวณหาค่าพลังงาน ในแต่ละเฟรม ซึ่งจะต้องทำงานครบทุกเฟรม
5. ทำการหาค่าพลังงานเฉลี่ยจากทั้ง ไฟล์เสียงเพื่อที่จะนำค่าพลังงานเฉลี่ยไปช่วยในการกำหนดขอบเขตค่าอย่างคร่าว ๆ
6. ทำการกำหนดขอบเขตของค่าโดยใช้ค่าพลังงานเฉลี่ยซึ่งการใช้ค่าพลังงานเฉลี่ยในการกำหนดขอบเขตของค่านั้น จะไม่สามารถครอบคลุมขอบเขตค่าได้ทั้งหมด
7. ทำการหาค่าพลังงานเฉลี่ยระดับต่ำ เพื่อช่วยในการขยายขอบเขตค่า ให้สามารถครอบคลุมขอบเขตของค่าได้จนเกือบหมด
8. ทำการขยายขอบเขตของค่าโดยใช้ค่าพลังงานเฉลี่ยระดับต่ำ
9. นำขอบเขตของค่าที่ได้ มาใช้ในการตัดแบ่งค่า และบันทึกเก็บไว้
10. สิ้นสุดการทำงาน



รูปที่ 3.1 แสดงแผนผังการทำงานของ โปรแกรมสั่งงานด้วยเสียง

เอกสารนี้เป็นเอกสารที่สงวนไว้สำหรับการใช้งานเพื่อการศึกษาเท่านั้น ไม่อนุญาตให้นำไปใช้ประโยชน์ด้านการค้า ไม่ว่ากรณีใดๆ ทั้งสิ้น อีกทั้งห้ามมิให้ดัดแปลงเนื้อหาและต้องอ้างอิงถึงเจ้าของเอกสารทุกครั้งที่มีการนำไปใช้



รูปที่ 3.2 แผนผังแสดงขั้นตอนการทำงานของโปรแกรมหาค่าพลังงานเฉลี่ย
เอกสารนี้เป็นเอกสารที่สงวนลิขสิทธิ์ไว้เพื่อใช้ประโยชน์ในการค้า
ไม่ว่ากรณีใดๆ ทั้งสิ้น อีกทั้งห้ามมิให้ดัดแปลงเนื้อหาและต้องอ้างอิงถึงเจ้าของเอกสารทุกครั้งที่มีการนำไปใช้

3.3 โปรแกรมคำนวณหาค่าพิทช์

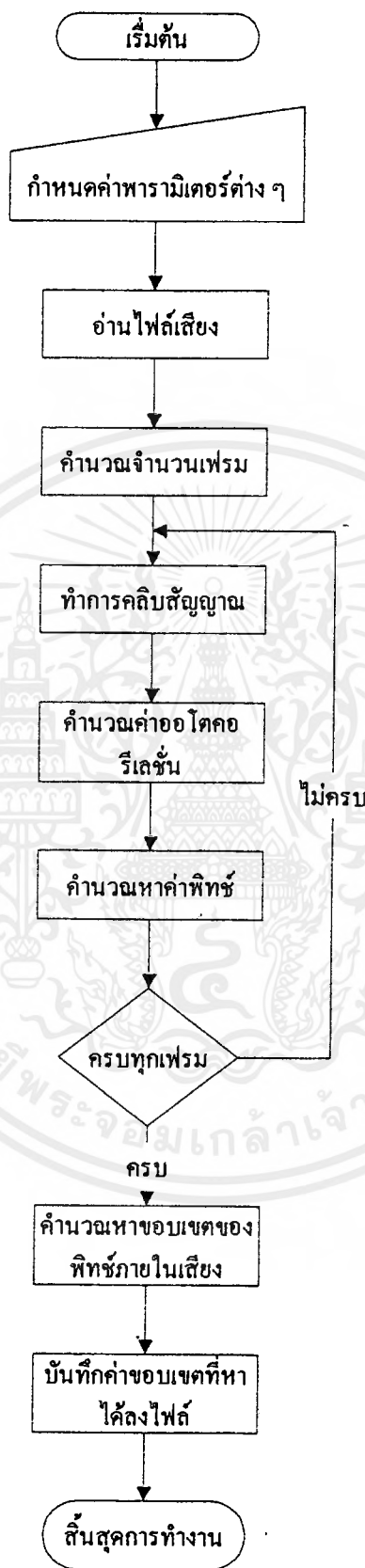
โปรแกรมคำนวณหาค่าพิทช์ เพื่อที่ใช้ในการกำหนดขอบเขตของค่า จะมีแผนผังแสดงการทำงานของโปรแกรมตามรูปที่ 3.3 ซึ่งสามารถอธิบายขั้นตอนต่าง ๆ ได้ดังนี้

1. กำหนดค่าพารามิเตอร์ต่าง ๆ เช่น ค่าระดับสัญญาณที่ใช้ในการคลิก
2. ทำการอ่านเพิ่มข้อมูลสัญญาณเสียง
3. คำนวณหาจำนวนเฟรมทั้งหมด ที่ต้องทำการคำนวณ
4. ทำการคลิกสัญญาณ โดยขั้นตอนนี้จะใช้วิธีการคลิกแบบ 3 ระดับเพราะว่าค่าที่ใช้ในการคำนวณในขั้นตอนต่อไป จะสามารถทำการคำนวณได้ง่าย และรวดเร็วกว่าและผลที่ออกมาที่ชัดเจนคือด้วย ซึ่งจะต้องทำการคลิกจนครบทุกเฟรม
5. ทำการหาค่าออโตคอร์รีเลชั่นทุกเฟรม
6. ทำการหาค่าพิทช์ โดยอาศัยวิธีการตรวจจุดสูงสุด โดยจุดสูงสุดถัดไปจะต้องมีค่ามากกว่าค่า 30 % ของพีคก่อนหน้านี้ ทุกเฟรม
7. นำค่าพิทช์ที่ได้มาตรวจสอบเพื่อหาขอบเขตของสัญญาณเสียง
8. เมื่อได้ขอบเขตของสัญญาณเสียงจากค่าพิทช์ แล้วก็จะนำค่าขอบเขตที่ได้มาทำการบันทึกเก็บลงไฟล์ต่อไป
9. สิ้นสุดการทำงาน

3.4 โปรแกรมหาอัตราเฉลี่ยการตัดศูนย์

โปรแกรมนี้จะใช้เพื่อหาอัตราเฉลี่ยการตัดศูนย์ โดยมีขั้นตอนตามรูปที่ 3.4 โดยอธิบายได้ตามขั้นตอนดังนี้

1. ทำการอ่านเพิ่มข้อมูลสัญญาณเสียง
2. กำหนดขนาดความกว้างของเฟรมที่ใช้สำหรับแบ่งสัญญาณเสียงออกเป็นส่วน ๆ
3. คำนวณหาจำนวนเฟรมที่เกิดขึ้นได้ทั้งหมด จากจำนวนตัวอย่างที่มีอยู่ในสัญญาณเสียง
4. ทำการคำนวณหาอัตราเฉลี่ยการตัดศูนย์
5. ทำการบันทึกเก็บอัตราเฉลี่ยการตัดศูนย์



รูปที่ 3.3 แผนผังแสดงขั้นตอนการทำงานของโปรแกรมคำนวณหาพิทช์

เอกสารนี้เป็นเอกสารที่สงวนไว้สำหรับการใช้งานเพื่อการศึกษาเท่านั้น ไม่อนุญาตให้นำไปใช้ประโยชน์ด้านการค้าไม่ว่ากรณีใดๆ ทั้งสิ้น อีกทั้งห้ามมิให้ดัดแปลงเนื้อหาและต้องอ้างอิงถึงเจ้าของเอกสารทุกครั้งที่มีการนำไปใช้



รูปที่ 3.4 แผนผังแสดงขั้นตอนการทำงานของ โปรแกรมอัตราเฉลี่ยการตัดศูนย์

3.5 โปรแกรมเรียนรู้เสียง หรือสร้างโมเดลเสียง

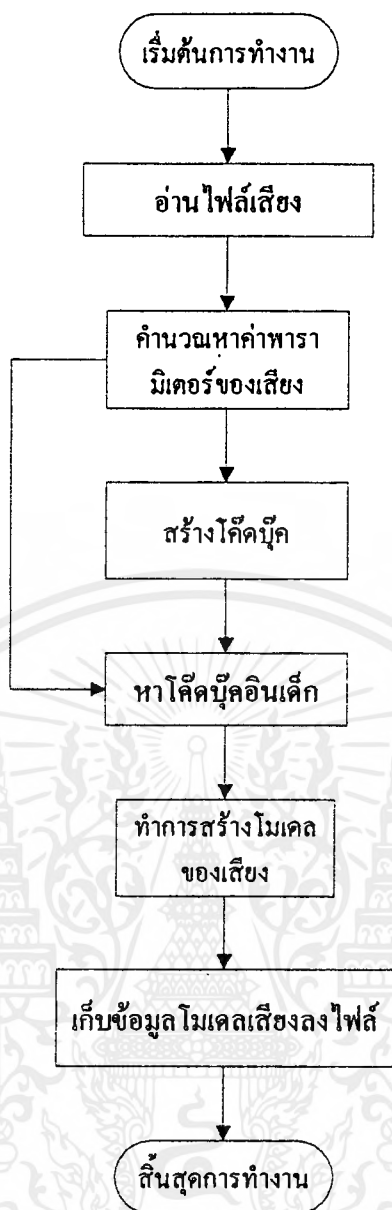
โปรแกรมเรียนรู้เสียง หรือสร้างโมเดลเสียง จะใช้เพื่อในการให้คอมพิวเตอร์เรียนรู้เสียงรู้จักคำ หรือ พยางค์ ๆ ก็คือ เอาไว้สร้างโมเดลของเสียง ซึ่งแผนผังแสดงการทำงานของโปรแกรมสร้างโมเดลเสียงจะแสดง อยู่ในรูปที่ 3.5 ซึ่งสามารถอธิบายเป็นขั้นตอนต่าง ๆ ได้ดังนี้

1. ทำการเก็บรวบรวมสัญญาณเสียงของคำทุกคำ ที่ต้องการเรียนรู้มาเก็บไว้
2. นำข้อมูลเสียงทั้งหมดที่เก็บไว้ในแต่ละกรณี มาทำการหาค่าพารามิเตอร์ ซึ่งจะถูกใช้เป็นตัวแทนของเสียง โดยวิธี Linear Predictive Coding (LPC)
3. นำพารามิเตอร์เสียง ทั้งหมดจากทุกกลุ่มเสียงมาทำการลดจำนวนข้อมูล โดยการใช้วิธีเวกเตอร์ควอนไทเซชัน (Vector Quantization) แล้วจะได้เวกเตอร์ตัวแทนของเสียงที่ระบบสามารถรับรู้ได้ ทั้งหมดออกมา เรียกว่า ไล้คบุค (Code Book)
4. ทำการหาไล้คบุคอินเด็กซ์ (Codebook Index) ของแต่ละกลุ่มเสียง โดยการนำพารามิเตอร์ของเสียงของกลุ่มนั้นๆ มาผ่านขั้นตอนอีกส่วนหนึ่งของการลดข้อมูล (VQ) จะได้ตัวเลขมากกลุ่มหนึ่งที่บอกถึงความสัมพันธ์ของเสียงกลุ่มนั้นๆ กับ ไล้คบุค
5. ทำการสร้างโมเดลของเสียง โดยการนำไล้คบุค ของแต่ละกลุ่มเสียงมาผ่านขั้นตอนการสร้างโมเดลด้วย วิธีฮิดเดินมาร์คอฟโมเดล (Hidden Markov Model (HMM)) เมื่อทำงานครบทุกกลุ่มเสียง ก็จะได้โมเดลครบทุกเสียง
6. สิ้นสุดการทำงาน

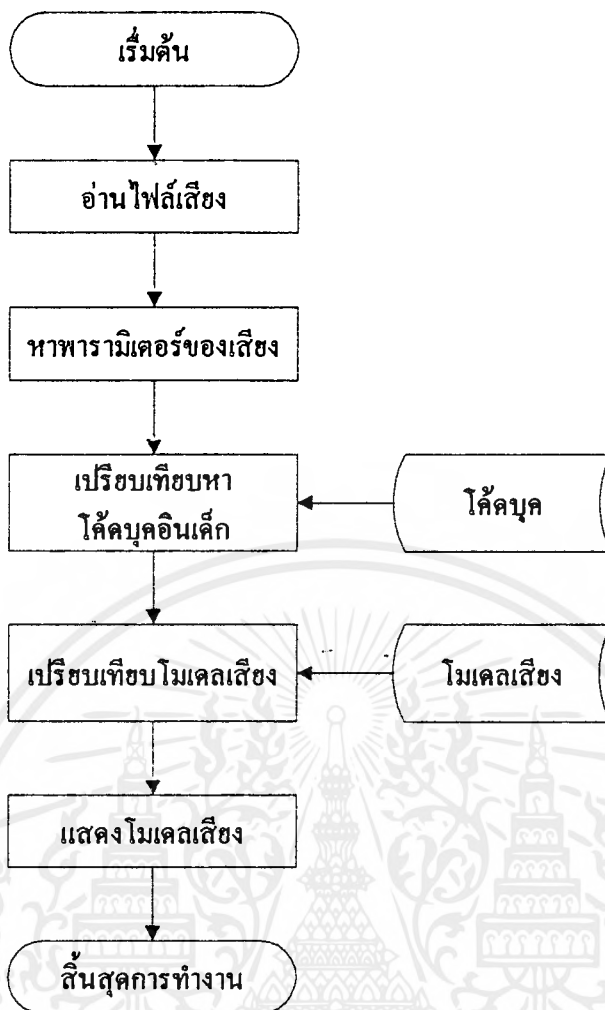
3.6 โปรแกรมวิเคราะห์เสียง

โปรแกรมวิเคราะห์เสียง เป็นโปรแกรมที่ใช้สำหรับในการทดสอบสัญญาณเสียงที่ทำการป้อนเข้าไปว่า เสียงที่ป้อนเข้าไบนั้นน่าจะเป็นเสียงใดในโมเดลมากที่สุด ซึ่งแผนผังแสดงขั้นตอนการทำงานของโปรแกรมนี้นี้จะถูกแสดงอยู่ในรูปที่ 3.6 ซึ่งสามารถอธิบายได้ดังนี้

1. ทำการอ่านสัญญาณเสียงที่จะนำมาทดสอบ
2. นำเสียงที่ต้องการทดสอบ มาผ่านขั้นกระบวนการหาค่าพารามิเตอร์ของเสียง (LPC) จะได้พารามิเตอร์ของเสียงนั้น
3. นำพารามิเตอร์เสียงที่ได้มาเปรียบเทียบกับไล้คบุคที่มีอยู่ก่อนแล้ว จะได้ไล้คบุคอินเด็กซ์
4. นำไล้คบุคอินเด็กซ์ มาเปรียบเทียบกับโมเดลที่เก็บไว้ทั้งหมด ก็จะได้ผลของการเปรียบเทียบของแต่ละคนออกมา ซึ่งถ้าเปรียบเทียบกับโมเดลใดแล้วได้ความน่าจะเป็นสูงสุด ก็จะถือว่าเป็นเสียงที่น่ามาทดสอบนั้นตรงกับโมเดลนั้น
5. สิ้นสุดการทำงาน



รูปที่ 3.5 แผนผังแสดงขั้นตอนของโปรแกรมเรียนรู้เสียง หรือสร้าง โมเดลเสียง



รูปที่ 3.6 แผนผังแสดงขั้นตอนการทำงานของ โปรแกรมวิเคราะห์เสียง

3.7 การสร้างพอร์ตเพื่ออินเตอร์เฟซโดยใช้การ์ด

การอินเตอร์เฟซ หรือการเชื่อมต่อระหว่างไมโครคอมพิวเตอร์ กับอุปกรณ์ภายนอก สามารถสร้างขึ้นได้ โดยใช้ชิป 8255 ทำหน้าที่เป็นพอร์ตอินพุต หรือเอาต์พุต ซึ่งมีระดับ สัญญาณเป็น TTL เช่นกัน จะเป็นการ์ดอินเตอร์เฟซอเนกประสงค์ ซึ่งใช้งานกับไมโครคอมพิวเตอร์ PC/XT/AT ได้ทุกรุ่น ซึ่งจะต้องนำสัญญาณควบคุมบัสข้อมูล แอคเครสบัส สัญญาณรีเซตไฟ VCC กราวด์ของไมโครคอมพิวเตอร์เชื่อมต่อกับการ์ดนี้ให้ถูกต้องเสียก่อน

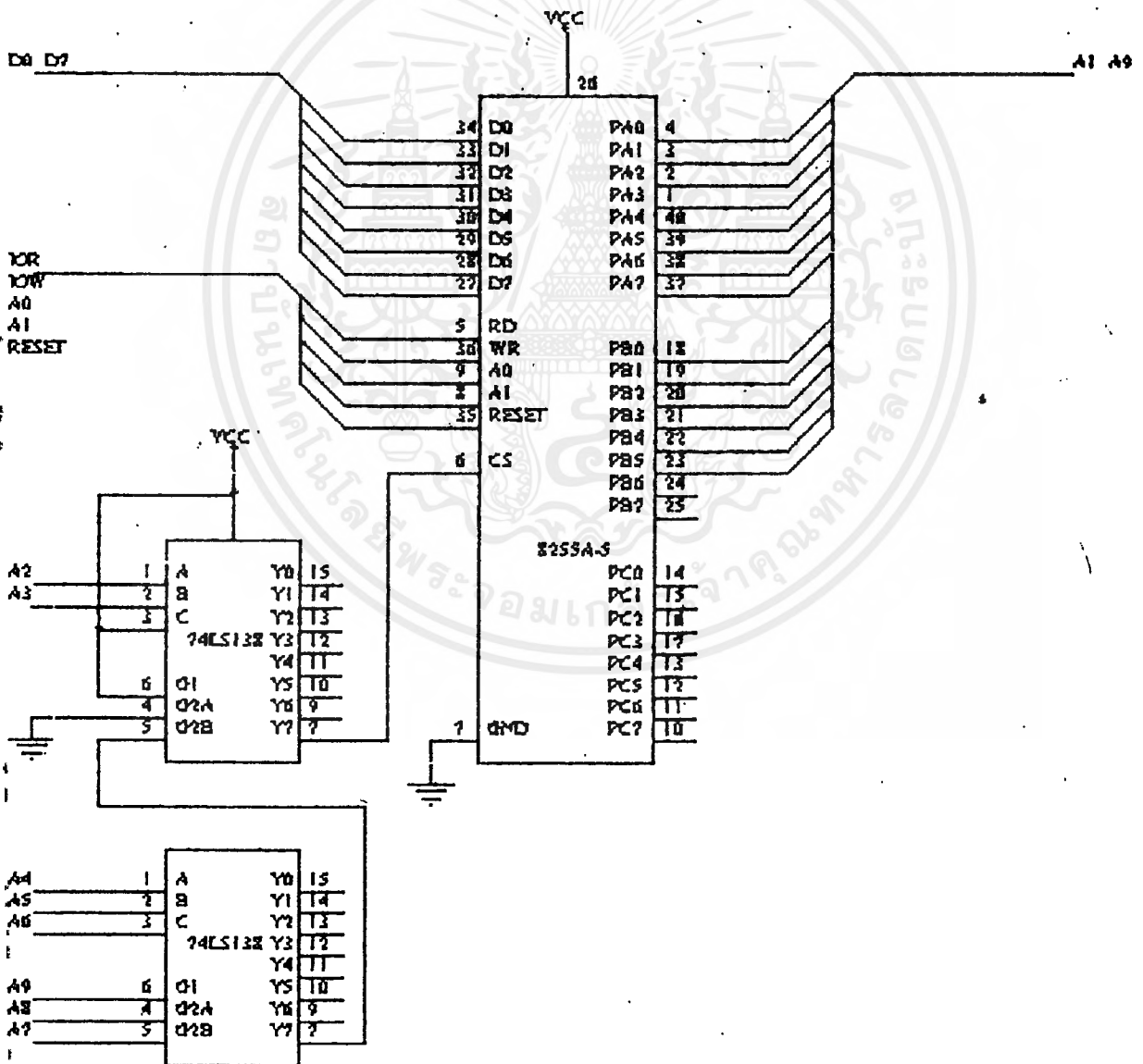
การต่อสายสัญญาณ แอคเครสบัส คาต้าบัส สัญญาณควบคุม และสัญญาณ I/O ควรใช้สายวาวเกลียวข้างละสี่ เพื่อสะดวกในการตรวจเช็ค เมื่อต่อสายสัญญาณต่าง ๆ เสร็จเรียบร้อยแล้ว ควรจะใช้มัลติมิเตอร์วัดสัญญาณต่าง ๆ ที่ต่อไว้ว่าถูกต้องความวงจรหรือไม่ และที่สำคัญระวังอย่าให้ไฟ VCC กับกราวด์ช็อต หรือลัดวงจรเป็นอันขาด เพราะจะทำให้ตัวอุปกรณ์ และเครื่องไมโครคอมพิวเตอร์เสียหาย

จากวงจรรูปที่ 3.7 จะเห็นว่าใช้ 74LS138 ในการถอดรหัส 27X และเมื่อรวม A0-A19 จะได้เป็นหมายเลข 27C-27F ดังตารางที่ 3.1

เอกสารนี้เป็นเอกสารที่สงวนไว้สำหรับการใช้งานเพื่อการศึกษาเท่านั้น ไม่อนุญาตให้นำไปใช้ประโยชน์ด้านการค้าไม่ว่ากรณีใดๆ ทั้งสิ้น อีกทั้งห้ามมิให้ดัดแปลงเนื้อหาและต้องอ้างอิงถึงเจ้าของเอกสารทุกครั้งที่มีการนำไปใช้

ตารางที่ 3.1 แสดงหมายเลขพอร์ตที่ใช้ 74 LS138 ในการถอดรหัส

| A9 | A8 | A7 | A6 | A5 | A4 | A3 | A2 | A1 | A0 | หมายเลขพอร์ต | หมายเหตุ |
|----|-----------------|-----------------|----------------|----------------|----------------|----------------|----------------|----|----|--------------|-------------|
| G1 | G2 _A | G2 _B | C ₂ | B ₂ | A ₂ | B ₁ | A ₁ | | | | |
| 1 | 0 | 0 | 1 | 1 | 1 | 1 | 1 | 0 | 0 | 27C | พอร์ต A |
| 1 | 0 | 0 | 1 | 1 | 1 | 1 | 1 | 0 | 1 | 27D | พอร์ต B |
| 1 | 0 | 0 | 1 | 1 | 1 | 1 | 1 | 1 | 0 | 27E | พอร์ต C |
| 1 | 0 | 0 | 1 | 1 | 1 | 1 | 1 | 1 | 1 | 27F | พอร์ตควบคุม |



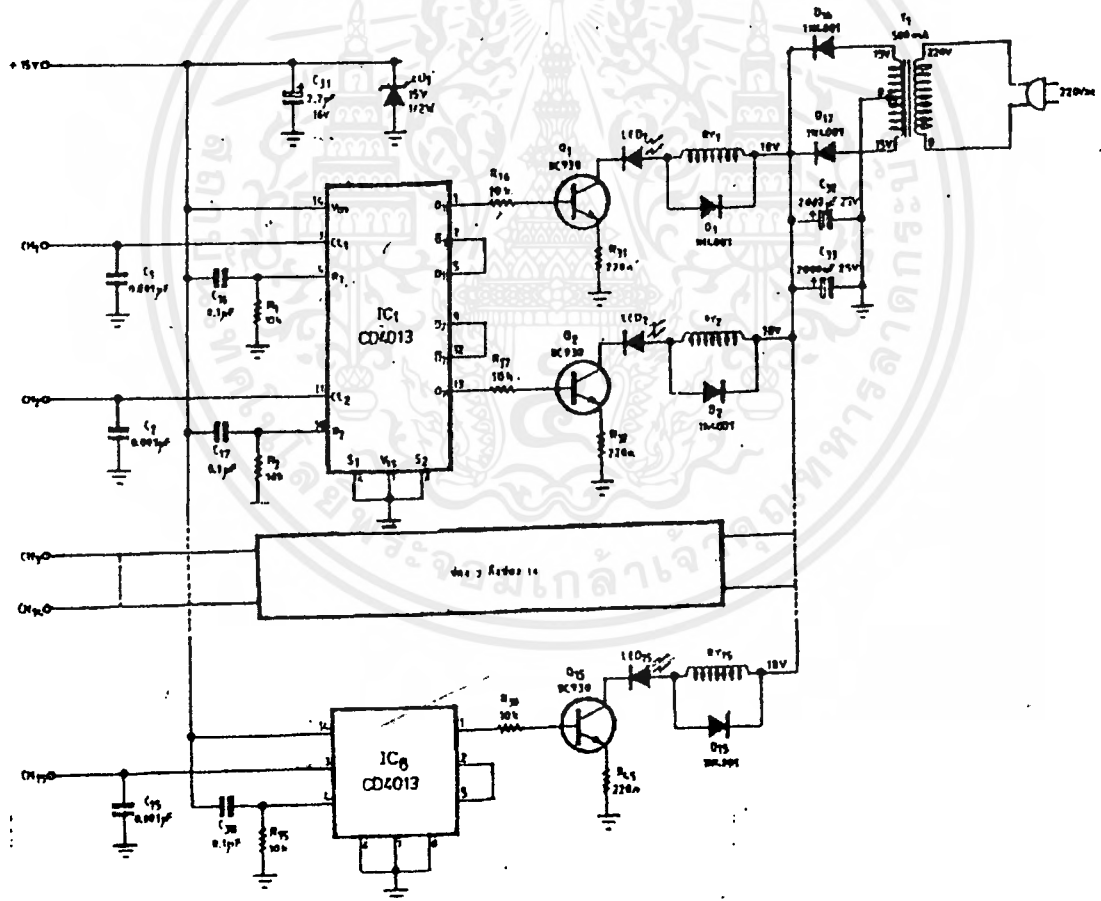
รูปที่ 3.7 วงจรการรหัสที่ใช้อินเทอร์เฟซ

เอกสารนี้เป็นเอกสารที่สงวนไว้สำหรับใช้เฉพาะในหน่วยงานที่อนุญาตให้นำไปใช้ประโยชน์ด้านการค้า
ไม่ว่ากรณีใดๆ ทั้งสิ้น อีกทั้งห้ามมิให้ดัดแปลงเนื้อหาและต้องอ้างอิงถึงเจ้าของเอกสารทุกครั้งที่มีการนำไปใช้

3.8 วงจรขั้วรีเลย์

วงจรในรูปที่ 3.8 ใช้ CD4013 ซึ่งเป็นไอซีฟลิปฟล็อป สามารถขั้วรีเลย์ได้ 2 ตัว ช่องสัญญาณ 14 ช่อง ใช้ CD4013 ทั้งหมด 8 ตัว เมื่อสัญญาณอินพุตช่อง 1 ถูกส่งเข้ามา (ขา 3 ของ CD4013) สัญญาณเอาต์พุตของ ช่องที่ 1 (ขา 1 ของ CD4013) ก็จะให้ไบแอสแก่ Q_1 เบอร์ 2SC930 ทำให้รีเลย์ 1 ทำงาน LED₁ ก็จะสว่างเพื่อ แสดงว่ารีเลย์ 1 ทำงานอยู่ ช่องอื่นๆ ก็เช่นเดียวกัน C_1, C_2 ใส่เพื่อป้องกันสัญญาณรบกวน

ส่วน $T_1, D_{16}, C_{32}, C_{33}, C_{31}, R_{d6}$ และ ZD_1 เป็นส่วนของวงจรแหล่งจ่ายไฟตรงสำหรับภาครับสัญญาณ อินฟราเรด



รูปที่ 3.8 แสดงวงจรภาคขั้วรีเลย์ขั้วรีเลย์จำนวน 14 ช่อง

บทที่ 4

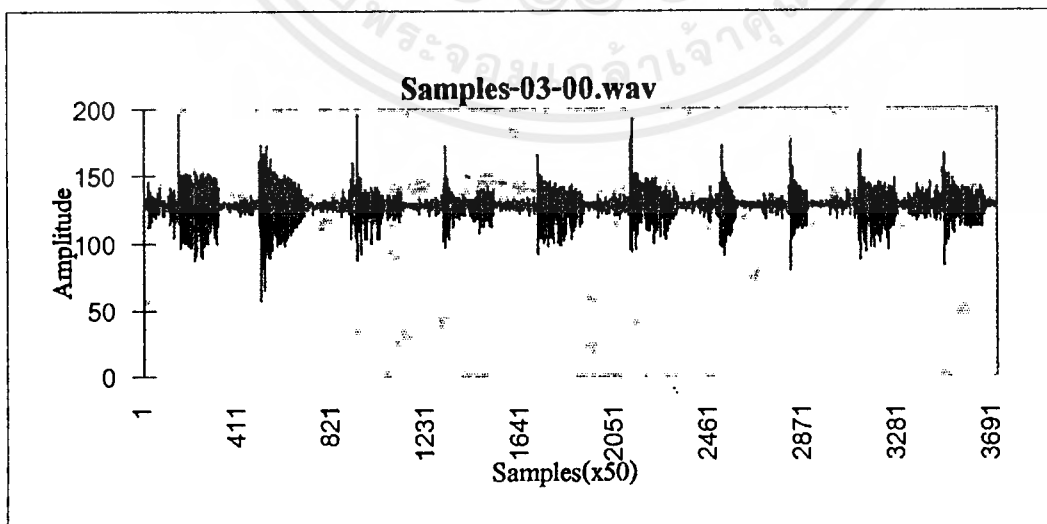
การทดลองและผลการทดลอง

4.1 การทดลองและผลการทดลอง

4.1.1 การทดลองตัดเสียงพูดตัวเลข 0-9

ในการทดลองการตัดคำนี้ จะมีขั้นตอนดังต่อไปนี้

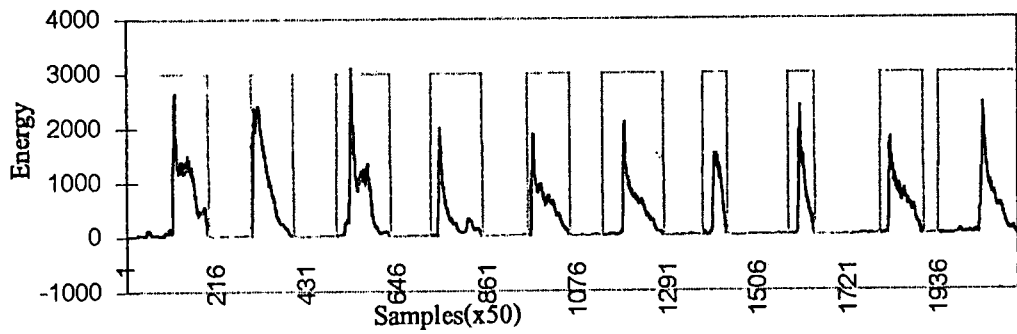
1. ทำการเก็บตัวอย่างเสียงพูด โดยให้แต่ละคนพูดตัวเลข 0-9 คนละ 5 ครั้ง โดยเก็บมาทั้งหมดเป็นจำนวน 10 คน ซึ่งจะทำให้ได้ไฟล์เสียงทั้งหมด 50 ไฟล์ ซึ่งจะมีลักษณะรูปคลื่นตามรูปที่ 4.1
2. นำไฟล์เสียงพูดที่บันทึกเก็บไว้ มาคำนวณหาค่าพลังงานเฉลี่ย โดยใช้โปรแกรมหาค่าพลังงานเฉลี่ยเพื่อหาขอบเขตคำ แล้วนำค่าที่ได้ไปพล็อตเป็นกราฟ ซึ่งลักษณะของกราฟที่เป็นค่าพลังงานเฉลี่ยของเสียงจะเป็นไปตามรูปที่ 4.2
3. นำไฟล์เสียงพูดที่บันทึกเก็บไว้ มาคำนวณหาค่าพิทช์ แล้วนำค่าที่ได้ไปพล็อตเป็นกราฟ ซึ่งลักษณะของกราฟที่แสดงค่าพิทช์ของสัญญาณเสียงพูด 0-9 นั้นจะเป็นไปตามรูปที่ 4.3
4. นำไฟล์เสียงพูดที่บันทึกเก็บไว้ มาคำนวณหาค่าอัตราเฉลี่ยการตัดศูนย์ แล้วนำค่าที่ได้ไปพล็อตเป็นกราฟ จะได้ตามรูปที่ 4.4
5. นำไฟล์เสียงที่ใช้ทำโมเดลค้นแบบมาทดสอบประสิทธิภาพการรู้จำ แล้วบันทึกเป็นตาราง ได้ผลแสดงดังตารางที่ 4.1
6. นำไฟล์เสียงที่ยังไม่ได้ผ่านการตัดคำ มาทดสอบการตัดคำว่าจะมีประสิทธิภาพในการตัดคำเท่าไร บันทึกเป็นตาราง ได้ผลแสดงดังตารางที่ 4.2



รูปที่ 4.1 แสดงรูปคลื่นของเสียงพูด 0-9

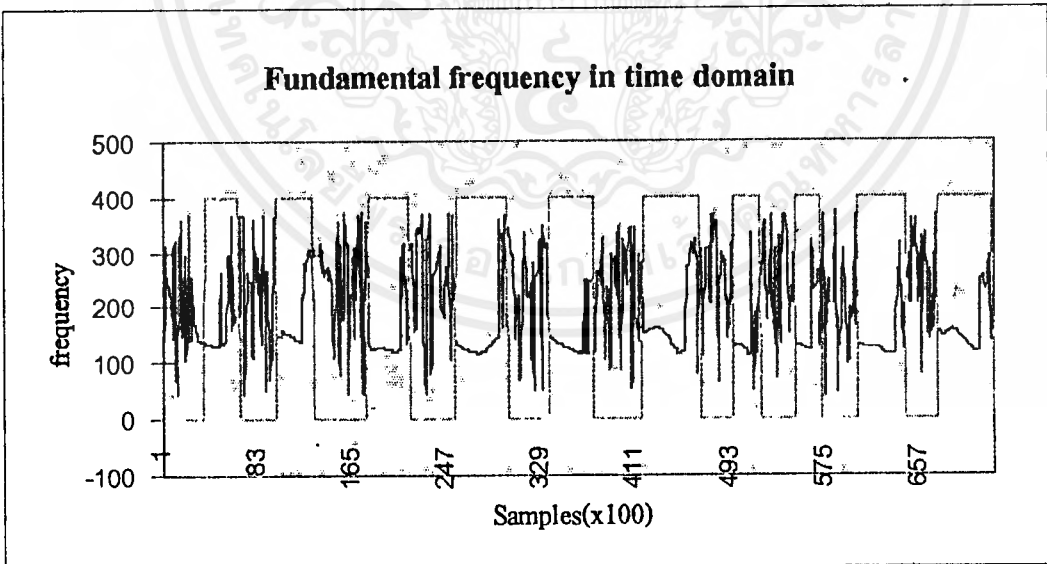
เอกสารนี้เป็นเอกสารที่สงวนไว้สำหรับการใช้งานเพื่อการศึกษาเท่านั้น ไม่อนุญาตให้นำไปใช้ประโยชน์ด้านการค้า.ไม่ว่ากรณีใดๆ ทั้งสิ้น อีกทั้งห้ามมิให้ดัดแปลงเนื้อหาและต้องอ้างอิงถึงเจ้าของเอกสารทุกครั้งที่มีการนำไปใช้

Energy level in time domain



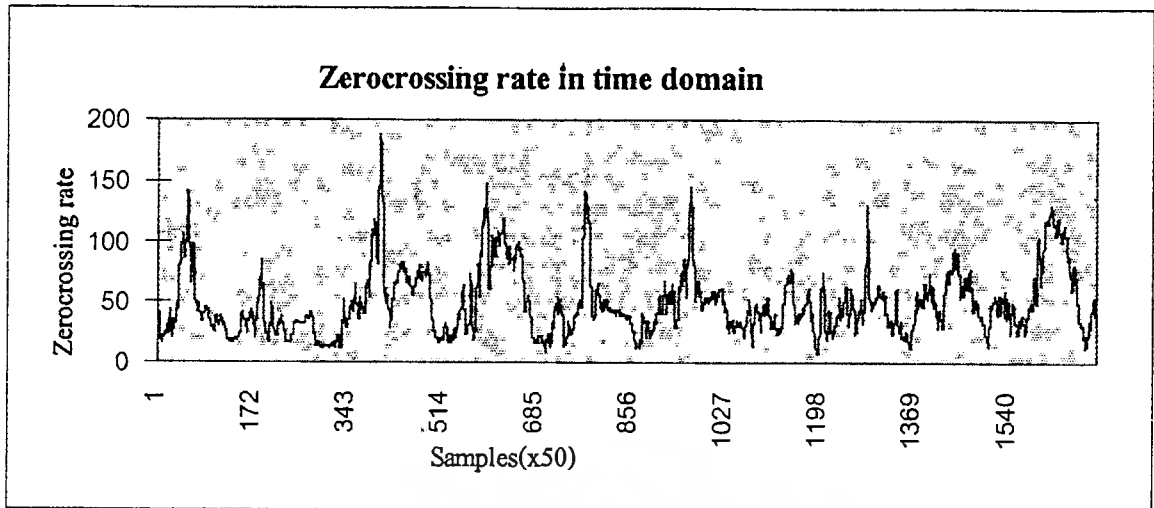
รูปที่ 4.2 แสดงรูปค่าพลังงานเฉลี่ยของเสียงพูด 0-9 ของผู้ชาย

Fundamental frequency in time domain



รูปที่ 4.3 แสดงค่าความถี่พิทช์ของเสียงพูด 0-9

เอกสารนี้เป็นเอกสารที่สงวนไว้สำหรับการใช้งานเพื่อการศึกษาเท่านั้น ไม่อนุญาตให้นำไปใช้ประโยชน์ด้านการค้า ไม่ว่ากรณีใดๆ ทั้งสิ้น อีกทั้งห้ามมิให้ตัดแปลงเนื้อหาและต้องอ้างอิงถึงเจ้าของเอกสารทุกครั้งที่มีการนำไปใช้



รูปที่ 4.4 แสดงค่าอัตราเฉลี่ยการตัดศูนย์ของเสียงพูด 0-9 ของผู้ชาย

ตารางที่ 4.1 แสดงประสิทธิภาพของเสียงต้นแบบในการวิเคราะห์เสียง

| | เสียงที่จำได้ | | | | | | | | | | % เสียงที่ป้อน |
|---|---------------|----|----|----|----|----|----|----|----|----|-------------------|
| | 1 | 2 | 3 | 4 | 5 | 6 | 7 | 8 | 9 | 0 | |
| 1 | 46 | 1 | 0 | 0 | 0 | 2 | 0 | 1 | 0 | 0 | 92 |
| 2 | 0 | 39 | 1 | 0 | 0 | 3 | 0 | 5 | 0 | 2 | 78 |
| 3 | 2 | 1 | 34 | 0 | 2 | 0 | 0 | 6 | 5 | 0 | 68 |
| 4 | 0 | 1 | 0 | 47 | 0 | 0 | 0 | 0 | 0 | 2 | 94 |
| 5 | 3 | 0 | 5 | 0 | 35 | 0 | 0 | 6 | 1 | 0 | 70 |
| 6 | 0 | 4 | 0 | 0 | 0 | 43 | 0 | 0 | 0 | 3 | 86 |
| 7 | 8 | 1 | 0 | 3 | 1 | 1 | 34 | 1 | 1 | 1 | 68 |
| 8 | 0 | 0 | 0 | 0 | 1 | 0 | 1 | 47 | 1 | 0 | 94 |
| 9 | 3 | 1 | 3 | 0 | 2 | 0 | 0 | 3 | 38 | 0 | 76 |
| 0 | 0 | 8 | 0 | 1 | 0 | 2 | 3 | 0 | 0 | 36 | 72 |

ตารางที่ 4.2 แสดงประสิทธิภาพในการตัดตัวเลข 0-9

| ชื่อ ไฟล์ | จำนวนค่าจริง | จำนวนค่าที่ตัดได้ | ความผิดพลาดในการตัด |
|------------------|--------------|-------------------|---------------------|
| sample-00-00.wav | 10 | 11 | 1 |
| sample-00-01.wav | 10 | 14 | 4 |
| sample-00-02.wav | 10 | 14 | 4 |
| sample-00-03.wav | 10 | 10 | 0 |
| sample-00-04.wav | 10 | 11 | 1 |
| sample-01-00.wav | 10 | 10 | 0 |
| sample-01-01.wav | 10 | 10 | 0 |
| sample-01-02.wav | 10 | 10 | 0 |
| sample-01-03.wav | 10 | 10 | 0 |
| sample-01-04.wav | 10 | 10 | 0 |
| sample-02-00.wav | 10 | 11 | 1 |
| sample-02-01.wav | 10 | 12 | 2 |
| sample-02-02.wav | 10 | 10 | 0 |
| sample-02-03.wav | 10 | 10 | 0 |
| sample-02-04.wav | 10 | 12 | 2 |
| sample-03-00.wav | 10 | 10 | 0 |
| sample-03-01.wav | 10 | 12 | 2 |
| sample-03-02.wav | 10 | 12 | 2 |
| sample-03-03.wav | 10 | 10 | 0 |
| sample-03-04.wav | 10 | 10 | 0 |
| sample-04-00.wav | 10 | 13 | 3 |
| sample-04-01.wav | 10 | 10 | 0 |
| sample-04-02.wav | 10 | 10 | 0 |
| sample-04-03.wav | 10 | 11 | 1 |
| sample-04-04.wav | 10 | 14 | 4 |
| sample-05-00.wav | 10 | 10 | 0 |
| sample-05-01.wav | 10 | 15 | 5 |
| sample-05-02.wav | 10 | 13 | 3 |
| sample-05-03.wav | 10 | 13 | 3 |
| sample-05-04.wav | 10 | 14 | 4 |

เอกสารนี้เป็นเอกสารที่สงวนไว้สำหรับการใช้งานเพื่อการศึกษาเท่านั้น ไม่อนุญาตให้นำไปใช้ประโยชน์ด้านการค้า
ไม่ว่ากรณีใดๆ ทั้งสิ้น อีกทั้งห้ามมิให้ดัดแปลงเนื้อหาและต้องอ้างอิงถึงเจ้าของเอกสารทุกครั้งที่มีการนำไปใช้

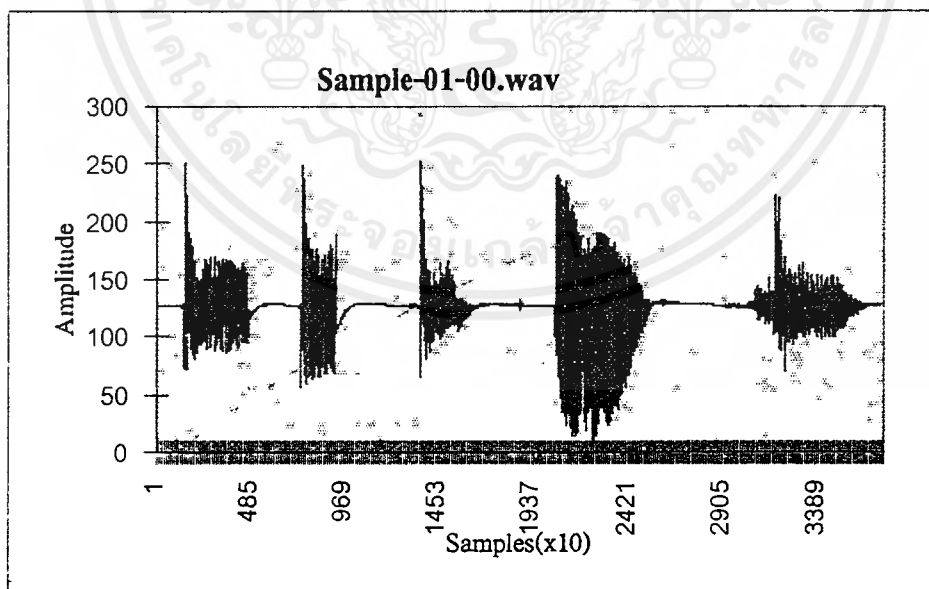
| ชื่อไฟล์ | จำนวนคำจริง | จำนวนคำที่ตัดได้ | ความผิดพลาดในการตัด |
|---------------------------------------|-------------|------------------|---------------------|
| sample-06-00.wav | 10 | 11 | 1 |
| sample-06-01.wav | 10 | 11 | 1 |
| sample-06-02.wav | 10 | 14 | 4 |
| sample-06-03.wav | 10 | 13 | 3 |
| sample-06-04.wav | 10 | 10 | 0 |
| sample-07-00.wav | 10 | 12 | 2 |
| sample-07-01.wav | 10 | 14 | 4 |
| sample-07-02.wav | 10 | 11 | 1 |
| sample-07-03.wav | 10 | 10 | 0 |
| sample-07-04.wav | 10 | 12 | 2 |
| sample-08-00.wav | 10 | 11 | 1 |
| sample-08-01.wav | 10 | 10 | 0 |
| sample-08-02.wav | 10 | 11 | 1 |
| sample-08-03.wav | 10 | 10 | 0 |
| sample-08-04.wav | 10 | 11 | 1 |
| sample-09-00.wav | 10 | 10 | 0 |
| sample-09-01.wav | 10 | 10 | 0 |
| sample-09-02.wav | 10 | 10 | 0 |
| sample-09-03.wav | 10 | 11 | 1 |
| sample-09-04.wav | 10 | 11 | 1 |
| รวมทุกไฟล์ | 500 | 565 | 65 |
| เปอร์เซ็นต์ความผิดพลาดในการตัด | | 13% | |

เอกสารนี้เป็นเอกสารที่สงวนไว้สำหรับการใช้งานเพื่อการศึกษาเท่านั้น ไม่อนุญาตให้นำไปใช้ประโยชน์ด้านการค้า
ไม่ว่ากรณีใดๆ ทั้งสิ้น อีกทั้งห้ามมิให้ดัดแปลงเนื้อหาและต้องอ้างอิงถึงเจ้าของเอกสารทุกครั้งที่มีการนำไปใช้

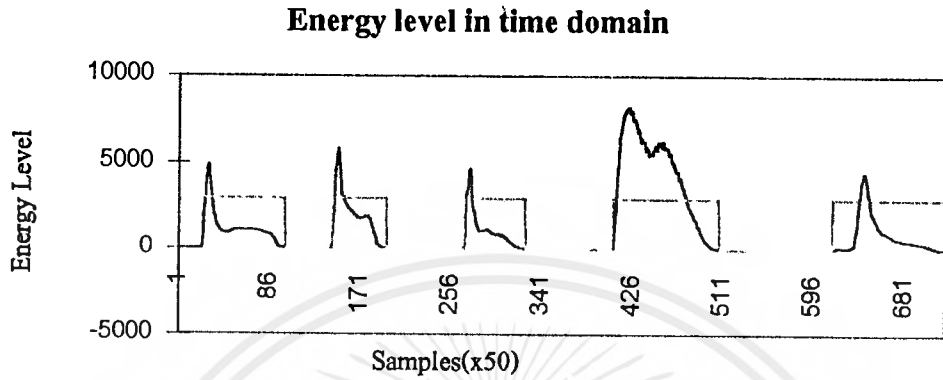
4.1.2 การทดลองตัดเสียงพูดคำทั่วไป

ในการทดลองการตัดคำนี้ จะมีขั้นตอนดังต่อไปนี้

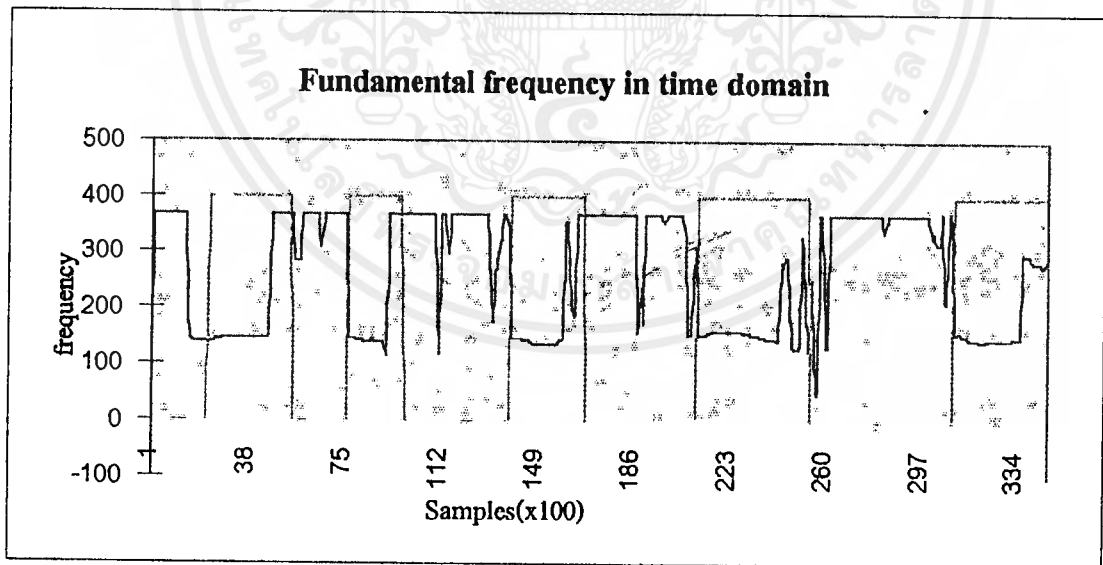
1. ทำการเก็บตัวอย่างเสียงพูด โดยให้แต่ละคนพูดคำว่า “เปิด” “ปิด” “ประ” “ดู” “ไฟ” คนละ 5 ครั้ง โดยเก็บมาทั้งหมดเป็นจำนวน 10 คน ซึ่งจะทำได้ไฟล์เสียงทั้งหมด 50 ไฟล์ ซึ่งจะมีลักษณะรูปคลื่นตามรูปที่ 4.5
2. นำไฟล์เสียงพูดที่บันทึกเก็บไว้ มาคำนวณหาค่าพลังงาน โดยใช้โปรแกรมหาค่าพลังงานเพื่อหาขอบเขตคำ แล้วนำค่าที่ได้ไปพล็อตเป็นกราฟ ซึ่งลักษณะของกราฟที่เป็นค่าพลังงานของเสียงจะเป็นไปตามรูปที่ 4.6
3. นำไฟล์เสียงพูดที่บันทึกเก็บไว้ มาคำนวณหาค่าพิทช์ แล้วนำค่าที่ได้ไปพล็อตเป็นกราฟ ซึ่งลักษณะของกราฟ ที่แสดงค่าพิทช์ของสัญญาณเสียงพูดนั้นจะเป็นไปตามรูปที่ 4.7
4. นำไฟล์เสียงพูดที่บันทึกเก็บไว้ มาคำนวณหาค่าอัตราเฉลี่ยการตัดศูนย์ แล้วนำค่าที่ได้ไปพล็อตเป็นกราฟ จะได้ตามรูปที่ 4.8
5. นำไฟล์เสียงที่ใช้ทำโมเดลค้นแบบทดสอบประสิทธิภาพการรู้จำ แล้วบันทึกเป็นตาราง ได้ผลแสดงดังตารางที่ 4.3
6. นำไฟล์เสียงที่ยังไม่ได้ผ่านการตัดคำ มาทดสอบการตัดคำว่าจะมีประสิทธิภาพในการตัดคำเท่าไร บันทึกเป็นตาราง ได้ผลแสดงดังตารางที่ 4.4



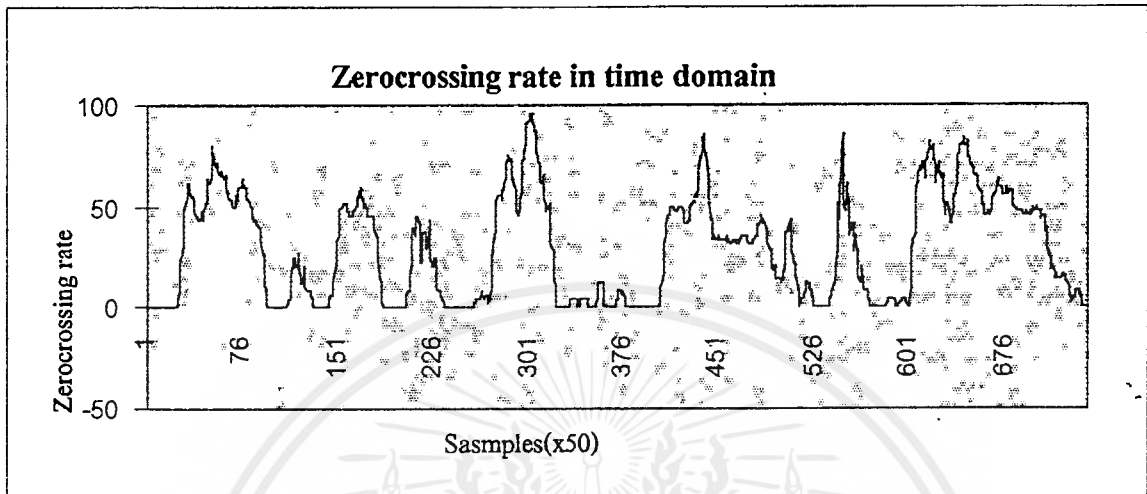
รูปที่ 4.5 แสดงรูปคลื่นสัญญาณเสียงพูดคำทั่วไป



รูปที่ 4.6 แสดงรูปค่าพลังงานเฉลี่ยของคำพูดทั่วไป



รูปที่ 4.7 แสดงค่าพิทช์ของคำพูดทั่วไป



รูปที่ 4.8 แสดงอัตราเฉลี่ยการตัดศูนย์ของคำทั่วไป

ตารางที่ 4.3 แสดงประสิทธิภาพของการวิเคราะห์เสียงของโมเดลเสียงต้นแบบ

| | เสียงที่จำได้ | | | | | | |
|--------------|---------------|-----|-----|----|----|----|-----|
| | เปิด | ปิด | ประ | ฐ | ไฟ | % | |
| เสียงที่ป้อน | เปิด | 45 | 2 | 0 | 3 | 0 | 90 |
| | ปิด | 0 | 50 | 0 | 0 | 0 | 100 |
| | ประ | 3 | 0 | 46 | 0 | 1 | 92 |
| | ฐ | 0 | 0 | 1 | 49 | 0 | 98 |
| | ไฟ | 0 | 0 | 0 | 1 | 49 | 98 |

ตารางที่ 4.4 แสดงประสิทธิภาพการตัดเสียงของคำทั่วไป

| ชื่อไฟล์ | จำนวนคำจริง | จำนวนคำที่ตัดได้ | ความผิดพลาดในการตัด |
|------------------|-------------|------------------|---------------------|
| sample-00-00.wav | 5 | 4 | 2 |
| sample-00-01.wav | 5 | 5 | 0 |
| sample-00-02.wav | 5 | 5 | 0 |
| sample-00-03.wav | 5 | 5 | 0 |
| sample-00-04.wav | 5 | 4 | 2 |
| sample-01-00.wav | 5 | 5 | 0 |
| sample-01-01.wav | 5 | 5 | 0 |
| sample-01-02.wav | 5 | 5 | 0 |
| sample-01-03.wav | 5 | 5 | 0 |
| sample-01-04.wav | 5 | 5 | 0 |
| sample-02-00.wav | 5 | 4 | 2 |
| sample-02-01.wav | 5 | 5 | 0 |
| sample-02-02.wav | 5 | 5 | 0 |
| sample-02-03.wav | 5 | 5 | 0 |
| sample-02-04.wav | 5 | 5 | 0 |
| sample-03-00.wav | 5 | 5 | 0 |
| sample-03-01.wav | 5 | 5 | 0 |
| sample-03-02.wav | 5 | 5 | 0 |
| sample-03-03.wav | 5 | 6 | 1 |
| sample-03-04.wav | 5 | 5 | 0 |
| sample-04-00.wav | 5 | 5 | 0 |
| sample-04-01.wav | 5 | 5 | 0 |
| sample-04-02.wav | 5 | 5 | 0 |
| sample-04-03.wav | 5 | 5 | 0 |
| sample-04-04.wav | 5 | 5 | 0 |
| sample-05-00.wav | 5 | 5 | 0 |
| sample-05-01.wav | 5 | 5 | 0 |
| sample-05-02.wav | 5 | 5 | 0 |
| sample-05-03.wav | 5 | 5 | 0 |
| sample-05-04.wav | 5 | 5 | 0 |

เอกสารนี้เป็นเอกสารที่สงวนไว้สำหรับการใช้งานเพื่อการศึกษาเท่านั้น ไม่อนุญาตให้นำไปใช้ประโยชน์ด้านการค้า
ไม่ว่ากรณีใดๆ ทั้งสิ้น อีกทั้งห้ามมิให้ดัดแปลงเนื้อหาและต้องอ้างอิงถึงเจ้าของเอกสารทุกครั้งที่มีการนำไปใช้

| ชื่อไฟล์ | จำนวนคำจริง | จำนวนคำที่ตัดได้ | ความผิดพลาดในการตัด |
|---------------------------------------|-------------|------------------|---------------------|
| sample-06-00.wav | 5 | 5 | 0 |
| sample-06-01.wav | 5 | 5 | 0 |
| sample-06-02.wav | 5 | 5 | 0 |
| sample-06-03.wav | 5 | 5 | 0 |
| sample-06-04.wav | 5 | 5 | 0 |
| sample-07-00.wav | 5 | 4 | 2 |
| sample-07-01.wav | 5 | 5 | 0 |
| sample-07-02.wav | 5 | 4 | 2 |
| sample-07-03.wav | 5 | 6 | 1 |
| sample-07-04.wav | 5 | 4 | 2 |
| sample-08-00.wav | 5 | 4 | 2 |
| sample-08-01.wav | 5 | 6 | 1 |
| sample-08-02.wav | 5 | 5 | 0 |
| sample-08-03.wav | 5 | 4 | 2 |
| sample-08-04.wav | 5 | 4 | 2 |
| sample-09-00.wav | 5 | 4 | 2 |
| sample-09-01.wav | 5 | 4 | 2 |
| sample-09-02.wav | 5 | 4 | 2 |
| sample-09-03.wav | 5 | 5 | 0 |
| sample-09-04.wav | 5 | 4 | 2 |
| รวมทุกไฟล์ | 250 | 240 | 29 |
| เปอร์เซ็นต์ความผิดพลาดในการตัด | | 11.6% | |
| ตัดขาด 1 คำเท่ากับ หายไป 2 คำ | | | |

เอกสารนี้เป็นเอกสารที่สงวนไว้สำหรับการใช้งานเพื่อการศึกษาเท่านั้น ไม่อนุญาตให้นำไปใช้ประโยชน์ด้านการค้า
ไม่ว่ากรณีใดๆ ทั้งสิ้น อีกทั้งห้ามมิให้ดัดแปลงเนื้อหาและต้องอ้างอิงถึงเจ้าของเอกสารทุกครั้งที่มีการนำไปใช้

บทที่ 5

สรุปผลการทดลองและข้อเสนอแนะ

5.1 สรุปผลการทดลอง และข้อเสนอแนะ

จุดสำคัญในการวิเคราะห์เสียง เพื่อใช้ในการรู้จำเสียงนั้น ประการหนึ่งคือ การสร้างโมเดลเสียง ถ้าเสียงที่ใช้ในการสร้าง โมเดลเสียงมีจำนวนมาก และแต่ละเสียงเป็นเสียงที่ถูกเก็บมาจากสภาพแวดล้อมที่ดีแล้ว จะทำให้อัตราการรู้จำของเสียงมีความถูกต้องมากยิ่งขึ้น อีกประการหนึ่งที่สำคัญมากไม่แพ้กันคือ การตัดแบ่งประโยคออกเป็นคำให้ได้ถูกต้อง เนื่องจากถึงแม้ว่าตัวรู้จำเสียง และโมเดลเสียงจะมีคุณสมบัติเพียงใด แต่ถ้าเสียงที่เป็นสัญญาณป้อนเข้าของตัวรู้จำเสียงไม่ได้ตัดแบ่งคำอย่างถูกต้องแล้ว ผลของการรู้จำเสียง ก็จะไม่มีความถูกต้องได้เลย

การทำปริญญานิพนธ์ฉบับนี้ ส่วนมากจะเกี่ยวข้องกับการเขียน โปรแกรม ซึ่งโปรแกรมจะประกอบด้วย 3 ส่วนคือ

1. ส่วนคำนวณค่าพารามิเตอร์ที่ใช้ในการตัดคำ คือ ค่าพลังงานเฉลี่ย, ค่าความถี่มูลฐาน และค่าอัตราเฉลี่ยการตัดศูนย์
2. การสร้างขอบเขตของคำ โดยนำค่าพารามิเตอร์ที่ได้จากส่วนแรกมาใช้
3. นำขอบเขตของคำที่ได้ ไปสร้างเป็นไฟล์เสียงย่อย ๆ จากไฟล์เสียงเดิม

แต่ในการกำหนดขอบเขตของคำ มีพารามิเตอร์ 2 ตัว คือ ค่าความถี่มูลฐาน และค่าอัตราเฉลี่ยการตัดศูนย์ ไม่สามารถใช้ได้ผลดีเหมือนกับทางทฤษฎี เนื่องจากพารามิเตอร์ทั้งสองตัวนี้แสดงค่าเชิงความถี่ ซึ่งจะได้รับผลกระทบจากสิ่งแวดลอมในขณะบันทึกเสียงอย่างมาก แต่อย่างไรก็ตามค่าความถี่มูลฐานสามารถใช้ในการตรวจสอบ ส่วนของเสียงที่ตัดได้นั้นเป็นเสียงที่เป็นคำพูดหรือไม่ แต่เนื่องจากการคำนวณการหาค่าความถี่มูลฐานนั้นใช้เวลาในการคำนวณมาก ซึ่งไม่คุ้มกับผลที่ได้รับ จึงไม่ได้นำมาใช้เป็นส่วนหนึ่งในการตัดคำจริง ๆ ส่วนค่าอัตราการตัดศูนย์นั้น พบว่าไม่สามารถใช้ได้จริงในทางปฏิบัติ ส่วนค่าพลังงานเฉลี่ยที่ใช้เป็นหลักในการตัดแบ่งคำนั้นสามารถใช้ได้ผลดี

ส่วนแนวทางในการพัฒนานั้น เนื่องจากการรู้จำเสียงซึ่งใช้ในการสร้าง โมเดลเสียงแบบ HMM นั้นมีประสิทธิภาพสูงอยู่แล้ว ขึ้นอยู่กับว่าอินพุทของส่วนรู้จำเสียงนั้น จะเป็นเสียงที่มีขอบเขตของคำถูกต้องมากน้อยเพียงใด ดังนั้นสิ่งสำคัญจึงอยู่ที่การค้นหาวีธี ที่จะกำหนดขอบเขตคำ เพื่อที่จะตัดแบ่งประโยคออกเป็นคำให้ได้ถูกต้องที่สุด อีกจุดหนึ่งที่น่าสนใจในการพัฒนา คือ การที่ทำให้การทำงานทั้งหมดเป็นระบบเวลาจริง (Real time system) ซึ่งจะทำให้ระบบที่ได้มีประโยชน์ในการใช้งานเพิ่มขึ้น แต่การคำนวณทั้งหมดก็จะเปลี่ยนแปลงด้วย



เอกสารนี้เป็นเอกสารที่สงวนไว้สำหรับการใช้งานเพื่อการศึกษาเท่านั้น ไม่อนุญาตให้นำไปใช้ประโยชน์ด้านการค้า
ไม่ว่ากรณีใดๆ ทั้งสิ้น อีกทั้งห้ามมิให้ดัดแปลงเนื้อหาและต้องอ้างอิงถึงเจ้าของเอกสารทุกครั้งที่มีการนำไปใช้

```

//*****
//This procedure used for calculate Zerocrossing Rate
//*****
void zerocrossing(char name[30])
{
    FILE *digitalfile;
    char digitalfilename[30]="digital.tmp";
    int number_sample,b1;

    WINDOW=atoi(transBuf3.window);
    SHIFT=atoi(transBuf3.shift);
    MISS=atoi(transBuf3.shift);
    for (int j=0;j<20;j++)
        infile[j]=name[j];
//Open input wave file
    if ((inputfile = fopen(infile,"rb")) == NULL )
        {
            MessageBox(0,"Can't open file.", "ERROR!", MB_OK);
            open_result=1;
        }
    ENDZERO:
    if (open_result==0)
        {
            for (int j=0;j<20;j++)
                outfile[j]=name[j];
            outfile[dash2+3]='.';
            outfile[dash2+4]='z';
            outfile[dash2+5]='c';
            outfile[dash2+6]='r';
//Open output binary file
            if ((outputfile = fopen(outfile,"wb")) == NULL)
                {
                    MessageBox(0,"Can't create output text file.",
"ERROR!", MB_OK);
                    open_result=1;
                    goto ENDZERO;
                }

            filenametxt[0]='z';
            filenametxt[1]='c';
            filenametxt[2]='r';
            filenametxt[3]='a';
            filenametxt[4]='t';
            filenametxt[5]='e';
            filenametxt[6]='-';
            filenametxt[7]=name[dash1+1];
            filenametxt[8]=name[dash1+2];
            filenametxt[9]='-';
            filenametxt[10]=name[dash2+1];
            filenametxt[11]=name[dash2+2];
            filenametxt[12]='.';
            filenametxt[13]='t';
            filenametxt[14]='x';
            filenametxt[15]='t';
//Open output text file
            if ((outputtextfile = fopen(filenametxt,"wt")) == NULL)
                {
                    MessageBox(0,"Can't create output text file.",
"ERROR!", MB_OK);
                    open_result=1;
                }
            if (open_result==0)
                {
//Set file pointer to first sound sample
                    fseek(inputfile, 44L, SEEK_CUR);

```

```

        number_sample = 0;
//Find number of sample in wav file
        while (!feof(inputfile))
        {
            j = (int) fgetc(inputfile);
            number_sample = number_sample+1;
        }
        number_sample = number_sample -1;
        rewind(inputfile);
        fseek(inputfile,44L,SEEK_CUR);
//Open output file of digital filter
        if ((digitalfile = fopen(digitalfilename,"wb")) == NULL
)
        {
            MessageBox(0,"Can't create digital file.",
"ERROR!", MB_OK);
            open_result=1;
            goto ENDZERO;
        }
        int round = (number_sample/SHIFT)-(WINDOW/SHIFT);
//This following routine is Digital filter
        for (int i = 1;i <= number_sample;i++)
        {
            int x_n,x_n1,x_n2,x_n3;
            float y_n,y_n1,y_n2,y_n3;
            if (i == 1)
            {
                y_n = 0;
                y_n1 = 128;
                y_n2 = 128;
                y_n3 = 128;
                x_n3 = (int) fgetc(inputfile);
                x_n2 = (int) fgetc(inputfile);
                x_n1 = (int) fgetc(inputfile);
                x_n = (int) fgetc(inputfile);
            }
            else
            {
                y_n3 = y_n2;
                y_n2 = y_n1;
                y_n1 = y_n;
                x_n3 = x_n2;
                x_n2 = x_n1;
                x_n1 = x_n;
                x_n = (int) fgetc(inputfile);
            }
//Calculate output digital filter
            y_n = (2.13806*y_n1)-
(1.802663*(y_n2))+(0.545353*(y_n3))+(0.085292*(x_n))-
(0.0257159*(x_n1))-(0.0257159*(x_n2))+(0.085292*(x_n3));
            fwrite(&y_n,sizeof(float),1,digitalfile);
        }
        fclose(inputfile);
        fclose(digitalfile);
//End of Digital filter
        if ((digitalfile = fopen(digitalfilename,"rb")) == NULL
)
        {
            MessageBox(0,"Can't create digital file.",
"ERROR!", MB_OK);
            open_result=1;
            goto ENDZERO;
        }
//Start calculate zerocrossing rate

```

เอกสารนี้เป็นเอกสารที่สงวนไว้สำหรับการใช้งานเพื่อการศึกษาเท่านั้น ไม่อนุญาตให้拿去ใช้ประโยชน์ด้านการค้า
ไม่ว่ากรณีใดๆ ทั้งสิ้น อีกทั้งห้ามมิให้ดัดแปลงเนื้อหาและต้องอ้างอิงถึงเจ้าของเอกสารทุกครั้งที่มีกรนำไปใช้

```

for (int i=1;i<=round;i++)
{
    int zerorate = 0;
    for (b1=1;b1<=(WINDOW-1);b1++)
    {
        float x_m,x_ml;
        int sgnx_m,sgnx_ml;
        int templ = 0;
        if (b1 == 1)
        {
            fread(&x_ml,sizeof(float),1,digitalfile);
            fread(&x_m,sizeof(float),1,digitalfile);
        }
        else
        {
            x_ml = x_m;
            fread(&x_m,sizeof(float),1,digitalfile);
        }
        if (x_ml == 128)
            x_ml = 0;
        if (x_m == 128)
            x_m = 0;
        if (x_m > 128)
            sgnx_m = 1;
        if (x_m < 128)
            sgnx_m = -1;
        if (x_ml > 128)
            sgnx_ml = 1;
        if (x_ml < 128)
            sgnx_ml = -1;
        int temp = sgnx_m - sgnx_ml;
        templ = abs(temp);
        if (templ == 1)
            templ = templ - 1;
        zerorate = zerorate + templ;
    }
//Write an element output to binary file
    putw(zerorate,outputfile);
//Write output to be a line of text file
    fprintf(outputtextfile,"\n %d ",zerorate);
}
fclose(digitalfile);
fclose(outputfile);
fclose(outputtextfile);
}
}
//End Zerocrossing
//*****
//This procedure used for estimate Pitch period
//*****
void Pitch(char name[30])
{
    SHIFT=atoi(transBuf3.shift);
    FILE *clipfile,*autocorfile,*pitchfile;
    FILE *digitalfile,*pitchtempfile;
    FILE *pitchtextfile;
    char pitchtextfilename[20];
    char pitchfilename[20];
    char clipfilename[20]="clip.tmp";
    char autocorfilename[20]="auto.tmp";
    char digitalfilename[20]="digital.tmp";
    char pitchtempfilename[20]="pitch.tmp";
    int *pitch,sample1,round,percentpitch = 30;

```

เอกสารนี้เป็นเอกสารที่สงวนไว้สำหรับการใช้งานเพื่อการศึกษาเท่านั้น ไม่อนุญาตให้นำไปใช้ประโยชน์ด้านการค้า
ไม่ว่ากรณีใดๆทั้งสิ้น อีกทั้งห้ามมิให้ดัดแปลงเนื้อหาและต้องอ้างอิงถึงเจ้าของเอกสารทุกครั้งที่มีการนำไปใช้

```

int    count,n,round2,number_sample;
int    count_segment=0;
for (int j=0;j<30;j++)
    infile[j]=name[j];
//Open input wav file
if ((inputfile = fopen(infile,"rb")) == NULL )
    {
        MessageBox(0,"Can't open wave file.", "ERROR!", MB_OK);
        open_result=1;
    }
//Open output file for clipping process
if ((clipfile = fopen(clipfilename,"wb")) == NULL )
    {
        MessageBox(0,"Can't create temp file.", "ERROR!", MB_OK);
        open_result=1;
    }
//Open output file for digital filter process
if ((digitalfile = fopen(digitalfilename,"wb")) == NULL )
    {
        MessageBox(0,"Can't create digital file.", "ERROR!", MB_OK);
        open_result=1;
    }
//Open output file for pitch period estimation process
if ((pitchtempfile = fopen(pitchtempfilename,"wb")) == NULL )
    {
        MessageBox(0,"Can't create pitchtemp file.", "ERROR!",
MB_OK);
        open_result=1;
    }
ENDPITCH:
if (open_result==0)
    {
        number_sample = 0;
        rewind(inputfile);
        fseek(inputfile,44L,SEEK_CUR);
        while (!feof(inputfile))
            {
                sample1 = (int) getc(inputfile);
                if (sample1 == -1)
                    goto ENDOFFILE1;
                number_sample = number_sample + 1;
            }
        ENDOFFILE1:
        round = (number_sample/(SHIFT))-((FRAME_LENGTH-SHIFT)/SHIFT);
        rewind(inputfile);
        fseek(inputfile,44L,SEEK_CUR);
//Start digital filter process...
        for (int i = 1;i <= number_sample;i++)
            {
                int    x_n,x_n1,x_n2,x_n3;
                float  y_n,y_n1,y_n2,y_n3;
                if (i == 1)
                    {
                        y_n = 0;
                        y_n1 = 128;
                        y_n2 = 128;
                        y_n3 = 128;
                        x_n3 = (int) fgetc(inputfile);
                        x_n2 = (int) fgetc(inputfile);
                        x_n1 = (int) fgetc(inputfile);
                        x_n = (int) fgetc(inputfile);
                    }
                else

```

เอกสารนี้เป็นเอกสารที่สงวนไว้สำหรับการใช้งานเพื่อการศึกษาเท่านั้น ไม่อนุญาตให้นำไปใช้ประโยชน์ด้านการค้า
ไม่ว่ากรณีใดๆ ทั้งสิ้น อีกทั้งห้ามมิให้ดัดแปลงเนื้อหาและต้องอ้างอิงถึงเจ้าของเอกสารทุกครั้งที่มีการนำไปใช้

```

        y_n3 = y_n2;
        y_n2 = y_n1;
        y_n1 = y_n;
        x_n3 = x_n2;
        x_n2 = x_n1;
        x_n1 = x_n;
        x_n = (int) fgetc(inputfile);
    }

```

```

//calculatate output digital filter

```

```

        y_n = (2.13806*y_n1)-
(1.802663*(y_n2))+(0.545353*(y_n3))+(0.085292*(x_n))-(0.0257159*(x_n1))-
(0.0257159*(x_n2))+(0.085292*(x_n3));
//Write to file

```

```

        fwrite(&y_n,sizeof(float),1,digitalfile);
    }

```

```

    fclose(inputfile);

```

```

    fclose(digitalfile);

```

```

    if ((digitalfile = fopen(digitalfilename,"rb")) == NULL )
    {

```

```

        MessageBox(0,"Can't create digital file.", "ERROR!",

```

```

        MB_OK);

```

```

        open_result=1;

```

```

        goto ENDPITCH;
    }

```

```

//Start 3-level clip center process...

```

```

    for (int d=0;d<round;d++)
    {

```

```

        char il,outputclip[FRAME_LENGTH];

```

```

        float wave[FRAME_LENGTH],temp2[FRAME_LENGTH];

```

```

        float firstmax,lastmax,minofmax;

```

```

        int threshold_clip,upperthreshold,lowerthreshold;

```

```

        if (d==0)
        {

```

```

            for (int j=0;j<FRAME_LENGTH;j++)
            {

```

```

                fread(&temp2[j],sizeof(float),1,digitalfile);

```

```

                wave[j] = temp2[j];
            }

```

```

        }
        else
        {

```

```

            for (int j=0;j<FRAME_LENGTH-SHIFT;j++)
            {

```

```

                temp2[j] = wave[j+SHIFT];

```

```

                wave[j] = temp2[j];
            }

```

```

            for (int j=0;j<SHIFT;j++)
            {

```

```

                fread(&wave[j+(FRAME_LENGTH-
SHIFT)],sizeof(float),1,digitalfile);

```

```

                temp2[j+(FRAME_LENGTH-SHIFT)] =
wave[j+(FRAME_LENGTH-SHIFT)];
            }

```

```

            for (int j=0;j<FRAME_LENGTH;j++)
            {

```

```

                temp2[j] = abs(temp2[j] - 128);
            }

```

```

//Find firstmax and lastmax in 100 samples of each frame..

```

```

        firstmax = 0;

```

```

        lastmax = 0;

```

```

        for (int j=0;j<SHIFT_LENGTH;j++)
        {

```

```

            if (firstmax < temp2[j])

```

เอกสารนี้เป็นเอกสารที่สงวนไว้สำหรับการใช้งานเพื่อการศึกษาเท่านั้น ไม่อนุญาตให้拿去ใช้ประโยชน์ด้านการค้า
ไม่ว่ากรณีใดๆ ทั้งสิ้น อีกทั้งห้ามมิให้ดัดแปลงเนื้อหาและต้องอ้างอิงถึงเจ้าของเอกสารทุกครั้งที่มีการนำไปใช้

```

        firstmax = temp2[j];
        if (lastmax < temp2[j+(FRAME_LENGTH-SHIFT)])
            lastmax = temp2[j+(FRAME_LENGTH-SHIFT)];
    }
    if (firstmax < lastmax)
        minofmax = firstmax;
    if (lastmax < firstmax)
        minofmax = lastmax;
    if (firstmax == lastmax)
        minofmax = firstmax;
//find threshold clip level..
threshold_clip = (minofmax * PERCENTCLIP)/100;
upperthreshold = 128 + threshold_clip;
lowerthreshold = 128 - threshold_clip;
//clip process
for (int c=0;c<FRAME_LENGTH;c++)
    {
        if (wave[c] >= upperthreshold)
            il = 1;
        if (wave[c] <= lowerthreshold)
            il = -1;
        if ((wave[c] > lowerthreshold) && (wave[c] <
upperthreshold))
            il = 0;
        outputclip[c] = il;
    }
    fwrite(outputclip, sizeof(char), FRAME_LENGTH, clipfile);
}
fclose(digitalfile);
fclose(clipfile);
if ((clipfile=fopen(clipfilename, "rb"))==NULL)
    {
        MessageBox(0, "Can't open temp file.", "ERROR!", MB_OK);
        open_result=1;
    }
if ((autocorfile=fopen(autocorfilename, "wb"))==NULL)
    {
        MessageBox(0, "Can't create temp file.", "ERROR!", MB_OK);
        open_result=1;
    }
if (open_result==1)
    goto ENDPITCH;
count = -1;
while (!feof(clipfile))
    {
        e=fgetc(clipfile);
        count = count++;
    }
char x1[FRAME], flag;
int y1, y2, autotemp, Autocor, autocor[LAG];
int Autok[LAG], Nextpitch;
int round1 = count/FRAME_LENGTH;
rewind(clipfile);
//Start autocorrelation process
for (int j=1; j<=round1; j++)
    {
//Read data from clip file..
fread(x1, sizeof(char), FRAME_LENGTH, clipfile);
//Calculate autocorrelation process..
for (int k=0; k<LAG; k++)
    {
        Autocor = 0;
        for (int m=0; m<FRAME_LENGTH-k-1; m++)
            {

```

เอกสารนี้เป็นเอกสารที่สงวนไว้สำหรับการใช้งานเพื่อการศึกษาเท่านั้น ไม่อนุญาตให้นำไปใช้ประโยชน์ด้านการค้า
 ไม่ว่ากรณีใดๆ ทั้งสิ้น อีกทั้งห้ามมิให้ดัดแปลงเนื้อหาและต้องอ้างอิงถึงเจ้าของเอกสารทุกครั้งที่มีการนำไปใช้

```

        y1 = x1[m];
        y2 = x1[m+k];
        autotemp = y1*y2;
        Autocor = Autocor+autotemp;
    }
    autocor[k]=Autocor;
}
//write autocorrelation to file...
    fwrite(autocor,sizeof(int),LAG,autocorfile);
}
fclose(clipfile);
fclose(autocorfile);
if ((autocorfile = fopen(autocorfilename,"rb")) == NULL )
{
    MessageBox(0,"Can't open temp file.", "ERROR!", MB_OK);
    open_result=1;
    goto ENDPITCH;
}
for (int j=0;j<20;j++)
    pitchfilename[j]=name[j];
pitchfilename[dash2+3]='.';
pitchfilename[dash2+4]='p';
pitchfilename[dash2+5]='t';
pitchfilename[dash2+6]='h';
if ((pitchfile = fopen(pitchfilename,"wb")) == NULL )
{
    MessageBox(0,"Can't create output file.", "ERROR!", MB_OK);
    open_result=1;
    goto ENDPITCH;
}
for (int j=0;j<20;j++)
    pitchtextfilename[j]=name[j];
pitchtextfilename[0]='p';
pitchtextfilename[1]='i';
pitchtextfilename[2]='t';
pitchtextfilename[3]='c';
pitchtextfilename[4]='h';
pitchtextfilename[5]='-';
pitchtextfilename[6]=name[dash1+1];
pitchtextfilename[7]=name[dash1+2];
pitchtextfilename[8]='-';
pitchtextfilename[9]=name[dash2+1];
pitchtextfilename[10]=name[dash2+2];
pitchtextfilename[11]='.';
pitchtextfilename[12]='t';
pitchtextfilename[13]='x';
pitchtextfilename[14]='t';
pitchtextfilename[15]=pitchtextfilename[16];
if ((pitchtextfile = fopen(pitchtextfilename,"wt")) == NULL )
{
    MessageBox(0,"Can't create pitch text file.", "ERROR!",
    MB_OK);
    open_result=1;
    goto ENDPITCH;
}
count = -1;
while (!feof(autocorfile))
{
    e = fgetc(autocorfile);
    count = count++;
}
count /= 4;
round2 = (count/LAG);
rewind(autocorfile);

```

```

pitch=(int*)calloc(sizeof(int),round2);
int lastk,examinepitch,pitchfrequency;
//Start find pitch frequency process..
for (int n=1;n<=round2;n++)
{
    PITCH:
    for (int j=0;j<LAG;j++)
        fread(&Autok[j],sizeof(int),1,autocorfile);
    Nextpitch = (Autok[0] * percentpitch)/100;
    for (int k=0;k<LAG;k++)
    {
        int flag = 0;
        if (k == 0)
        {
            lastk = 0;
            examinepitch = 0;
            k = 30;
        }
        if (abs(Autok[k]) >= Nextpitch)
        {
            if (k < 220)
            for (int c=1;c<=30;c++)
            if (abs(Autok[k]) < abs(Autok[k+c]))
                flag = 1;
            if (flag == 0)
            {
                Nextpitch = (Autok[k]*percentpitch)/100;
                if (Nextpitch == 0)
                    Nextpitch = 1;
                examinepitch = k - lastk;
                lastk = k;
                pitchfrequency = 11025/examinepitch;
                k = LAG;
            }
        }
    }
    if (examinepitch != 0)
        pitchfrequency = 11025/examinepitch;
    if (examinepitch == 0)
    {
        percentpitch = percentpitch - 5;
        goto PITCH;
    }
    percentpitch = 30;
    pitch[n]=pitchfrequency;
}
fclose(autocorfile);
int findstart_sound = 0;
int possibleend_sound,possible_sound,start_sound=0;
int end_sound;
bool check_discontinue = false;
//find boundary of sound by use pitch..
for (int n=1;n<=round2;n++)
{
    int one,two,three,four,five,six,seven;
    START:
    if (n==0)
    {
        one = abs(pitch[n]-pitch[n+1]);
        two = abs(pitch[n+1]-pitch[n+2]);
        three = abs(pitch[n+2]-pitch[n+3]);
        four = abs(pitch[n+3]-pitch[n+4]);
        five = abs(pitch[n+4]-pitch[n+5]);
        six = abs(pitch[n+5]-pitch[n+6]);
    }
}

```

```

        seven = abs(pitch[n+6]-pitch[n+7]);
    }
    else
    {
        seven = six;
        six = five;
        five = four;
        four = three;
        three = two;
        two = one;
        one = abs(pitch[n])-abs(pitch[n+1]);
    }
    if
    ((one<=7)&&(two<=7)&&(three<=7)&&(four<=7)&&(five<=7)&&(six<=7)&&(seven<
=7))&&(pitch[n]<300))
    {
        if (findstart_sound == 0)
        {
            start_sound = n;
            findstart_sound = 1;
            possible_sound = n;
            possibleend_sound = n+7;
            check_discontinue = true;
        }
        n++;
        possible_sound++;
        possibleend_sound++;
        goto START;
    }
    if (check_discontinue == true)
    {
        end_sound = possibleend_sound;
        fwrite(&start_sound,sizeof(int),1,pitchtempfile);
        fwrite(&end_sound,sizeof(int),1,pitchtempfile);
        check_discontinue = false;
        findstart_sound = 0;
    }
}
fclose(pitchtempfile);
if ((pitchtempfile = fopen(pitchtempfilename,"rb")) == NULL )
{
    MessageBox(0,"Can't open temp file.", "ERROR!", MB_OK);
    open_result=1;
    goto ENDPITCH;
}
c = 0;
rewind(pitchtempfile);
while (!feof(pitchtempfile))
{
    n = (int) getc(inputfile); // impression
    c++;
}
c = c/2;
rewind(pitchtempfile);
int check_start,check_end;
fread(&check_start,sizeof(int),1,pitchtempfile);
fwrite(&check_start,sizeof(int),1,pitchfile);
for (int n=1;n<c;n++)
{
    fread(&check_end,sizeof(int),1,pitchtempfile);
    fread(&check_start,sizeof(int),1,pitchtempfile);
    int x;
    x = check_start - check_end;
    check_start = check_start-7;
}

```

เอกสารนี้เป็นเอกสารที่สงวนไว้สำหรับการใช้งานเพื่อการศึกษาเท่านั้น ไม่อนุญาตให้นำไปใช้ประโยชน์ด้านการค้า
ไม่ว่ากรณีใดๆทั้งสิ้น อีกทั้งห้ามมิให้ดัดแปลงเนื้อหาและต้องอ้างอิงถึงเจ้าของเอกสารทุกครั้งที่มีการนำไปใช้

```

        if (x>6)
        {
            fwrite(&check_end,sizeof(int),1,pitchfile);
            fwrite(&check_start,sizeof(int),1,pitchfile);
        }
        fread(&check_end,sizeof(int),1,pitchtempfile);
        fwrite(&check_end,sizeof(int),1,pitchfile);
        fclose(pitchtempfile);
        fclose(pitchfile);
//End find boundary of sound by using pitch...
        if ((pitchfile = fopen(pitchfilename,"rb")) == NULL )
        {
            MessageBox(0,"Can't open pitch file for read.", "ERROR!",
MB_OK);
            open_result=1;
            goto ENDPITCH;
        }
        if ((pitchtextfile=fopen(pitchtextfilename,"wt"))==NULL)
        {
            MessageBox(0,"Can't create frequencytext.", "ERROR!",
MB_OK);
            open_result=1;
            goto ENDPITCH;
        }
        rewind(pitchfile);
        while (!feof(pitchfile))
        {
            c=getw(pitchfile);
            count_segment++;
        }
        rewind(pitchfile);
        count_segment = count_segment/2;
        int oldpointstop = 0;
        int pointstart,pointstop;
//Write boundary of pitch to text file..
        for (n=0;n<count_segment;n++)
        {
            pointstart = getw(pitchfile);
            pointstop = getw(pitchfile);
            for (i=oldpointstop;i<=pointstart;i++)
                fprintf(pitchtextfile,"\n %d %d",pitch[i],0);
            for (i=pointstart+1;i<=pointstop;i++)
                fprintf(pitchtextfile,"\n %d %d",pitch[i],400);
            oldpointstop = pointstop;
        }
        free(pitch);
        fclose(pitchtextfile);
        fclose(pitchfile);
    }
}
//End Pitch procedure

```

```

//*****
//These following procedures or functions are called from auto_recog
//*****
//This function use for find absolute value of float value
float Abs(float value)
{
    if (value<0) return(-value); else return(value);
}
//Open and create file for LPC input and output
void open_all_file(char filename[50])
{
    open_result=0;
    for (j=0;j<20;j++)
    input_wav_file_name[j]=filename[j];
    if ((input_wav_file = fopen(input_wav_file_name,"rb")) == NULL)
    {
        MessageBox(0,input_wav_file_name, "Can't open file", MB_OK);
        open_result=1;
    }
}
//This flag use to check where is this procedure called from
if (autorecog==0)
{
    if ((parameter_file = fopen("para.tmp","wb")) == NULL)
    {
        MessageBox(0,"para.tmp", "Can't create file", MB_OK);
        open_result=1;
    }
}
else
{
    for(j=0;j<20;j++)
    parameter_file_name[j]=filename[j];
    for(j=0;j<20;j++)
    {
        if (parameter_file_name[j]=='.')
        {
            parameter_file_name[j+1]='1';
            parameter_file_name[j+2]='p';
            parameter_file_name[j+3]='c';
            break;
        }
    }
    if ((parameter_file = fopen(parameter_file_name,"wb")) == NULL)
    {
        MessageBox(0,parameter_file_name, "Can't create file", MB_OK);
        open_result=1;
    }
}
}
void prepare_data(void)
{
    //Find size of sound file
    length = -1;
    while (!feof(input_wav_file))
    {
        c = fgetc(input_wav_file);
        length++;
    }
    rewind(input_wav_file);
    //Bypass the header of wave file
    length -= 44L;
    //Set pointer to first data
    fseek(input_wav_file,44L,SEEK_CUR);
    //Calculate number of frame

```

```

    number_of_frame = (length-
    FRAME_LENGTH+SHIFT_LENGTH)/SHIFT_LENGTH;
    signal[0] = (int)fgetc(input_wav_file);
}
void find_preemphasis_and_window(void)
{
    static int called = FIRST_CALL;
    if (called == FIRST_CALL)
    //Calculate first window must use full window data
    {
        for ( fl=1;fl<=FRAME_LENGTH;fl++ )
        {
            signal    [fl] = (int)fgetc(input_wav_file);
            preemphasis[fl] = (signal[fl] - ADAPTIVE *(float)signal[fl-1]);
            windowed   [fl] = preemphasis[fl]*(0.54-0.46*cos(2*PI*(fl-
            1)/(FRAME_LENGTH-1)));
        }
        called = NEXT_CALL;
    }
    else
    {
    //Calculate other window use data less than first window
    for (fl=1;fl<=(FRAME_LENGTH - SHIFT_LENGTH);fl++)
    {
        signal    [fl] = signal[fl+SHIFT_LENGTH];
        preemphasis[fl] = preemphasis[fl+SHIFT_LENGTH];
        windowed   [fl] = preemphasis[fl]*(0.54-0.46*cos(2*PI*(fl-
        1)/(FRAME_LENGTH-1)));
    }
    //Calculate last window
    for (fl=(FRAME_LENGTH - SHIFT_LENGTH+1);fl<=FRAME_LENGTH;fl++)
    {
        signal    [fl] = (int)fgetc(input_wav_file);
        preemphasis[fl] = (signal[fl] - ADAPTIVE *(float)signal[fl-1]);
        windowed   [fl] = preemphasis[fl]*(0.54-0.46*cos(2*PI*(fl-
        1)/(FRAME_LENGTH-1)));
    }
    }
}
void find_autocorrelation(void)
{
    float alk,akk,maxvalue,temp;
    int    m,i,j,k,l,maxrow;
    float matrix_temp[P][P];
    for (k=0;k<=P;k++)
    {
        R[k] = 0;
        for (m=0;m<=FRAME_LENGTH-1-k;m++)
        {
            R[k] += windowed[m+1] * windowed[m+k+1];
        }
    }
    for (i=0;i<P;i++)
    {
        m = 0;
        for (k=i;k<P;k++)
        {
            A[i][k] = R[m++];
            A[k][i] = A[i][k];
        }
    }
    for (i=0;i<P;i++)
    for (j=0;j<P;j++)
        matrix_temp[i][j] = A[i][j];
}

```

เอกสารนี้เป็นเอกสารที่สงวนไว้สำหรับการใช้งานเพื่อการศึกษาเท่านั้น ไม่อนุญาตให้นำไปใช้ประโยชน์ด้านการค้า
ไม่ว่ากรณีใดๆ ทั้งสิ้น อีกทั้งห้ามมิให้ดัดแปลงเนื้อหาและต้องอ้างอิงถึงเจ้าของเอกสารทุกครั้งที่มีการนำไปใช้

```

for (i=0;i<P;i++)
for (j=0;j<P;j++)
    {
        if (i==j) X[i][j] = 1; else X[i][j]=0;
    }
for (k=0;k<P;k++)
    {
        maxrow = k;
        maxvalue = Abs(matrix_temp[k][k]);
        for (i=k+1;i<P;i++)
            {
                if (maxvalue < Abs(matrix_temp[i][k]))
                    {
                        maxvalue = Abs(matrix_temp[i][k]);
                        maxrow = i;
                    }
            }
        if (maxrow != k)
            {
                for (j=0;j<P;j++)
                    {
                        temp = matrix_temp[k][j];
                        matrix_temp[k][j] = matrix_temp[maxrow][j];
                        matrix_temp[maxrow][j] = temp;
                    }
                for (j=0;j<P;j++)
                    {
                        temp = X[k][j];
                        X[k][j] = X[maxrow][j];
                        X[maxrow][j] = temp;
                    }
            }
        akk = matrix_temp[k][k];
        for (j=k;j<P;j++)
            matrix_temp[k][j] /= akk;
        for (j=0;j<P;j++)
            X[k][j] /= akk;
        akk = matrix_temp[k][k];
        for (l=0;l<P;l++)
            {
                alk = matrix_temp[l][k];
                if (k != l)
                    {
                        for (m=k;m<P;m++)
                            matrix_temp[l][m] -= matrix_temp[k][m]/akk*alk;
                        for (m=0;m<P;m++)
                            X[l][m] -= X[k][m]/akk*alk;
                    }
            }
    }
}
for (i=1;i<=P;i++)
    {
        phi[i] = R[i];
    }
}
void find_coefficient(void)
    {
        for (i=0;i<P;i++)
            {
                alpha[i+1] = 0;
                for (k=0;k<P;k++)
                    {
                        alpha[i+1] += X[i][k]*phi[k+1];
                    }
            }
    }

```

เอกสารนี้เป็นเอกสารที่สงวนไว้สำหรับการใช้งานเพื่อการศึกษาเท่านั้น ไม่อนุญาตให้นำไปใช้ประโยชน์ด้านการค้า
ไม่ว่ากรณีใดๆ ทั้งสิ้น อีกทั้งห้ามมิให้ดัดแปลงเนื้อหาและต้องอ้างอิงถึงเจ้าของเอกสารทุกครั้งที่มีการนำไปใช้

```

    }
}
void find_gain(void)
{
    q = (float)R[0];
    for (i=1;i<=P;i++)
        {
            q -= ((float)alpha[i]*(float)R[i]);
        }
    gain = sqrt(q);
}
void find_cepstrum(void)
{
    cepstrum[0] = log(gain);
    for (m=1;m<N;m++)
        {
            if (m<=P) cepstrum[m] = alpha[m];
            else cepstrum[m] = 0;
            for (k=1;k<=m-1;k++)
                cepstrum[m] += ((float)k/(float)m) * cepstrum[k] * alpha[m-k];
        }
}
void find_weight(void)
{
    for (m=0;m<N;m++)
        weight[m] = cepstrum[m] * (1+((N)/2)*sin(PI*(float)m/(N)));
}
//Write LPC parameter to file
void write_parameter_file(void)
{
    for (i=0;i<N;i++)
        fwrite(&weight[i],sizeof(weight[i]),1,parameter_file);
}
void close_all_file(void)
{
    fclose(input_wav_file);
    fclose(parameter_file);
}
void open_codebook_and_output_file(void)
{
    open_result=0;
    if ((codebook_file = fopen(codebook_file_name,"rb")) == NULL)
        {
            MessageBox(0,"Codebook.vq", "Can't open file", MB_OK);
            open_result=1;
        };
    if((codebook_index_file=fopen(codebook_index_file_name,"wb"))== NULL)
        {
            MessageBox(0,codebook_index_file_name, "Can't create file", MB_OK);
            open_result=1;
        };
    if((codebook_index_text_file=fopen(codebook_index_text_file_name,"wt"))==
    NULL)
        {
            MessageBox(0,codebook_index_text_file_name, "Can't create file", MB_OK);
            open_result=1;
        }
}
void allocate_codebook_memory(void)
{
    codebook=(float*)calloc(number_of_codebook*vector_dimension,sizeof(float)
    );
    if (codebook == NULL)
        {

```

เอกสารนี้เป็นเอกสารที่สงวนไว้สำหรับการใช้งานเพื่อการศึกษาเท่านั้น ไม่อนุญาตให้拿去ใช้ประโยชน์ด้านการค้า
ไม่ว่ากรณีใดๆ ทั้งสิ้น อีกทั้งห้ามมิให้ดัดแปลงเนื้อหาและต้องอ้างอิงถึงเจ้าของเอกสารทุกครั้งที่มีการนำไปใช้

```

MessageBox(0,"Can't allocate memory for codebook", "ERROR", MB_OK);
open_result=1;
}
}
void read_codebook_file(void)
{
fread(codebook,sizeof(float),number_of_codebook*vector_dimension,
codebook_file);
}
void get_number_of_input_file_and_set_codebook_index_file_pointer(void)
{
int flag=-1;
item=atoi(transBuf.person)*atoi(transBuf.sound);
if (autorecog==0) item=1;
number_of_input_file = item;
fseek(codebook_index_file,number_of_input_file,SEEK_SET);
fwrite(&flag,1,1,codebook_index_file);
}
void open_input_vector_file(void)
{
if ((input_vector_file = fopen(input_vector_file_name,"rb")) == NULL)
{
MessageBox(0,input_vector_file_name, "Can't open file", MB_OK);
open_result=1;
};
}
void find_number_of_frame(void)
{
int file_size;
file_size = -1;
while (!feof(input_vector_file))
{
c = fgetc(input_vector_file);
file_size++;
}
rewind(input_vector_file);
file_size -= file_size % (sizeof(float)*vector_dimension);
number_of_frame=(int)(file_size/ (sizeof(float)*vector_dimension));
}
void allocate_input_vector_and_min_index_memory(void)
{
input_vector=float*)calloc(number_of_frame*vector_dimension,sizeof(float)
);
if (input_vector == NULL)
{
MessageBox(0,"Can't allocate for input_vector","ERROR", MB_OK);
open_result=1;
}
min_index = (char *) calloc(number_of_frame, sizeof(char));
if (min_index == NULL)
{
MessageBox(0,"Can't allocate memory for min_index","ERROR", MB_OK);
open_result=1;
}
}
void read_input_vector(void)
{
fread(input_vector,sizeof(float),number_of_frame*vector_dimension,
input_vector_file);
}
void find_codebook_index(void)
{
for (nf=0;nf<number_of_frame;nf++)
{

```

เอกสารนี้เป็นเอกสารที่สงวนไว้สำหรับการใช้งานเพื่อการศึกษาเท่านั้น ไม่อนุญาตให้นำไปใช้ประโยชน์ด้านการค้า
ไม่ว่ากรณีใดๆทั้งสิ้น อีกทั้งห้ามมิให้ตัดแปลงเนื้อหาและต้องอ้างอิงถึงเจ้าของเอกสารทุกครั้งที่มีการนำไปใช้

```

for (nc=0;nc<number_of_codebook;nc++)
{
total_distance = 0;
distance = 0;
for (vd=0;vd<vector_dimension;vd++)
{
distance=input_vector[nf*vector_dimension + vd] -
codebook[nc*vector_dimension + vd];
distance *= distance;
total_distance += distance;
}
vector_distance[nc] = total_distance;
}
min_distance = vector_distance[0];
min_index[nf] = 0;
for (nc=0;nc<number_of_codebook;nc++)
{
if ( min_distance > vector_distance[nc] )
{
min_distance = vector_distance[nc];
min_index[nf] = (char)nc;
}
}
}

void write_codebook_index_file(void)
{
int index_file_pointer;
index_file_pointer = (int)ftell(codebook_index_file);
if (autorecog==0) file_number=0;
fseek(codebook_index_file,file_number,SEEK_SET);
fwrite(&number_of_frame,1,1,codebook_index_file);
fseek(codebook_index_file,index_file_pointer,SEEK_SET);
for (nf=0;nf<number_of_frame;nf++)
// adjust index value in range 1 - 64
min_index[nf] += 1;
//Write codebook index to file
fwrite(min_index,1,number_of_frame,codebook_index_file);
}

void free_input_vector_and_min_index_memory(void)
{
free(input_vector);
free(min_index);
}

void close_input_vector_file(void)
{
fclose(input_vector_file);
}

void write_codebook_index_text_file(void)
{
char item;
fclose(codebook_index_file);
if ((codebook_index_file = fopen(codebook_index_file_name,"rb")) == NULL)
{
MessageBox(0,codebook_index_file_name, "Can't create file", MB_OK);
open_result=1;
}
while (!feof(codebook_index_file))
{
//Write codebook index to text file
fread(&item,1,1,codebook_index_file);
fprintf(codebook_index_text_file,"%2d\n",item);
}
}

```

เอกสารนี้เป็นเอกสารที่สงวนไว้สำหรับการใช้งานเพื่อการศึกษาเท่านั้น ไม่อนุญาตให้นำไปใช้ประโยชน์ด้านการค้า
ไม่ว่ากรณีใดๆ ทั้งสิ้น อีกทั้งห้ามมิให้ดัดแปลงเนื้อหาและต้องอ้างอิงถึงเจ้าของเอกสารทุกครั้งที่มีการนำไปใช้

```

void free_codebook_memory(void)
{
    free(codebook);
}

void close_all_vq_file(void)
{
    fclose(codebook_file);
    fclose(codebook_index_file);
    fclose(codebook_index_text_file);
}

//Read codebook index file
void load_unknown_word_file(void)
{
    char temp;
    if ((unknown_word_file = fopen(unknown_word_file_name,"rb")) == NULL)
    {
        MessageBox(0,unknown_word_file_name, "Can't open file", MB_OK);
        open_result=1;
    };
    fread(&T,1,1,unknown_word_file);
    fread(&temp,1,1,unknown_word_file); /* for bypass FLAG (-1) */
    if (temp != -1)
    {
        MessageBox(0,"Invalid input file!", "ERROR", MB_OK);
        open_result=1;
    };
    O = (char *) calloc((int)T,sizeof(char));
    if (O == NULL)
    {
        MessageBox(0,"Can't allocate memory for O", "ERROR", MB_OK);
        open_result=1;
    };
    fread(O,1,(int)T,unknown_word_file);
    fclose(unknown_word_file);
}

void allocate_memory(void)
{
    dt = (double *) calloc((int)T*N1,sizeof(double));
    ar = (char *) calloc((int)T*N1,sizeof(char));
    q_st = (char *) calloc((int)T ,sizeof(char));
    if ( (dt||ar||q_st) == NULL)
    {
        MessageBox(0,"Can't allocate memory for dt,ar,q_st", "ERROR", MB_OK);
        open_result=1;
    }
}

void free_mem(void)
{
    free(dt);
    free(ar);
    free(q_st);
}

//Read model parameter from model file
void load_model(int model_name)
{
    if ((model_file = fopen(model_file_name[model_name],"rb")) == NULL)
    {
        MessageBox(0,model_file_name[model_name], "Can't open file", MB_OK);
        open_result=1;
    }
    Buf_aprime=(float*) calloc(N1*N1,sizeof(float));
    Buf_bprime=(float*) calloc(N1*K,sizeof(float));
    fread(Buf_aprime,4,N1*N1,model_file);
    fread(Buf_bprime,4,N1*K,model_file);
}

```

เอกสารนี้เป็นเอกสารที่สงวนไว้สำหรับการใช้งานเพื่อการศึกษาเท่านั้น ไม่อนุญาตให้นำไปใช้ประโยชน์ด้านการค้า
ไม่ว่ากรณีใดๆทั้งสิ้น อีกทั้งห้ามมิให้ดัดแปลงเนื้อหาและต้องอ้างอิงถึงเจ้าของเอกสารทุกครั้งที่มีการนำไปใช้

```

fclose(model_file);
for (i=0;i<N1;i++)
    for (j=0;j<N1;j++)
        a[i][j]=Buf_aprime[(i*N1)+j];
for (i=0;i<N1;i++)
    for (j=0;j<K;j++)
        b[i][j]=Buf_bprime[(i*K)+j];
}
//Calculate propability for each model
void viterbi(void)
{
    for (i=0;i<N1;i++)
    {
        dt[0*N1+i] = (float)Pi[i] * (float)b[i][O[0]-1];
        ar[0*N1+i] = 0;
    }
    for (t=1;t<(int)T;t++)
    {
        for (j=0;j<N1;j++)
        {
            for (i=0;i<N1;i++) dl[i] = dt[(t-1)*N1+i] * (float)a[i][j];
            {
                dmax = 0;
                max_index = 0;
                for (k=0;k<N1;k++)
                {
                    if (dmax < dl[k])
                    {
                        dmax = dl[k];
                        max_index = k;
                    }
                }
                dt[t*N1+j] = dmax * (float)b[j][O[t]-1];
                ar[t*N1+j] = max_index;
            }
        }
        dmax = 0;
        max_index = 0;
        for (k=0;k<N1;k++)
        {
            if (dmax < dt[(int)(T-1)*N1+k])
            {
                dmax = dt[(int)(T-1)*N1+k];
                max_index = k;
            }
        }
        p_st[model] = dmax;
        q_st[(int)T-1] = max_index;
        for (t=(int)T-2;t>=0;t--)
        {
            q_st[t] = ar[(t+1)*N1+(q_st[t+1])];
        }
    }
}
//Find the maximum propability
void display_recognized_word(void)
{
    dmax = 0;
    max_index = 0;
    for (k=0;k<STORED_MODEL;k++)
    {
        if (dmax < p_st[k])
        {
            dmax = p_st[k];
            max_index = k;
        }
    }
}

```

เอกสารนี้เป็นเอกสารที่สงวนไว้สำหรับการใช้งานเพื่อการศึกษาเท่านั้น ไม่อนุญาตให้นำไปใช้ประโยชน์ด้านการค้า
ไม่ว่ากรณีใดๆ ทั้งสิ้น อีกทั้งห้ามมิให้ดัดแปลงเนื้อหาและต้องอ้างอิงถึงเจ้าของเอกสารทุกครั้งที่มีการนำไปใช้


```

g->DeltaValue(1);
Sleep(500);
g->DeltaValue(1);
Sleep(500);
g->DeltaValue(1);
Sleep(500);
g->DeltaValue(1);
Sleep(500);
g->DeltaValue(1);
Sleep(500);
g->DeltaValue(1);
Sleep(500);
g->DeltaValue(1);
Sleep(500);
g->DeltaValue(1);
Sleep(500);
g->DeltaValue(1);
Sleep(500);
g->DeltaValue(1);
Sleep(500);
g->DeltaValue(1);
Sleep(500);
g->DeltaValue(1);
Sleep(500);
g->DeltaValue(1);
Sleep(500);
g->DeltaValue(1);
Sleep(500);
stopwav();
savewav(input);
closewav();
if (open_result==1) break;
if (open_result==0)//7
{
MessageBox("Wait", "Click", MB_OK);
//Caluculate Energy
if ((inputfile=fopen(input,"rb"))== NULL)
{
MessageBox("Can't open input wave file.", "ERROR!", MB_OK);
open_result=1;
}
if (open_result==1) break;
if (open_result==0)//6
{
L=0;
fseek(inputfile,44L,SEEK_CUR);
while (!feof(inputfile))
{
d = fgetc(inputfile);
L++;
}
sample=(char*) calloc(L,sizeof(int));
sqr=(long*) calloc(L,sizeof(long));
if ((sample==NULL)|| (sqr==NULL))
{
MessageBox("Can't allocate memory for sqr or sample.",
"ERROR!", MB_OK);
open_result=1;
fclose(inputfile);
}
if (open_result==0)//5
{
rewind(inputfile);
fseek(inputfile,44L,SEEK_CUR);
fread(sample,L,sizeof(char),inputfile);
for (i=0;i<L;i++)
sample[i]=sample[i]-128;
for (i=0;i<L;i++)
sqr[i]=sample[i]*sample[i];
free(sample);
frame=div(L,sampleshift);
sum_sqr=(float*) calloc(frame, sizeof(float));
if (sum_sqr==NULL)

```



```

        segmentBuf[((segment-1)*2)+1]=tempstop;
        tempstart=-1;
        tempstop=-1;
    }
}
sumnoise=0;
sumlength=0;
for (i=0;i<frame.quot;i++)
{
    if (sum_sqr[i]<segmentlevel)
    {
        sumnoise+=sum_sqr[i];
        sumlength++;
    }
}
if (sumlength==0)
{
    MessageBox("Wave form is too bad!", "ERROR!", MB_OK);
    fclose(inputfile);
    open_result=1;
}
if (open_result==0)//2
{
    averagenoise=sumnoise/sumlength;
    averagenoise=averagenoise*100*0.01;
    segmentBuf[-1]=-1;
    sum_sqr[frame.quot]=averagenoise-1;
    resegment=(int*)calloc(segment*2,sizeof(int));
    if (resegment==NULL)
    {
        MessageBox("Can't allocate memory.", "ERROR!", MB_OK);
        open_result=1;
        fclose(inputfile);
    }
    if (open_result==0) //1
    {
        resegment[-1]=-1;
        for (j=0;j<segment*2;j++)
        {
            if (segmentBuf[j]>resegment[j-1])
            {
                segmentnumber=div(j,2);
                if (segmentnumber.rem==0)
                    for (k=segmentBuf[j];sum_sqr[k]>averagenoise;k--)
                        resegment[j]=k;
                if (segmentnumber.rem!=0)
                    for (k=segmentBuf[j];sum_sqr[k]>averagenoise;k++)
                        resegment[j]=k;
            }
            else
                resegment[j]=segmentBuf[j];
        }
    }
}
//Create sound file from calculate boundary
for (j=0;j<segment*2;j++)
    resegment[j]*=50;
for (wordnumber=0;wordnumber<segment;wordnumber++)
{
    rewind(inputfile);
    if ((eachwordfile=fopen("temp.wav","wb"))==NULL)
    {
        MessageBox("Can't create file.", "ERROR!", MB_OK);
        open_result=1;
        fclose(inputfile);
    }
}

```

เอกสารนี้เป็นเอกสารที่สงวนไว้สำหรับการใช้งานเพื่อการศึกษาเท่านั้น ไม่อนุญาตให้นำไปใช้ประโยชน์ด้านการค้า
ไม่ว่ากรณีใดๆทั้งสิ้น อีกทั้งห้ามมิให้ตัดแปลงเนื้อหาและต้องอ้างอิงถึงเจ้าของเอกสารทุกครั้งที่มีการนำไปใช้

```

if (open_result==1) break;
if (open_result==0)
{
beginword=resegment[wordnumber*2];
endword=resegment[(wordnumber*2)+1];
for (j=0;j<44;j++)
{
e=fgetc(inputfile);
putc(e,eachwordfile);
}
for (j=0;j<L;j++)
{
e=fgetc(inputfile);
if ((j>beginword)&&(j<endword))
putc(e,eachwordfile);
}
fclose(eachwordfile);
//Bring created file to be input of the recognizer
auto_recog("temp.wav");
//Use output from the recognizer to control relay
if (open_result==1) break;
if (open_result==0)
{
if (wordnumber==0)
if (p_st[0]>p_st[1])
command[0]=0;
else
command[0]=1;
else
if (wordnumber==1)
if (p_st[2]>p_st[4])
command[1]=2;
else
command[1]=4;
else
command[wordnumber]=max_index;
}
}
fclose(inputfile);
if ((command[0]==0)&&(segment==3)&&(door==0))
MessageBox("The Door is already opened!", "OPEN THE DOOR",
MB_OK);
if ((command[0]==0)&&(segment==3)&&(door==1))
{
door=0;
outputport(13);
MessageBox("The Door is opening..", "OPEN THE DOOR", MB_OK);
}
if ((command[0]==1)&&(segment==3)&&(door==1))
MessageBox("The Door is already closed!", "CLOSE THE DOOR",
MB_OK);
if ((command[0]==1)&&(segment==3)&&(door==0))
{
door=1;
outputport(13);
MessageBox("The Door is closing..", "CLOSE THE DOOR", MB_OK);
}
if ((command[0]==0)&&(segment==2)&&(light==0))
MessageBox("The Light is already ON!", "TURN ON THE LIGHT",
MB_OK);
if ((command[0]==0)&&(segment==2)&&(light==1))
{
light=0;

```

เอกสารนี้เป็นเอกสารที่สงวนไว้สำหรับการใช้งานเพื่อการศึกษาเท่านั้น ไม่อนุญาตให้นำไปใช้ประโยชน์ด้านการค้า
ไม่ว่ากรณีใดๆ ทั้งสิ้น อีกทั้งห้ามมิให้ดัดแปลงเนื้อหาและต้องอ้างอิงถึงเจ้าของเอกสารทุกครั้งที่มีการนำไปใช้

กิตติกรรมประกาศ

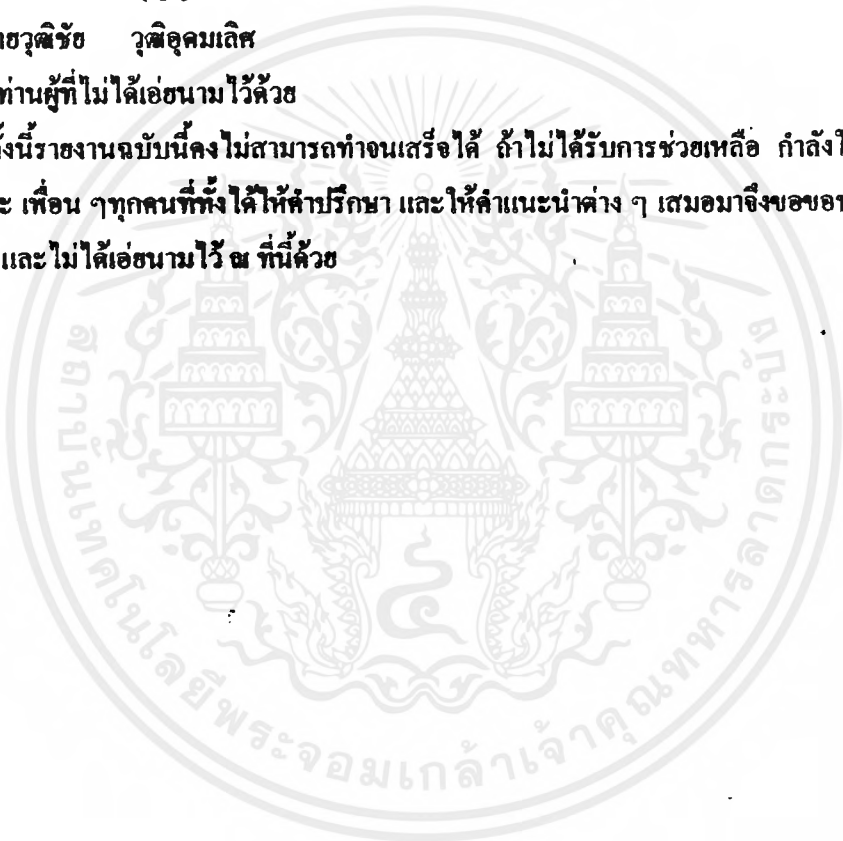
รายงานฉบับนี้ สามารถสำเร็จล่วงไปได้ด้วยดี ก็ด้วยคำแนะนำทางด้านความรู้ และชี้แนะแนวทางในการศึกษา จากอาจารย์ที่ปรึกษา จึงขอกราบขอบพระคุณอาจารย์ ดร. ไกรสิน ส่งวัฒนา ไร่ ณ ที่นี้ด้วย รวมทั้งอาจารย์ท่านอื่น ๆ ที่ไม่ได้กล่าวนามไว้ ณ ที่นี้ด้วย

นอกจากนี้ยังต้องขอขอบคุณเพื่อน ๆ ทั้งหลายที่ได้ช่วยเหลือให้เสียง เพื่อนำมาใช้ในการทำปฏิญานิพนธ์ฉบับนี้ และเพื่อนที่ได้ให้คำแนะนำช่วยเหลือทั้งทางคำฮาร์ดแวร์ และทางโปรแกรมซึ่งได้แก่

1. นายวิศิษฐ์ รัตนชัยฤทธิ์
2. นายชวีรพล บุญญะโรคล
3. นายวุฒิชัย วุฒิอุดมเลิศ

เป็นต้นรวมทั้งท่านผู้ที่ไม่ได้เอ่ยนามไว้ด้วย

และทั้งนี้รายงานฉบับนี้คงไม่สามารถทำจนเสร็จได้ ถ้าไม่ได้รับการช่วยเหลือ คำสั่งใจทั้งหลายจากพ่อ แม่ และ เพื่อน ๆ ทุกคนที่ทั้ง ได้ให้คำปรึกษา และให้คำแนะนำต่าง ๆ เสมอมาจึงขอขอบคุณทุก ๆ ท่านที่กล่าวถึง และ ไม่ได้เอ่ยนามไว้ ณ ที่นี้ด้วย



บรรณานุกรม

- [1] ทวี ประทุมทาน. “การตรวจรู้เสียงพูดภาษาไทยโดยใช้หน่วยพยางค์.” วิทยานิพนธ์ปริญญาวิทยาศาสตรบัณฑิต ภาควิชาวิศวกรรมคอมพิวเตอร์ บัณฑิตวิทยาลัย จุฬาลงกรณ์มหาวิทยาลัย, 2533.
- [2] Lawrence R. Rabiner and Ronald W. Schafer. “Digital Processing of Speech Signals.” Prentice-Hall, Inc., Engle Wood Cliffs, New Jersey, 1978
- [3] Lawrence R. Rabiner and Biing-Hwang Juang. “Fundamentals of Speech Recognition.” PTR Prentice Hall Englewood Cliffs, New Jersey, 1993.
- [4] Lori F. Lamel, Lawrence R. Rabiner, Aaron E. Rosenberg and Jay G. Wilpon. “An Improved Endpoint Detector for Isolated Word Recognition”. IEEE Transactions on Acoustics, Speech and Signal Processing.
- [5] ศ.ดร. วัลลภ สุระกำพลธร. “การประมวลผลสัญญาณเชิงเลข.” บริษัท ไคนาพรีนธ์ จำกัด กรุงเทพมหานคร, 2533
- [6] Lonnie C. Ludeman. “Fundamental of Digital Signal Processing.”